

# Algumas Considerações sobre Espaços de Eilenberg-MacLane

Évelin Menegusso

**Orientadora:** Profa. Dra. Ermínia de Lourdes Campello Fanti

**Co-orientador:** Prof. Dr. João Peres Vieira

Dissertação apresentada ao Departamento de  
Matemática - IBILCE - UNESP, como parte dos  
requisitos para obtenção do título de Mestre em  
Matemática.

São José do Rio Preto - SP  
Março - 2007

Menegusso, Évelin

Algumas considerações sobre Espaços de Eilenberg - MacLane/  
Évelin Menegusso - São José do Rio Preto : [s.n.], 2007. 92 f.:il  
; 30cm.

Orientadora: Ermínia de Lourdes Campello Fanti

Co-orientador: João Peres Vieira

Dissertação (mestrado) – Universidade Estadual Paulista. Insti-  
tuto de Biociências, Letras e Ciências Exatas

1.Topologia Algébrica. 2.Grupos de Homotopia. 3.Eilenberg-  
MacLane, Espaços de. I. Fanti, Ermínia de Lourdes Campello.  
II. Vieira, João Peres. III. Universidade Estadual Paulista, Ins-  
tituto de Biociências, Letras e Ciências Exatas. IV. Título.

CDU – 515.14

# COMISSÃO JULGADORA

## Titulares

Prof<sup>a</sup>. Dra. Ermínia de Lourdes Campello Fanti - Orientadora

Prof. Dr. Tomas Edson Barros

Prof<sup>a</sup>. Dra. Maria Gorete Carreira Andrade

## Suplentes

Prof. Dr. Pedro Luiz Queiroz Pergher

Profa. Dra. Luciana de Fátima Martins Brito

*”O temor do Senhor é o princípio da ciência;  
os loucos desprezam a sabedoria e a instrução”.  
Provérbios, 1:7.*

*Dedico aos meus pais e  
meus irmãos.*

# Agradecimentos

Primeiramente agradeço a Deus, por me conceder a graça de concluir mais esta etapa, por ter me fortalecido nos momentos difíceis e pelas pessoas que colocou no meu caminho. Em especial agradeço:

Aos meus pais e meus irmãos pelo carinho, pelos conselhos, pela confiança e apoio que deles recebi durante todos os anos de minha vida.

À Prof<sup>a</sup>. Dra. Ermínia de Lourdes Campello Fanti por me iniciar nos estudos de Topologia Algébrica, pela amizade, pela orientação, paciência, disponibilidade e tempo dedicado a este projeto.

Ao Prof. Dr. João Peres Vieira pela co-orientação e auxílio nas correções necessárias para a boa apresentação deste trabalho.

À Prof<sup>a</sup>. Dra. Maria Gorete Carreira Andrade, pela amizade, colaboração e pela sua alegria sempre presente.

À Prof<sup>a</sup>. Dra. Denise de Mattos, pelas sugestões durante o Exame Geral de Qualificação.

À todos os professores que tive desde o colégio, especialmente à Prof<sup>a</sup>. Dina que foi quem me ensinou a amar a Matemática. Agradeço também aos professores do Departamento de Matemática do Ibilce, pela formação acadêmica.

Às queridas amigas Marina, Michelle, Cibele e Aline pelo carinho, apoio e agradáveis momentos que passamos juntas.

Ao meu namorado Rodrigo, pelo apoio e compreensão pelo tempo dedicado aos estudos em detrimento à sua atenção.

Não poderia deixar de agradecer à Capes, pelo apoio financeiro sem o qual não seria possível a realização desse projeto.

Que Deus os abençoe.

# Sumário

<b>Introdução</b>	<b>10</b>
<b>1 Grupos de Homotopia de Ordem Superior</b>	<b>13</b>
1.1 Definições Equivalentes de $\pi_n(X, x_0)$ . . . . .	14
1.2 Propriedades Básicas e Exemplos . . . . .	20
1.3 Grupos de Homotopia Relativa e Sequência Exata Longa . . . . .	31
<b>2 CW-Complexos</b>	<b>37</b>
2.1 CW-Complexos . . . . .	37
2.2 Grupo Fundamental e Adjunção de 2 - Células . . . . .	44
2.3 Aproximação Celular e Torre de Postnikov . . . . .	49
<b>3 Espaços de Eilenberg Mac-Lane</b>	<b>57</b>
3.1 Definição e Propriedades . . . . .	57
3.2 Existência dos $K(G, n)$ - Espaços . . . . .	58
3.3 Exemplos . . . . .	62
3.4 Considerações Finais . . . . .	64
<b>A Grupo Fundamental</b>	<b>66</b>
A.1 Caminhos Homotópicos e o Grupo Fundamental . . . . .	66
A.2 O Grupo Fundamental de $S^1$ . . . . .	76
A.3 Homomorfismo Induzido e Equivalência de Homotopia . . . . .	80
A.4 Exemplos de Grupos Fundamentais e o Teorema de Van Kampen	87
<b>Referências Bibliográficas</b>	<b>91</b>

# Resumo

O objetivo principal deste trabalho é mostrar a existência dos complexos de Eilenberg-MacLane, ou  $K(G, n)$ -espaços (como são comumente chamados), para  $G$  um grupo arbitrário se  $n = 1$ , e  $G$  abeliano, se  $n \geq 2$ . Esses espaços desempenham um papel muito importante na Topologia Algébrica, principalmente na conexão entre homotopia e (co)homologia

**Palavras chave:** Grupos de Homotopia, CW-Complexos, Aproximação Celular, Espaços de Eilenberg-MacLane.



# Abstract

The main purpose of this work is to show the existence of the Eilenberg-MacLane's complexes, or  $K(G, n)$ -spaces (as they are usually called), for an arbitrary group  $G$  if  $n = 1$ , and  $G$  abelian, if  $n \geq 2$ . Such spaces play a very important role in Algebraic Topology, mainly in the connection between homotopy and (co)homology.

**Key words:** Homotopy Groups, CW-Complexes, Cellular Approximation, Eilenberg-MacLane Spaces.

# Introdução

Dado um espaço topológico  $X$  podemos associar a ele uma família de grupos “ $\pi_j(X)$ ”,  $j \geq 1$ , denominados *grupos de homotopia*. Se  $G$  é um grupo e  $n$  é um inteiro,  $n \geq 1$ , um espaço topológico conexo  $X$  é dito um espaço *Eilenberg-MacLane do tipo*  $(G, n)$  ou um  $K(G, n)$ -*espaço*, ou ainda um espaço *Eilenberg-MacLane*  $K(G, n)$ , se  $\pi_j(X) = 0$ ,  $\forall j \neq n$  e  $\pi_n(X) \simeq G$ . Tais espaços desempenham um papel muito importante na Topologia Algébrica principalmente na conexão entre homotopia e (co)homologia. O nome é devido a Samuel Eilenberg e Saunders MacLane, mas o caso  $n = 1$  foi estudado por Hurewicz. A existência de um espaço  $K(G, n)$ ,  $n > 1$ , só faz sentido para  $G$  abeliano, uma vez que os espaços  $K(G, n)$  são definidos em função dos grupos de homotopia “ $\pi_n(X)$ ” e esses são abelianos se  $n > 1$ . Uma importante propriedade dos espaços  $K(G, n)$  é que, para um grupo  $G$  e  $Y$  um CW-complexo, existe uma bijeção entre  $[Y, K(G, n)]$  (o conjunto das classes de homotopia de aplicações de  $Y$  em  $K(G, n)$ , com pontos base) e  $H^n(Y, G)$ , o grupo de cohomologia de  $Y$  com coeficientes em  $G$ . Os  $K(G, 1)$  - espaços, em particular, são muito úteis na teoria dos grupos. Tais espaços estabelecem uma relação entre a cohomologia de grupos e a de espaços uma vez que, para cada  $k$ , o grupo de cohomologia de um grupo  $G$  com coeficientes em um  $\mathbf{Z}G$ -módulo  $M$ ,  $H^k(G, M)$ , é isomorfo a  $H^k(X, \mathbf{M})$ , onde  $X$  é um  $K(G, 1)$  e  $\mathbf{M}$  é um sistema de coeficientes locais sobre  $X$  associado ao  $\mathbf{Z}G$ -módulo  $M$ .

O objetivo principal deste trabalho é mostrar a existência dos espaços de Eilenberg-MacLane, ou  $K(G, n)$ -espaços, para  $G$  um grupo arbitrário se  $n = 1$ , e  $G$  abeliano, se  $n \geq 2$ . Para tanto faz-se necessário o estudo de vários conceitos e resultados. Dentre os conceitos destacamos, por exemplo, os de grupos de homotopia de ordem superior (caso absoluto e relativo), CW-complexos e aplicação celular, e dentre os resultados, o de Aproximação Celular para Pares e a Torre de Postnikov. Ressaltamos que o cálculo do grupo fundamental do

bouquet de círculos, e mais geralmente do  $n$ -ésimo grupo de homotopia do bouquet de  $n$ -esferas, desempenham um papel importante no desenvolvimento do trabalho.

As principais referências bibliográficas são [5] e [7].

No *Capítulo 1*, apresentamos um estudo sobre grupos de homotopia de ordem superior. Inicialmente apresentamos três definições equivalentes do  $n$ -ésimo grupo de homotopia de um espaço  $X$  baseado no ponto  $x_0$ , denotado por  $\pi_n(X, x_0)$ . Em seguida algumas proposições básicas e exemplos. Mostramos que o grupo  $\pi_n(X, x_0)$  de qualquer espaço topológico  $X$  é abeliano se  $n \geq 2$ . Uma propriedade útil dos grupos de homotopia de ordem superior é que  $\pi_n(B, b_0)$  é isomorfo ao  $\pi_n(E, e_0)$  onde  $(E, p)$  é um espaço de recobrimento de  $B$  e  $b_0 = p(e_0)$ . Apresentamos também a definição de grupos de homotopia relativa  $\pi_n(X, A, x_0)$  para um par  $(X, A)$  com ponto base  $x_0 \in A$ . Uma importante propriedade dos grupos de homotopia relativa  $\pi_n(X, A, x_0)$  é que eles se encaixam numa seqüência exata longa.

No *Capítulo 2* apresentamos a definição de CW-complexos e alguns exemplos para ilustrar tal conceito. Em seguida mostramos algumas construções utilizadas no decorrer deste trabalho. Mostramos também a relação entre o grupo fundamental de um espaço conexo por caminhos  $X$  e o grupo fundamental de  $X^*$  obtido de  $X$  por adjunção (colagem) de uma coleção de 2-células abertas. Como consequência disto obtemos um resultado muito útil para a prova da existência de  $K(G, 1)$  - espaços, o Corolário 2.2.1:

*Dado um grupo  $G$  qualquer, existe um CW-complexo 2-dimensional  $Y$ , conexo por caminhos, tal que  $\pi_1(Y)$  é isomorfo a  $G$ . Se  $G$  tem uma apresentação com um número finito de geradores e relações então podemos obter  $Y$  compacto.*

Após esse resultado apresentamos o Teorema 2.2.2, que nos garante que o grupo fundamental de um CW-complexo conexo  $X$  só depende do seu 2-esqueleto  $X^2$ , e mais alguns resultados que serão utilizados posteriormente. Por fim são apresentados nesse capítulo os resultados sobre Aproximação Celular para espaços e pares de espaços (Proposição 2.3.2) e a construção da Torre de Postnikov (Proposição 2.3.3), que são de fundamental importância para a construção dos  $K(G, n)$ -espaços.

No *Capítulo 3* nos dedicamos essencialmente à prova da existência dos  $K(G, n)$ -espaços. Inicialmente definimos o que é um  $K(G, n)$ -espaço (ou espaço de Eilenberg Mac-Lane) e apresentamos algumas propriedades. Em especial,

que para um CW-complexo  $X$ , ser  $K(G, 1)$  é equivalente a dizer que esse espaço  $X$  tem  $\pi_1(X) \simeq G$  e o espaço de recobrimento universal contráctil. A prova da existência dos  $K(G, n)$  - espaços é tratada em dois casos separados:  $n = 1$  e  $n \geq 2$ , devido ao fato que  $\pi_n(X, x_0)$  são abelianos para  $n \geq 2$ . Para o caso  $n = 1$  recorreremos ao Corolário 2.2.1 e usamos a Torre de Postnikov. Já para o caso  $n \geq 2$ , precisamos do resultado seguinte (Proposição 3.2.2), que é similar ao dado no caso  $n = 1$ , e que para ser obtido usa um resultado que relaciona, sob certas hipóteses, os grupos de homotopia de um par  $(X, A)$  e do quociente  $X/A$  (Proposição 3.2.1), além de outros, como por exemplo, o cálculo do  $n$ -ésimo grupo de homotopia do bouquet de  $n$ - esferas.

*Para todo grupo abeliano  $G$  e  $n \geq 2$ , existe um CW-complexo  $(n - 1)$ -conexo, de dimensão  $n + 1$ , tal que  $\pi_n(X) \simeq G$ .*

Com esse resultado e o da Torre de Postnikov provamos então a existência dos espaços Eilenberg Mac-Lane “ $K(G, n)$ ” para  $n \geq 2$  e  $G$  um grupo abeliano qualquer (Teorema 3.2.3). Finalizando o Capítulo apresentamos alguns exemplos, analisando os passos da construção, e fazemos algumas considerações sobre os espaços de Eilenberg-MacLane.

No *Apêndice* são apresentados alguns pré-requisitos, conceitos e resultados sobre grupo fundamental, com destaque para o grupo fundamental do círculo unitário  $S^1$  e o Teorema de Van-Kampen. Esses pré-requisitos são úteis para definirmos grupos de homotopia de ordem superior e para melhor compreensão do texto, porém são dispensáveis para quem tem familiaridade com tais tópicos.

# Capítulo 1

## Grupos de Homotopia de Ordem Superior

A definição dos grupos de homotopia de ordem superior de um espaço  $X$ , usualmente denotados por “ $\pi_n(X, x_0)$ ”  $n \geq 2$ , foi dada nos anos 1932 - 1935 por Eduard Čech (1893 - 1960) e Witold Hurewicz (1904-1956) e é de certo modo, uma extensão natural do conceito de *grupo fundamental* de  $X$  “ $\pi_1(X, x_0)$ ” (vide Apêndice). Foi Hurewicz quem deu a definição mais satisfatória para os grupos de homotopia de ordem superior e provou as propriedades fundamentais. Nós apresentaremos aqui três definições equivalentes para tais grupos (definições 1.1.1, 1.1.2 e 1.1.5).

Se  $n$  é um inteiro positivo usamos o símbolo  $I^n$  para denotar o cubo unitário  $n$ -dimensional

$$I^n = \{t = (t_1, t_2, \dots, t_n) \in \mathbb{R}^n; 0 \leq t_i \leq 1 \ \forall i\}$$

e  $\partial I^n$ , chamado o bordo de  $I^n$ , denota só seus pontos do bordo

$$\partial I^n = \{t = (t_1, t_2, \dots, t_n) \in I^n; \exists i, t_i = 0 \text{ ou } 1\}.$$

(Não devemos confundir aqui o símbolo  $\partial$  com o operador bordo normalmente usado na teoria de homologia.)

## 1.1 Definições Equivalentes de $\pi_n(X, x_0)$

**Definição 1.1.1. (A)** *Seja  $X$  um espaço e  $x_0$  um ponto de  $X$ . Para um dado inteiro positivo  $n$  considere o conjunto  $F_n(X, x_0)$  de todas as aplicações contínuas  $\alpha$  do  $n$ -cubo unitário  $I^n$  em  $X$  para os quais  $\alpha(\partial I^n) = x_0$ . Defina uma relação de equivalência  $\sim_{x_0}$  em  $F_n(X, x_0)$ , a saber,  $\alpha$  é equivalente módulo  $x_0$  a  $\beta$  em  $F_n(X, x_0)$ , escrito  $\alpha \sim_{x_0} \beta$ , se existe uma homotopia  $H : I^n \times I \rightarrow X$  tal que*

$$\begin{aligned} H(t_1, \dots, t_n, 0) &= \alpha(t_1, \dots, t_n) \\ H(t_1, \dots, t_n, 1) &= \beta(t_1, \dots, t_n), & (t_1, \dots, t_n) \in I^n, \\ &e \\ H(t_1, \dots, t_n, s) &= x_0, & (t_1, \dots, t_n) \in \partial I^n, s \in I. \end{aligned}$$

*Sob esta relação de equivalência em  $F_n(X, x_0)$ , a classe de equivalência determinada por  $\alpha$  é denotada  $[\alpha]$  e chamada a classe de homotopia de  $\alpha$  módulo  $x_0$  ou simplesmente classe de homotopia de  $\alpha$ .*

*Defina uma operação  $*$  sobre  $F_n(X, x_0)$  como segue: para cada  $\alpha$  e  $\beta$  em  $F_n(X, x_0)$ ,*

$$(\alpha * \beta)(t_1, \dots, t_n) = \begin{cases} \alpha(2t_1, t_2, \dots, t_n), & 0 \leq t_1 \leq \frac{1}{2} \\ \beta(2t_1 - 1, t_2, \dots, t_n), & \frac{1}{2} \leq t_1 \leq 1. \end{cases}$$

*Note que a operação  $*$  é completamente determinada pela primeira coordenada do ponto variável  $(t_1, \dots, t_n)$  e que a continuidade de  $\alpha * \beta$  segue do Lema da Continuidade (A.1.1). A operação  $*$  induz uma operação  $\bullet$  sobre o conjunto das classes de homotopia de  $F_n(X, x_0)$ :*

$$[\alpha] \bullet [\beta] = [\alpha * \beta].$$

*Com esta operação, o conjunto das classes de equivalência de  $F_n(X, x_0)$  é um grupo. Este grupo é chamado o  $n$ -ésimo grupo de homotopia de  $X$  com ponto base  $x_0$  e é denotado por  $\pi_n(X, x_0)$ .*

**Observação 1.1.1.** *Como no caso do grupo fundamental, pode-se verificar que:*

- (1) *A relação  $\sim_{x_0}$  é uma relação de equivalência sobre  $F_n(X, x_0)$ .*

(2) A operação  $\bullet$  está bem definida. Em outras palavras, se  $\alpha \sim_{x_0} \alpha'$  e  $\beta \sim_{x_0} \beta'$  então  $\alpha * \beta \sim_{x_0} \alpha' * \beta'$ .

(3) Com a operação  $\bullet$ ,  $\pi_n(X, x_0)$  é de fato um grupo. Sua identidade é a classe  $[c]$  determinada pela aplicação constante  $c(I^n) = x_0$ . A inversa  $[\alpha]^{-1}$  de  $[\alpha]$  é a classe  $[\alpha^{-1}]$  onde  $\alpha^{-1}$ , chamada a inversa de  $\alpha$ , é definida por

$$\alpha^{-1}(t_1, \dots, t_n) = \alpha(1 - t_1, \dots, t_n), \quad (t_1, \dots, t_n) \in I^n.$$

Para a próxima definição usamos que o espaço quociente de  $I^n$  obtido pela identificação do  $\partial I^n$  a um ponto é homeomorfo a  $n$ -esfera  $S^n$ . Vamos assumir que o ponto de identificação é o ponto  $1 = (1, 0, 0, \dots, 0)$  de  $S^n$ , que tem a primeira coordenada igual a um e as demais nulas. Então o conjunto (e conseqüentemente o grupo,)  $\pi_n(X, x_0)$  pode ser definido em termos de aplicações de  $(S^n, 1)$  em  $(X, x_0)$ , como segue:

**Definição 1.1.2.** (**B**) Para um dado inteiro positivo  $n$ , considere o conjunto  $G_n(X, x_0)$  de todas as aplicações contínuas  $\alpha$ , de  $S^n$  em  $X$ , tal que  $\alpha(1) = x_0$ . Defina uma relação de equivalência do seguinte modo: Para  $\alpha$  e  $\beta$  em  $G_n(X, x_0)$ ,  $\alpha$  é equivalente módulo  $x_0$  a  $\beta$ , escrito  $\alpha \sim_{x_0} \beta$ , se existe uma homotopia  $H : S^n \times I \rightarrow X$  tal que  $H(\cdot, 0) = \alpha$  e  $H(\cdot, 1) = \beta$ ,  $H(1, s) = x_0$  para  $s \in I$ .

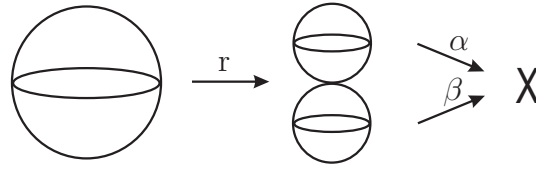
A classe de equivalência determinada por  $\alpha$ , a qual denotamos por  $[\alpha]$ , é chamada a classe de homotopia de  $\alpha$  e consideramos o conjunto das classes de homotopia  $\pi_n(X, x_0) := G_n(X, x_0) / \sim_{x_0}$ .

A operação  $\circ$  em  $\pi_n(X, x_0)$  é definida em termos da identificação de  $I^n$  com  $S^n$ . Mais precisamente, sejam  $\alpha, \beta \in G_n(X, x_0)$ . A aplicação identificação  $q$  leva os conjuntos

$$A = \{(t_1, \dots, t_n) \in I^n; t_1 \leq \frac{1}{2}\}, \quad B = \{(t_1, \dots, t_n) \in I^n; t_1 \geq \frac{1}{2}\}$$

nos hemisférios  $A'$  e  $B'$ , respectivamente, de  $S^n$  cuja intersecção  $A' \cap B' = q(A \cap B)$  é homeomorfo a  $S^{n-1}$ .

Imagine que  $A' \cap B'$  é identificado com o ponto base 1 pela aplicação identificação  $r$ . O espaço resultante consiste de duas  $n$ -esferas tangentes no seus



pontos comuns. O produto  $\alpha * \beta : S^n \longrightarrow X$  é agora definido por

$$(\alpha * \beta)(x) = \begin{cases} \alpha(r(x)), & x \in A' \\ \beta(r(x)), & x \in B'. \end{cases}$$

A operação  $\circ$  em  $\pi_n(X, x_0) := G_n(X, x_0) / \sim$  é então definida por

$$[\alpha] \circ [\beta] = [\alpha * \beta].$$

Com essa operação  $\pi_n(X, x_0)$  é um grupo, também chamado o  $n$ -ésimo grupo de homotopia de  $X$  com ponto base  $x_0$ .

**Observação 1.1.2.** As definições A(1.1.1) e B(1.1.2) são definições equivalentes dos grupos  $\pi_n(X, x_0)$ , isto é, os dois grupos obtidos são isomorfos.

De fato, seja  $q : I^n \longrightarrow S^n$  a aplicação que identifica  $\partial I^n$  ao ponto 1. Para cada  $\alpha : S^n \longrightarrow X$ , elemento de  $G_n(X, x_0)$ , associamos a aplicação  $\alpha' := \alpha \circ q$ .

$$\begin{array}{ccc} S^n & \xrightarrow{\alpha} & X \\ q \uparrow & \nearrow \alpha \circ q & \\ I^n & & \end{array}$$

Pode-se verificar que a aplicação  $\psi : G_n(X, x_0) \longrightarrow F_n(X, x_0)$ , que a cada  $\alpha \in G_n(X, x_0)$  associa  $\alpha' := \alpha \circ q \in F_n(X, x_0)$ , é bijetora e ainda considerando as classes de equivalência dos elementos de acordo com as definições A (1.1.1) e B (1.1.2) temos:  $[\alpha] = [\beta]$  (em  $G_n(X, x_0) / \sim_{x_0}$ ) se, e somente se,  $[\alpha'] = [\beta']$  (em  $F_n(X, x_0) / \sim_{x_0}$ ). Logo  $\psi$  induz uma aplicação bijetora nos espaços quocientes  $\tilde{\psi} : [\alpha] \mapsto [\alpha']$ . Além disso  $\tilde{\psi}$  é homomorfismo de grupos pois pode-se verificar que  $\tilde{\psi}([\alpha] \circ [\beta]) = \tilde{\psi}([\alpha * \beta]) = [(\alpha * \beta) \circ q] = [(\alpha \circ q) * (\beta \circ q)] = [\alpha'] \bullet [\beta'] = \tilde{\psi}([\alpha]) \bullet \tilde{\psi}([\beta])$ . Assim  $\tilde{\psi}$  é um isomorfismo.

A terceira descrição do  $n$ -ésimo grupo de homotopia requer uma topologia para o conjunto de laços de  $X$  baseados em  $x_0$ .



**Definição 1.1.3.** *Seja  $F$  uma coleção de aplicações contínuas de um espaço  $Y$  em um espaço  $Z$ . Se  $K$  é um subconjunto compacto de  $Y$  e  $U$  é um aberto de  $Z$ , seja*

$$W(K, U) = \{\alpha \in F; \alpha(K) \subset U\}.$$

*A família de todos esses conjuntos  $W(K, U)$  onde  $K$  percorre todos os compactos em  $Y$ , e  $U$  todos os subconjuntos abertos de  $Z$ , é uma sub-base para uma topologia em  $F$ . Esta topologia é chamada a topologia compacto-aberta para  $F$ .*

Como aplicaremos a topologia compacto-aberta somente sobre o conjunto de laços num espaço  $X$ , repetimos a definição para este caso:

**Definição 1.1.4.** *Seja  $X$  um espaço e  $x_0$  um ponto de  $X$ . Considere o conjunto  $\Omega(X, x_0)$  de todos os laços em  $X$  com ponto base  $x_0$ . Se  $K$  é um subconjunto compacto de  $I$  e  $U$  é aberto em  $X$ , seja*

$$W(K, U) = \{\alpha \in \Omega(X, x_0); \alpha(K) \subset U\}.$$

*A família de todos os conjuntos  $W(K, U)$ , onde  $K$  é compacto em  $I$  e  $U$  é aberto em  $X$ , é uma sub-base para uma topologia em  $\Omega(X, x_0)$ . Esta topologia é a topologia compacto-aberta para  $\Omega(X, x_0)$ .*

Note que abertos básicos na topologia compacto-aberta tem a forma

$$\bigcap_{i=1}^r W(K_i, U_i)$$

onde  $K_1, K_2, \dots, K_r$  são subconjuntos compactos de  $I$  e  $U_1, U_2, \dots, U_r$  são abertos de  $X$ . Um laço  $\alpha$  pertence a este aberto básico se, e somente se,  $\alpha(K_i) \subset U_i$ , para cada  $i = 1, 2, \dots, r$ .

**Proposição 1.1.1.** *Se  $X$  é um espaço métrico, a topologia compacto-aberta em  $\Omega(X, x_0)$  é equivalente à topologia da convergência uniforme.*

**Demonstração:** Seja  $d$  a métrica sobre  $X$ . Recordemos que a topologia da convergência uniforme em  $\Omega(X, x_0)$  é determinada pela métrica  $\rho$  definida como se segue: Se  $\alpha$  e  $\beta$  pertencem a  $\Omega(X, x_0)$  então

$$\rho(\alpha, \beta) = \sup\{d(\alpha(t), \beta(t)), t \in I\}.$$

Então a topologia da convergência uniforme tem como uma base o conjunto de todas as vizinhanças esféricas

$$S(\alpha, r) = \{\beta \in \Omega(X, x_0); d(\alpha, \beta) < r\}$$

onde  $\alpha \in \Omega(X, x_0)$  e  $r$  é um número positivo.

Denotemos por  $T$  e  $T'$ , respectivamente, a topologia compacto-aberta e a topologia da convergência uniforme para  $\Omega(X, x_0)$ . Vejamos que  $T \subset T'$ . Seja  $W(K, U)$  um aberto sub-básico em  $T$ , onde  $K$  é compacto em  $I$  e  $U$  é aberto em  $X$ . Seja  $\alpha \in W(K, U)$ . Como o conjunto compacto  $\alpha(K)$  está contido em  $U$ , existe um número positivo  $\varepsilon$  tal que qualquer ponto  $p$  de  $X$  com  $d(p, \alpha(K)) < \varepsilon$  temos que  $p \in U$ . Para obter tal  $\varepsilon$ , considere  $f : \alpha(K) \rightarrow \mathbb{R}$  tal que  $f(x) := d(x, X - U)$ . Então como  $f$  é contínua e  $\alpha(K)$  é compacto existe o mínimo de  $f$ , ou seja, existe  $t_0 \in K$  tal que  $f(\alpha(t_0)) \leq f(\alpha(t)), \forall t \in K$ . Então  $d(\alpha(t_0), X - U) \leq d(\alpha(t), X - U), \forall t \in K$ . Tome  $\varepsilon = d(\alpha(t_0), X - U)$ .

Considere o aberto básico  $S(\alpha, \varepsilon)$  em  $T'$ . Se  $\beta \in S(\alpha, \varepsilon)$ , então para cada  $t$  em  $K$ ,

$$d(\beta(t), \alpha(K)) = \inf\{d(\beta(t), u), u \in \alpha(K)\} \leq d(\beta(t), \alpha(t)) < \varepsilon.$$

Assim  $\beta(t)$  está em  $U$ . Conseqüentemente  $\beta(K) \subset U$ , então  $\beta \in W(K, U)$ . Agora temos que

$$\alpha \in S(\alpha, \varepsilon) \subset W(K, U)$$

e assim  $W(K, U)$  é aberto em  $T'$ . Então  $T \subset T'$  pois  $T'$  contém uma sub-base para  $T$ .

Vejamos agora que  $T' \subset T$ . Seja  $S(\gamma, r)$ , com centro  $\gamma$  e raio  $r > 0$  um aberto básico em  $T'$ . Para provar que  $S(\gamma, r)$  está em  $T$ , é suficiente encontrar um elemento de  $T$  que contém  $\gamma$  e está contido em  $S(\gamma, r)$ . Seja  $\{U_j\}$  uma cobertura de  $X$  por abertos com diâmetros menores que  $r$ , e seja  $\eta$  um número de Lebesgue para a cobertura  $\{\gamma^{-1}(U_j)\}$  de  $I$ . Seja  $0 = t_0 < t_1 < \dots < t_n = 1$  uma subdivisão de  $I$  por pontos sucessivos diferindo por, no máximo,  $\eta$ . Então para  $i = 1, 2, \dots, n$ ,  $\gamma$  leva cada um dos conjuntos compactos  $K_i = [t_{i-1}, t_i]$  em um dos abertos da cobertura  $\{U_j\}$ . Para cada  $i$  escolha um aberto, que denotaremos por  $U_i$ , tal que

$$\gamma(K_i) \subset U_i; \quad i = 1, 2, \dots, n.$$

Então

$$\gamma \in \bigcap_{i=1}^n W(K_i, U_i)$$

e este conjunto é aberto em  $T$ . Se  $\beta \in \bigcap_{i=1}^n W(K_i, U_i)$  então  $\rho(\gamma, \beta)$  não pode exceder o máximo dos diâmetros de  $U_1, U_2, \dots, U_n$ . Assim  $\rho(\gamma, \beta) < r$ , e portanto  $\beta \in S(\gamma, r)$ . Então  $S(\gamma, r)$  é aberto em  $T$ , e  $T$  contém  $T'$  pois contém uma base de  $T'$ . Com isso temos que  $T \subset T'$  e  $T' \subset T$ , logo  $T = T'$ .

**Definição 1.1.5.** (C) *Seja  $X$  um espaço com  $x_0 \in X$ , e considere o conjunto  $\Omega(X, x_0)$  dos laços em  $X$  baseados em  $x_0$  com a topologia compacto-aberta. Se  $n \geq 2$ , o  $n$ -ésimo grupo de homotopia de  $X$  com ponto base em  $x_0$  é o  $(n - 1)$ -ésimo grupo de homotopia de  $\Omega(X, x_0)$  em  $c$ , onde  $c$  é o caminho constante em  $x_0$ . Assim,*

$$\pi_2(X, x_0) = \pi_1(\Omega(X, x_0), c), \dots, \pi_n(X, x_0) = \pi_{n-1}(\Omega(X, x_0), c).$$

As três definições A (1.1.1), B (1.1.2) e C (1.1.5) de grupos de homotopia de ordem superior são equivalentes. Já discutimos a equivalência de A e B e agora vamos comparar A e C. Esta discussão será para o caso  $n = 2$  uma vez que a extensão para valores superiores de  $n$  requer um pouco mais do que escrever coordenadas adicionais.

Suponha então que  $\alpha$  é um elemento de  $F_2(X, x_0)$ , isto é,  $\alpha$  é uma aplicação contínua do quadrado unitário  $I^2$  em  $X$  que leva  $\partial I^2$  em  $x_0$ . Então  $\alpha$  determina um membro  $\hat{\alpha}$  de  $\Omega(\Omega(X, x_0), c)$  definido por

$$\hat{\alpha}(t_1)(t_2) = \alpha(t_1, t_2); \quad (t_1, t_2) \in I^2.$$

Cada valor  $\hat{\alpha}(t_1)$  é uma aplicação contínua de  $I$  em  $X$  porque  $\alpha$  é contínua. Note que  $\hat{\alpha}(t_1)(0) = \hat{\alpha}(t_1)(1) = x_0$  pois  $(t_1, 0)$  e  $(t_1, 1)$  estão em  $\partial I^2$ .

Assim  $\hat{\alpha}(t_1) \in \Omega(X, x_0)$  e obviamente  $\hat{\alpha}(0) = \hat{\alpha}(1)$  é o laço constante  $c$  cujo único valor é  $x_0$ . Mas  $\hat{\alpha}$  é contínua como aplicação de  $I$  em  $\Omega(X, x_0)$ . Para ver isto, seja  $W(K, U)$  um aberto sub-básico em  $\Omega(X, x_0)$ . Como usualmente,  $K$  é compacto em  $I$  e  $U$  é aberto em  $X$ . Seja  $t_1 \in \hat{\alpha}^{-1}(W(K, U))$ . Então  $\hat{\alpha}(t_1)(K) = \alpha(\{t_1\} \times K) \subset U$ . Como  $K$  é compacto, existe um aberto  $O$  em  $I$  tal que  $t_1 \in O$  e  $\alpha(O \times K) \subset U$ .

Assim

$$t_1 \in O \subset \hat{\alpha}^{-1}(W(K, U)),$$

logo  $\hat{\alpha}^{-1}(W(K, U))$  é um aberto e  $\hat{\alpha}$  é contínua. Portanto cada membro de  $F_2(X, x_0)$  determina de maneira natural um membro de  $\Omega(\Omega(X, x_0), c)$ .

Suponha que invertemos o processo e comecemos com um elemento  $\hat{\alpha}$  de  $\Omega(\Omega(X, x_0), c)$ . Então  $\hat{\alpha}$  determina uma aplicação  $\alpha : I^2 \rightarrow X$  definida por

$$\alpha(t_1, t_2) = \hat{\alpha}(t_1)(t_2); \quad (t_1, t_2) \in I^2.$$

Pode-se verificar que  $\alpha \in F_2(X, x_0)$ . Temos então estabelecido uma correspondência biunívoca entre  $F_2(X, x_0)$  e  $\Omega(\Omega(X, x_0), c)$ ,  $\alpha \mapsto \hat{\alpha}$ . Além disso, temos  $[\alpha] = [\beta]$  (em  $F_2(X, x_0) / \sim_{x_0}$ ) se, e somente se,  $[\hat{\alpha}] = [\hat{\beta}]$  (em  $\pi_1(\Omega(X, x_0), c) = \Omega(\Omega(X, x_0), c) / \sim_{x_0}$ ) pois se  $H : I^2 \times I \rightarrow X$  é uma homotopia representando a equivalência de  $\alpha$  e  $\beta$  como na Definição A (1.1.1), então

$$\hat{H} : I \times I \rightarrow \Omega(X, x_0); \quad \hat{H}(t_1, s)(t_2) := H(t_1, t_2, s); \quad t_1, t_2, s \in I,$$

é uma homotopia que dá a equivalência dos laços  $\hat{\alpha}$  e  $\hat{\beta}$ . Invertendo o argumento mostramos que  $\hat{\alpha}$  equivalente a  $\hat{\beta}$  implica  $\alpha$  equivalente a  $\beta$ . Assim existe uma correspondência biunívoca entre classes de homotopias  $[\alpha]$  da definição A(1.1.1) e as classes de homotopias  $[\hat{\alpha}]$  da definição C (1.1.5). Como a operação  $*$  na definição A(1.1.1) é completamente determinada na primeira coordenada, segue que para qualquer  $\alpha, \beta \in F_2(X, x_0)$ ,  $[\alpha * \beta]$  corresponde a  $[\hat{\alpha} * \hat{\beta}]$ , ou seja,  $[\widehat{\alpha * \beta}] := [\hat{\alpha} * \hat{\beta}]$ , e conseqüentemente que as duas definições de  $\pi_2(X, x_0)$  fornecem grupos isomorfos.

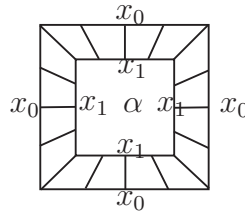
## 1.2 Propriedades Básicas e Exemplos

A primeira propriedade a ser tratada é relativa a independência do ponto base.

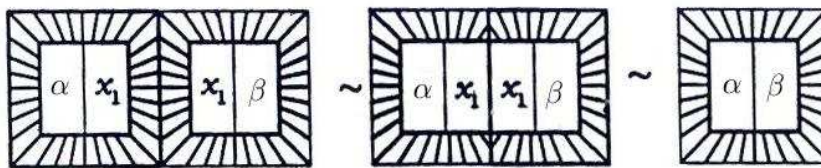
**Teorema 1.2.1.** *Se o espaço  $X$  é conexo por caminhos e  $x_0$  e  $x_1$  são pontos de  $X$ , então  $\pi_n(X, x_0)$  é isomorfo a  $\pi_n(X, x_1)$ , para cada  $n \geq 1$ .*

**Demonstração:** O caso  $n = 1$  está provado na Proposição A.1.3. Verificaremos aqui o caso  $n = 2$ . Seja  $\gamma : I \rightarrow X$  um caminho com  $\gamma(0) = x_0$  e  $\gamma(1) = x_1$ . Podemos associar a cada aplicação  $\alpha : (I^2, \partial I^2) \rightarrow (X, x_1)$ , que representa um elemento  $[\alpha] \in \pi_2(X, x_1)$ , um elemento  $\alpha' : (I^2, \partial I^2) \rightarrow (X, x_0)$

(que vamos denotar por  $\gamma \cdot \alpha$ ) por diminuir o domínio de  $\alpha$  a um quadrado menor, concêntrico em  $I^2$  e então inserir o caminho  $\gamma$  em cada segmento radial na “faixa” entre o bordo do quadrado menor e  $\partial I^2$ .



Assim  $\gamma \cdot \alpha$  produz claramente um elemento de  $\pi_2(X, x_0)$  pois  $(\gamma \cdot \alpha)(\partial I^2) = \{x_0\}$ . Agora pode-se verificar que se a aplicação  $\gamma$  é homotópica a  $\rho$  e  $\alpha$  é homotópica a  $\beta$  (por aplicações fixando  $\partial I = \{0, 1\}$  e  $\partial I^2$ , respectivamente) então  $\gamma \cdot \alpha$  é homotópica a  $\rho \cdot \beta$  e portanto  $[\gamma \cdot \alpha] = [\rho \cdot \beta]$  em  $\pi_2(X, x_0)$ . Ainda  $\gamma \cdot (\alpha * \beta) \sim \gamma \cdot \alpha * \gamma \cdot \beta$ . Para ver isso primeiro deformamos  $\alpha$  e  $\beta$  nas aplicações constantes sobre as metades direitas e esquerdas de  $I^2$ , respectivamente, produzindo aplicações que podemos denotar por  $\alpha * 0$  e  $0 * \beta$ . Daí eliminamos progressivamente o pedaço simétrico do meio de  $\gamma \cdot (\alpha * 0)$  e  $\gamma \cdot (0 * \beta)$  até obter  $\gamma \cdot (\alpha * \beta)$ :



Uma fórmula explícita para esta homotopia é

$$H((s_1, s_2), t) = \begin{cases} \gamma \cdot (\alpha * 0)((2-t)s_1, s_2), & 0 \leq s_1 \leq \frac{1}{2} \\ \gamma \cdot (0 * \beta)((2-t)s_1 + t - 1, s_2), & \frac{1}{2} \leq s_1 \leq 1. \end{cases}$$

Assim nós temos  $\gamma \cdot (\alpha * \beta) \sim \gamma \cdot (\alpha * 0) * \gamma \cdot (0 * \beta) \sim \gamma \cdot \alpha * \gamma \cdot \beta$ . Logo

temos bem definida uma aplicação

$$\begin{aligned} \varphi_\gamma : \pi_2(X, x_1) &\longrightarrow \pi_2(X, x_0) \\ \alpha &\longrightarrow [\gamma \cdot \alpha] \end{aligned}$$

que é um homomorfismo pois  $\varphi_\gamma([\alpha] \cdot [\beta]) = [\gamma \cdot (\alpha * \beta)] = [\gamma \cdot \alpha * \gamma \cdot \beta] = [\gamma \cdot \alpha] \cdot [\gamma \cdot \beta] = \varphi_\gamma([\alpha]) \cdot \varphi_\gamma([\beta])$ .

Ainda, do fato que  $(\gamma \cdot \eta) \cdot \alpha \sim \gamma \cdot (\eta \cdot \alpha)$  e  $1 \cdot \alpha \sim \alpha$ , onde 1 denota o caminho constante, segue que, considerando o caminho reverso  $\bar{\gamma}$ ,  $\gamma \cdot (\bar{\gamma} \cdot \alpha) \sim \alpha$  e  $\bar{\gamma} \cdot (\gamma \cdot \alpha) \sim \alpha$ . Logo  $\varphi_\gamma$  é um isomorfismo com inverso dado por  $\varphi_{\bar{\gamma}}$ .

Note que no caso  $n = 1$  a representação anterior se reduz a

$$\begin{array}{ccccccc} & \bullet & & \bullet & & \bullet & \\ & \xrightarrow{\gamma} & & \xrightarrow{\alpha} & & \xrightarrow{\bar{\gamma}} & \\ x_0 & & x_1 & & x_1 & & x_0 \end{array}$$

e a aplicação  $\gamma \cdot \alpha$  é o caminho produto  $\gamma * \alpha * \bar{\gamma}$  (como usado para provar a independência do ponto base no grupo fundamental). O caso  $n > 2$  é similar ao caso  $n = 2$ , trabalhando com o cubo  $n$ -dimensional  $I^n$  ao invés do quadrado  $I^2$ . ■

Como no caso do grupo fundamental, é usual omitir a referência ao ponto base, quando conveniente, sempre que  $X$  for conexo por caminhos.

**Proposição 1.2.1.** *Sejam  $X$  e  $Y$  espaços com pontos  $x_0$  em  $X$  e  $y_0$  em  $Y$ . Então*

$$\pi_n(X \times Y, (x_0, y_0)) \simeq \pi_n(X, x_0) \oplus \pi_n(Y, y_0), \quad n \geq 1.$$

**Demonstração:** Sejam  $p_1$  e  $p_2$  as projeções do espaço produto  $X \times Y$  em  $X$  e  $Y$ , respectivamente:

$$\begin{aligned} p_1 : X \times Y &\rightarrow X, & p_2 : X \times Y &\rightarrow Y \\ (x, y) &\mapsto x & (x, y) &\mapsto y \end{aligned}$$

Todo elemento  $[\alpha]$  de  $\pi_n(X \times Y, (x_0, y_0))$ , onde

$$\alpha : I^n \longrightarrow X \times Y, \quad \alpha(\partial I^n) = (x_0, y_0),$$

determina elementos  $[\alpha_1]$  e  $[\alpha_2]$  em  $\pi_n(X, x_0)$  e  $\pi_n(Y, y_0)$ , respectivamente, onde

$$\alpha_1 = p_1 \circ \alpha : I^n \rightarrow X, \quad \alpha_2 = p_2 \circ \alpha : I^n \rightarrow Y$$

pois  $\alpha_1(\partial I^n) = p_1(\alpha(\partial I^n)) = p_1(x_0, y_0) = x_0$  e  $\alpha_2(\partial I^n) = x_1$ .

Inversamente, dados  $[\alpha_1] \in \pi_n(X, x_0)$  e  $[\alpha_2] \in \pi_n(Y, y_0)$ , com

$$\alpha_1 : I^n \rightarrow X, \quad \alpha_1(\partial I^n) = x_0 \quad e \quad \alpha_2 : I^n \rightarrow Y, \quad \alpha_2(\partial I^n) = x_1.$$

Considerando  $\alpha : I^n \rightarrow X \times Y$  definida por  $\alpha := (\alpha_1, \alpha_2)$  temos que  $\alpha$  determina um elemento  $[\alpha] \in \pi_n(X \times Y, (x_0, y_0))$ . Então obtemos a aplicação  $h : \pi_n(X \times Y, (x_0, y_0)) \rightarrow \pi_n(X, x_0) \oplus \pi_n(Y, y_0)$  definida por  $h([\alpha]) = ([\alpha_1], [\alpha_2])$ ,  $[\alpha] \in \pi_n(X \times Y, (x_0, y_0))$ . Tal aplicação é um isomorfismo entre os grupos.

De fato,  $h$  é injetora, pois dados  $[\alpha]$  e  $[\beta]$  pertencentes à  $\pi_n(X \times Y, (x_0, y_0))$  tais que  $h([\alpha]) = h([\beta])$ , então  $([\alpha_1], [\alpha_2]) = ([\beta_1], [\beta_2])$ . Logo  $[\alpha_1] = [\beta_1]$  e  $[\alpha_2] = [\beta_2]$ . Assim, considerando a Definição A (1.1.1) existem homotopias  $K$  entre  $\alpha_1$  e  $\beta_1$  e  $L$  entre  $\alpha_2$  e  $\beta_2$ . Tomando  $H : I^n \times I \rightarrow X \times Y$  definida por  $H(t_1, \dots, t_n, s) = (K(t_1, \dots, t_n, s), L(t_1, \dots, t_n, s))$  obtemos uma homotopia entre  $\alpha$  e  $\beta$  e assim  $[\alpha] = [\beta]$ .

Claramente  $h$  é sobrejetora pois dado  $([\alpha_1], [\alpha_2]) \in \pi_n(X, x_0) \oplus \pi_n(Y, y_0)$  existe  $[\alpha] = [(\alpha_1, \alpha_2)] \in \pi_n(X \times Y, (x_0, y_0))$  tal que  $h([\alpha]) = ([\alpha_1], [\alpha_2])$ , além disso  $h$  é homomorfismo. ■

Mais geralmente, pode-se mostrar:

**Proposição 1.2.2.** *Para um produto  $\prod_{\alpha} X_{\alpha}$  de uma coleção qualquer de espaços conexos por caminhos  $X_{\alpha}$  existem isomorfismos  $\pi_n(\prod_{\alpha} X_{\alpha}) \simeq \prod_{\alpha} \pi_n(X_{\alpha})$  para todo  $n$ .*

**Demonstração:** ([5], Proposição 4.2, p. 343).

**Definição 1.2.1.** *(Homomorfismo Induzido) Seja  $f : (X, x_0) \rightarrow (Y, y_0)$  uma aplicação contínua sobre os pares indicados. Se  $[\alpha] \in \pi_n(X, x_0)$ ,  $n \geq 1$ , então a composição  $f \circ \alpha : I^n \rightarrow Y$  é uma aplicação contínua que leva  $\partial I^n$  em  $y_0$ , de modo que  $f \circ \alpha$  representa um elemento  $[f \circ \alpha]$  em  $\pi_n(Y, y_0)$ . Assim  $f$  induz uma aplicação*

$$f_{\#} : \pi_n(X, x_0) \rightarrow \pi_n(Y, y_0)$$

*definida por  $f_{\#}([\alpha]) = [f \circ \alpha]$ ,  $[\alpha] \in \pi_n(X, x_0)$ , que é um homomorfismo. Essa aplicação  $f_{\#}$  é chamada homomorfismo induzido por  $f$  na dimensão  $n$ .*

**Proposição 1.2.3. a)** *Se  $f : (X, x_0) \rightarrow (X, x_0)$  é a aplicação identidade, isto é,  $f = id_X$ , então  $f_{\#} = id_{\pi_n(X, x_0)}$ .*

- b) Se  $f : (X, x_0) \longrightarrow (Y, y_0)$  e  $g : (Y, y_0) \longrightarrow (Z, z_0)$  são aplicações contínuas sobre os pares indicados, então o homomorfismo induzido  $(g \circ f)_\#$  é a aplicação composta  $g_\# \circ f_\# : \pi_n(X, x_0) \longrightarrow \pi_n(Z, z_0)$  em cada dimensão  $n$ .
- c) Se  $h : (X, x_0) \longrightarrow (Y, y_0)$  é um homeomorfismo então o homomorfismo induzido por  $h$  é um isomorfismo para cada valor de  $n$ .

**Demonstração:** É similar à dada para o grupo fundamental (Proposição A.3.1). ■

Nesse trabalho os grupos de homotopia do círculo e mais geralmente das esferas, desempenham um papel importante. Assim estudamos a seguir a relação entre os grupos de homotopia de um espaço e de seu recobrimento e como consequência determinamos os grupos de homotopia do círculo. Computamos também, na sequência, os grupos de homotopia “ $\pi_i(S^n)$ ” para  $1 \leq i \leq n$ . Ressaltamos que os grupos de homotopia “ $\pi_i(S^n)$ ” para  $i > n$  não são em geral conhecidos, muitos casos já foram computados e os resultados são surpreendentes. De fato o estudo dos grupos de homotopia das esferas tem levado ao desenvolvimento de muitas ferramentas poderosas usadas em Topologia Algébrica ([5] §4.1, p. 339).

Recordemos que um *recobrimento* do espaço  $B$  é um par  $(E, p)$  tal que para cada ponto  $x$  em  $B$  existe um conjunto aberto conexo por caminhos  $U \subset B$  tal que  $x \in U$  e  $p$  aplica cada componente conexa por caminhos de  $p^{-1}(U)$  homeomorficamente sobre  $U$ . Cada conjunto aberto  $U$  é chamado uma *vizinhança admissível* ou *vizinhança elementar*. O espaço  $B$  é o *espaço base* e  $p$  é a *projeção de recobrimento*. Para maiores detalhes ver [3], capítulo 5.

**Teorema 1.2.2.** *Seja  $(E, p)$  um espaço de recobrimento de  $B$  e sejam  $e_0$  em  $E$  e  $b_0$  em  $B$  pontos tais que  $p(e_0) = b_0$ . Então o homomorfismo induzido*

$$p_\# : \pi_n(E, e_0) \longrightarrow \pi_n(B, b_0)$$

*é um monomorfismo para  $n = 1$  e um isomorfismo para  $n \geq 2$ .*

**Demonstração:** Considere o caso  $n = 1$ ,

$$p_\# : \pi_1(E, e_0) \longrightarrow \pi_1(B, b_0).$$

Como  $p_\#$  é um homomorfismo basta provar que essa aplicação é injetora. Sejam  $[\tilde{\alpha}]$  e  $[\tilde{\beta}]$  classes de caminhos em  $\pi_1(E, e_0)$ , tais que  $p_\#([\tilde{\alpha}]) = p_\#([\tilde{\beta}])$ ,



isto é,  $p \circ \tilde{\alpha} \sim p \circ \tilde{\beta}$  então  $\tilde{\alpha} \sim \tilde{\beta}$ , ou seja,  $[\tilde{\alpha}] = [\tilde{\beta}]$  (por [3], Teorema 5.5, p.89). Logo  $p_{\#}$  é injetora e portanto um monomorfismo.

Para o caso  $n \geq 2$ , temos

$$p_{\#} : \pi_n(E, e_0) \longrightarrow \pi_n(B, b_0), \quad n \geq 2.$$

Primeiro vejamos que  $p_{\#}$  é sobrejetora. Seja  $[\alpha] \in \pi_n(B, b_0)$  e considere  $\alpha$  como uma aplicação contínua de  $(S^n, \bar{1})$  em  $(B, b_0)$ , (o símbolo  $\bar{1}$  é usado aqui como o ponto base de  $S^n$  para evitar confusão com o número 1 que exercerá também um papel importante nesta prova). Como  $n \geq 2$ , o grupo fundamental  $\pi_1(S^n, \bar{1})$  é trivial pois  $S^n$  é simplesmente conexo se  $n \geq 2$  e conseqüentemente

$$\alpha_{\#}(\pi_1(S^n, \bar{1})) = 0 \subset p_{\#}(\pi_1(E, e_0)),$$

onde  $\alpha_{\#}$  é o homomorfismo induzido por  $\alpha$  no grupo fundamental. Pelo Teorema do Levantamento ([3] Teorema 5.10, p. 95)  $\alpha$  tem um levantamento

$$\tilde{\alpha} : (S^n, \bar{1}) \longrightarrow (E, e_0)$$

tal que  $p \circ \tilde{\alpha} = \alpha$ . Então  $\tilde{\alpha}$  determina um elemento  $[\tilde{\alpha}]$  em  $\pi_n(E, e_0)$  para o qual

$$p_{\#}([\tilde{\alpha}]) = [p \circ \tilde{\alpha}] = [\alpha].$$

Logo,  $p_{\#}$  é sobrejetora.

Vejamos agora que  $p_{\#}$  é injetora. Suponha que  $[\beta]$  seja um elemento do kernel de  $p_{\#}$ , isto é,

$$p_{\#}([\beta]) = [p \circ \beta] = [c]$$

onde  $c$  é a aplicação constante  $c(S^n) = b_0$ . Como ambas  $p \circ \beta$  e  $c$  vão de  $(S^n, \bar{1})$  em  $(B, b_0)$  e são equivalentes, então existe uma homotopia

$H : S^n \times I \longrightarrow B$  satisfazendo

$$H(t, 0) = (p \circ \beta)(t), \quad H(t, 1) = b_0, \quad t \in S^n, \quad H(\bar{1}, s) = b_0, \quad s \in I.$$

Agora o grupo fundamental  $\pi_1(S^n \times I, (\bar{1}, 0))$  é trivial visto que  $n \geq 2$  e assim o Teorema do Levantamento ([3], Teorema 5.3, p. 88) se aplica novamente para mostrar a existência de um levantamento

$$\tilde{H} : S^n \times I \longrightarrow E$$

tal que  $p \circ \tilde{H} = H$  e  $\tilde{H}(\bar{1}, 0) = e_0$ . A homotopia levantada  $\tilde{H}$  é uma homotopia entre  $\beta$  e a aplicação constante  $d(S^n) = e_0$ . Para isto observe primeiro que,  $p \circ \tilde{H}(\cdot, 0) = H(\cdot, 0) = p \circ \beta$ ,  $\tilde{H}(\bar{1}, 0) = \beta(\bar{1})$ .

Uma conseqüência do Teorema do Levantamento ([3], Corolário 5.2, p. 87) garante que  $\tilde{H}(\cdot, 0) = \beta$  pois  $S^n$  é conexo. O mesmo argumento mostra que  $\tilde{H}(\cdot, 1) = d$ . Resta ver que  $\tilde{H}(\bar{1}, s) = e_0$  para cada  $s$  em  $I$ . O caminho  $\tilde{H}(\bar{1}, \cdot) : I \longrightarrow E$  tem ponto inicial  $e_0$  e é um levantamento do caminho cons-

tante  $H(\bar{1}, \cdot) = c = b_0$ . Como o único levantamento de  $c$  que inicia em  $e_0$  é o caminho constante  $e_0$ , então  $\tilde{H}(\bar{1}, s) = e_0$ ,  $s \in I$ .

Assim  $\tilde{H} : S^n \times I \longrightarrow E$  é uma homotopia tal que

$$\tilde{H}(\cdot, 0) = \beta, \quad \tilde{H}(\cdot, 1) = d, \quad \tilde{H}(\bar{1}, s) = e_0, \quad s \in I,$$

e então  $[\beta] = [d]$  é o elemento neutro de  $\pi_n(E, e_0)$ . Logo o kernel de  $p_{\sharp}$  contém somente o elemento neutro de  $\pi_n(E, e_0)$  e portanto  $p_{\sharp}$  é injetora. ■

**Exemplo 1.2.1.** *Os grupos de homotopia de ordem superior do círculo unitário  $S^1$  são triviais, isto é,  $\pi_i(S^1) = 0$  se  $i \geq 2$ . De fato, considere o espaço de recobrimento universal  $(\mathbb{R}, p)$  do círculo unitário  $S^1$ . Pelo teorema anterior  $p_{\sharp} : \pi_i(\mathbb{R}) \longrightarrow \pi_i(S^1)$  é um isomorfismo para  $i \geq 2$ . Mas todos os grupos de homotopia do espaço contráctil  $\mathbb{R}$  são triviais, logo  $\pi_i(S^1) = 0$  se  $i \geq 2$ .*

Para esferas  $S^n$  com  $n > 1$ , o que podemos afirmar é:

**Exemplo 1.2.2.** *Para  $i < n$ , o  $i$ -ésimo grupo de homotopia  $\pi_i(S^n)$  é o grupo trivial. De fato isso será provado no capítulo 2 após falarmos de Aproximação Celular.*

**Exemplo 1.2.3.** *Para  $n \geq 1$ , o  $n$ -ésimo grupo de homotopia  $\pi_n(S^n)$  é isomorfo ao grupo  $\mathbf{Z}$  dos inteiros. Notemos que o caso  $n=1$  foi tratado no Apêndice (Proposição A.2.2). Considere  $\pi_n(S^n)$ ,  $n \geq 2$ , como o conjunto das classes de homotopia das aplicações  $\alpha : (S^n, 1) \longrightarrow (S^n, 1)$  como na Definição B (1.1.2). Dessa forma podemos considerar o grau da aplicação  $\alpha$  (isto é, o inteiro  $r$  tal que  $\alpha_n^*([z_n]) = r[z_n]$ , onde  $\alpha_n^* : H_n(K) \longrightarrow H_n(K)$ ,  $K$  é uma triangulação de  $S^n$  e  $[z_n]$  é um gerador (classe fundamental) de  $H_n(K) \simeq \mathbf{Z}$  ([3], §3.3)). Defina*

$$\rho : \pi_n(S^n) \longrightarrow \mathbf{Z}; \quad \rho([\alpha]) := \text{grau de } \alpha, \quad [\alpha] \in \pi_n(S^n).$$

Observe que esta aplicação está bem definida, isto é, se  $\alpha \sim \beta$ , com  $\alpha, \beta : S^n \longrightarrow S^n$ , então grau de  $\alpha =$  grau de  $\beta$  ([3], Teorema 3.9, p.52). Agora pode-se mostrar que  $\rho$  é injetora, isto é, grau de  $\alpha =$  grau de  $\beta$  implica  $\alpha \sim \beta$  ([3], Teorema 3.10, p.53). A aplicação identidade  $id : (S^n, 1) \longrightarrow (S^n, 1)$  tem grau 1 e a descrição da operação  $*$  na Definição B (1.1.2) mostra que a aplicação

$$id^k = id * id * \dots * id \quad (k \text{ termos})$$

tem grau  $k$ . E pode-se verificar que  $[id]$  é um gerador de  $\pi_n(S^n)$ ,  $\rho([id]^k) = k$  e  $\rho([id]^{-k}) = \rho([id^{-k}]) = -k$ , para qualquer inteiro positivo  $k$ . Concluindo assim que  $\rho$  é um isomorfismo.

Como uma consequência do teorema anterior podemos também calcular os

grupos de homotopia  $\pi_i(\mathbb{R}P^n)$ , para  $n \geq 2$  e  $2 \leq i \leq n$ , onde  $\mathbb{R}P^n$  indica o espaço projetivo real  $n$ -dimensional:

**Exemplo 1.2.4.** *O espaço projetivo real  $n$ -dimensional  $\mathbb{R}P^n$ , definido como o espaço quociente de  $S^n$  pela relação de equivalência que identifica os pontos antipodais ( $v \sim -v$ ) tem, quando  $n \geq 2$ , o  $n$ -ésimo grupo de homotopia isomorfo ao grupo  $\mathbb{Z}$  dos inteiros e  $\pi_i(\mathbb{R}P^n) = 0$ , se  $2 \leq i < n$ . Com efeito, considere o recobrimento duplo  $(S^n, p)$  sobre o  $n$ -espaço projetivo  $\mathbb{R}P^n$ . O teorema anterior implica que  $\pi_i(\mathbb{R}P^n) \simeq \pi_i(S^n)$ ,  $2 \leq i \leq n$ . Agora dos exemplos anteriores, obtemos então  $\pi_n(\mathbb{R}P^n) \simeq \mathbb{Z}$ ,  $n \geq 2$  e  $\pi_i(\mathbb{R}P^n) = 0$ , se  $2 \leq i < n$ , como afirmado. Notemos que  $\mathbb{R}P^1$  é homeomorfo a  $S^1$  e assim  $\pi_1(\mathbb{R}P^1) \simeq \mathbb{Z}$ .*

Nosso objetivo agora é mostrar que os grupos de homotopia  $\pi_n(X)$  são abelianos para  $n \geq 2$ . Para tanto será útil o resultado seguinte.

**Teorema 1.2.3.** *Seja  $G$  um grupo topológico com elemento  $e$ . Então  $\pi_1(G, e)$  é abeliano.*

**Demonstração:** Um grupo topológico é um grupo  $G$  com uma topologia sob a qual a operação de  $G$  é uma aplicação contínua de  $G \times G$  em  $G$  e a aplicação  $g \mapsto g^{-1}$  é um homeomorfismo de  $G$  sobre  $G$ . A operação em  $G$  induz uma operação  $\bullet$  sobre  $\Omega(G, e)$ , o espaço dos laços em  $G$  baseados em  $e$ , definida por:

$$(\alpha \bullet \beta)(t) = \alpha(t) \cdot \beta(t), \quad \alpha, \beta \in \Omega(G, e), \quad t \in I$$

onde a justaposição de  $\alpha(t)$  e  $\beta(t)$  indica seu produto em  $G$ . Esta operação também induz uma operação  $\diamond$  sobre  $\pi_1(G, e)$ :

$$[\alpha] \diamond [\beta] = [\alpha \bullet \beta], \quad [\alpha], [\beta] \in \pi_1(G, e).$$

Seja  $c$  o laço constante  $e$ , e sejam  $[\alpha]$  e  $[\beta]$  membros de  $\pi_1(G, e)$ . Observe que

$$\begin{aligned} (\alpha * c) \bullet (c * \beta)(t) &= (\alpha * c)(t) \cdot (c * \beta)(t) = \\ &= \begin{cases} (\alpha * c)(t) \cdot (c * \beta)(t), & 0 \leq t \leq \frac{1}{2} \\ (\alpha * c)(t) \cdot (c * \beta)(t), & \frac{1}{2} \leq t \leq 1 \end{cases} \\ &= \begin{cases} \alpha(2t) \cdot c(2t), & 0 \leq t \leq \frac{1}{2} \\ c(2t - 1) \cdot \beta(2t - 1), & \frac{1}{2} \leq t \leq 1 \end{cases} \end{aligned}$$

$$= \begin{cases} \alpha(2t) \cdot e = \alpha(2t), & 0 \leq t \leq \frac{1}{2} \\ e \cdot \beta(2t-1) = \beta(2t-1), & \frac{1}{2} \leq t \leq 1 \end{cases}$$

$$\begin{aligned} (c * \alpha) \bullet (\beta * c)(t) &= (c * \alpha)(t) \cdot (\beta * c)(t) = \\ &= \begin{cases} c(2t) \cdot \beta(2t), & 0 \leq t \leq \frac{1}{2} \\ \alpha(2t-1) \cdot c(2t-1), & \frac{1}{2} \leq t \leq 1 \end{cases} \\ &= \begin{cases} e \cdot \beta(2t) = \beta(2t), & 0 \leq t \leq \frac{1}{2} \\ \alpha(2t-1) \cdot e = \alpha(2t-1), & \frac{1}{2} \leq t \leq 1 \end{cases} \end{aligned}$$

Isso nos dá que

$$[(\alpha * c) \bullet (c * \beta)] = [\alpha * \beta],$$

$$[(c * \alpha) \bullet (\beta * c)] = [\beta * \alpha].$$

Então

$$\begin{aligned} [\alpha] \circ [\beta] &= [\alpha * \beta] = [(\alpha * c) \bullet (c * \beta)] = [\alpha * c] \diamond [c * \beta] = \\ &= [c * \alpha] \diamond [\beta * c] = [(c * \alpha) \bullet (\beta * c)] = [\beta * \alpha] = [\beta] \circ [\alpha]. \end{aligned}$$

Logo  $\pi_1(G, e)$  é abeliano. Aqui está um fato curioso e adicional, as operações  $\circ$  e  $\diamond$  são iguais:

$$[\alpha] \circ [\beta] = [\alpha * \beta] = [(\alpha * c) \bullet (c * \beta)] = [\alpha * c] \diamond [c * \beta] = [\alpha] \diamond [\beta]. \quad \blacksquare$$

**Definição 1.2.2.** *Um H-espço ou espço de Hopf é um espço topológico  $Y$  com uma multiplicação contínua (indicada pela justaposição) e um ponto  $y_0$  em  $Y$  para o qual a aplicação definida pela multiplicação à esquerda por  $y_0$  e a aplicação definida pela multiplicação à direita por  $y_0$  são ambas homotópicas à aplicação identidade sobre  $Y$  por homotopias que deixam  $y_0$  fixado. Em outras palavras, existem homotopias  $L$  e  $R$  de  $Y \times I$  em  $Y$  tais que:*

$$\begin{aligned} L(y, 0) &= y_0 y, & L(y, 1) &= y, & L(y_0, t) &= y_0, \\ R(y, 0) &= y y_0, & R(y, 1) &= y, & R(y_0, t) &= y_0 \end{aligned}$$

para todo  $y$  em  $Y$  e  $t$  em  $I$ . O ponto  $y_0$  é chamado homotopia unitária de  $Y$ .

**Exemplo 1.2.5.** *Todo grupo topológico  $G$  é um H-espço.*

Basta tomar as homotopias de  $G \times I$  em  $G$  como  $L(g, t) = g$  e  $R(g, t) = g$ .

**Exemplo 1.2.6.** *Se  $X$  é um espaço e  $x_0$  é um ponto de  $X$ , então o espaço de laços  $\Omega(X, x_0)$  com a topologia compacto-aberta é um  $H$ -espaço.*

De fato, a multiplicação é a operação  $*$  (justaposição de caminhos), e a homotopia unitária é a aplicação constante  $c$ . As requeridas homotopias  $L$  e  $R$  são definidas para  $\alpha$  em  $\Omega(X, x_0)$  e  $s$  em  $I$  por:

$$L(\alpha, s)(t) = \begin{cases} x_0, & \text{se } 0 \leq t \leq \frac{(1-s)}{2} \\ \alpha\left(\frac{2t+s-1}{s+1}\right), & \text{se } \frac{(1-s)}{2} \leq t \leq 1, \end{cases}$$

$$R(\alpha, s)(t) = \begin{cases} \alpha\left(\frac{2t}{s+1}\right), & \text{se } 0 \leq t \leq \frac{(s+1)}{2} \\ x_0, & \text{se } \frac{(s+1)}{2} \leq t \leq 1. \end{cases}$$

**Teorema 1.2.4.** *Se  $Y$  é um  $H$ -espaço com homotopia unitária  $y_0$ , então  $\pi_1(Y, y_0)$  é abeliano.*

**Demonstração:** A operação multiplicação contínua sobre  $Y$  induz uma operação  $\bullet$  sobre  $\Omega(Y, y_0)$ , como no teorema anterior, definida por:

$$(\alpha \bullet \beta)(t) = \alpha(t) \cdot \beta(t), \quad \alpha, \beta \in \Omega(Y, y_0), \quad t \in I.$$

Esta operação também induz uma operação  $\diamond$  sobre  $\pi_1(Y, y_0)$ :

$$[\alpha] \diamond [\beta] = [\alpha \bullet \beta], \quad [\alpha], [\beta] \in \pi_1(Y, y_0).$$

Seja  $c$  o laço constante  $y_0$ , então

$$(\alpha * c) \bullet (c * \beta)(t) = \begin{cases} \alpha(2t) \cdot y_0, & \text{se } 0 \leq t \leq \frac{1}{2} \\ y_0 \cdot \beta(2t - 1), & \text{se } \frac{1}{2} \leq t \leq 1 \end{cases}$$

$$(c * \alpha) \bullet (\beta * c)(t) = \begin{cases} y_0 \cdot \beta(2t), & \text{se } 0 \leq t \leq \frac{1}{2} \\ \alpha(2t - 1) \cdot y_0, & \text{se } \frac{1}{2} \leq t \leq 1 \end{cases}$$

Como a multiplicação à esquerda por  $y_0$  e a multiplicação à direita por  $y_0$  são ambas homotópicas a aplicação identidade de  $Y$  então,

$$[(\alpha * c) \bullet (c * \beta)] = [\alpha * \beta],$$

$$[(c * \alpha) \bullet (\beta * c)] = [\beta * \alpha].$$

Assim, considerando a operação usual  $\circ$  em  $\pi_1(Y, y_0)$ , temos:

$$\begin{aligned} [\alpha] \circ [\beta] &= [\alpha * \beta] = [(\alpha * c) \bullet (c * \beta)] = [\alpha * c] \diamond [c * \beta] = \\ &= [c * \alpha] \diamond [\beta * c] = [(c * \alpha) \bullet (\beta * c)] = [\beta * \alpha] = [\beta] \circ [\alpha]. \end{aligned}$$

Logo  $\pi_1(Y, y_0)$  é abeliano. Note que, como na prova do teorema anterior conclui-se que as operações  $\circ$  e  $\diamond$  são iguais. ■

**Teorema 1.2.5.** *Os grupos de homotopia de ordem superior  $\pi_n(X, x_0)$ ,  $n \geq 2$ , de qualquer espaço  $X$ , são abelianos.*

**Demonstração:** Temos que o segundo grupo de homotopia  $\pi_2(X, x_0) = \pi_1(\Omega(X, x_0), c)$  e assim é abeliano pois  $\Omega(X, x_0)$  é um  $H$ -espaço com a constante  $c$  como homotopia unitária. Procedendo indutivamente, suponha que o  $(n-1)$ -ésimo grupo de homotopia  $\pi_{n-1}(Y, y_0)$  é abeliano para todo  $Y$ . Então,  $\pi_n(X, x_0) = \pi_{n-1}(\Omega(X, x_0), c)$  é abeliano, e a prova está completa. ■

Como no caso do grupo fundamental, se  $f : X \rightarrow Y$  é uma equivalência de homotopia com  $f(x_0) = y_0$  então pode-se provar que  $f$  induz isomorfismos entre  $\pi_n(X, x_0)$  e  $\pi_n(Y, y_0)$  para todo  $n$ . Apresentaremos aqui a prova no caso particular em que exigimos que os pares  $(X, x_0)$  e  $(Y, y_0)$  têm o mesmo tipo de homotopia. Isto torna a prova mais simples ([3], teorema 6.14).

**Definição 1.2.3.** *Sejam  $X$  e  $Y$  espaços com pontos  $x_0$  em  $X$  e  $y_0$  em  $Y$ . Dizemos que os pares  $(X, x_0)$  e  $(Y, y_0)$  são homotopicamente equivalentes ou têm o mesmo tipo de homotopia, se existem aplicações contínuas  $f : (X, x_0) \rightarrow (Y, y_0)$  e  $g : (Y, y_0) \rightarrow (X, x_0)$  para as quais as aplicações compostas  $g \circ f$  e  $f \circ g$  são homotópicas às aplicações identidades sobre  $X$  e  $Y$ , respectivamente, por homotopias que deixam os pontos bases fixados. Em outras palavras, é exigido que existam homotopias  $H : X \times I \rightarrow X$  e  $K : Y \times I \rightarrow Y$  tais que*

$$\begin{aligned} H(x, 0) &= (g \circ f)(x), & H(x, 1) &= x, & H(x_0, t) &= x_0, & x \in X, t \in I, \\ K(y, 0) &= (f \circ g)(y), & K(y, 1) &= y, & K(y_0, t) &= y_0, & y \in Y, t \in I. \end{aligned}$$

A aplicação  $f$  é chamada uma equivalência de homotopia com inversa homotópica  $g$ .

A prova do próximo resultado é similar à prova da proposição A.3.2.

**Proposição 1.2.4.** *Equivalência de homotopia entre pares é uma relação de equivalência.*

**Teorema 1.2.6.** *Se uma aplicação  $f : (X, x_0) \longrightarrow (Y, y_0)$  é uma equivalência de homotopia entre os pares indicados, então o homomorfismo induzido  $f_{\#} : \pi_n(X, x_0) \longrightarrow \pi_n(Y, y_0)$  é um isomorfismo para cada inteiro  $n$ .*

**Demonstração:** Seja  $g : (Y, y_0) \longrightarrow (X, x_0)$  uma inversa homotópica para  $f$  e  $H$  uma homotopia entre  $g \circ f$  e a aplicação identidade sobre  $X$  que deixa  $x_0$  fixo, então

$$\begin{aligned} H : X \times I &\longrightarrow X \\ H(\cdot, 0) &= g \circ f, \\ H(\cdot, 1) &= id_X, \\ H(x_0, t) &= x_0, \quad t \in I. \end{aligned}$$

Seja  $[\alpha] \in \pi_n(X, x_0)$ , e considere  $\alpha$  como uma aplicação de  $I^n$  em  $X$  tal que  $\alpha(\partial I^n) = x_0$ . Defina uma homotopia  $K : I^n \times I \longrightarrow X$  por

$$K(t, s) = H(\alpha(t), s), \quad t \in I^n, s \in I.$$

Então,

$$\begin{aligned} K(\cdot, 0) &= (g \circ f) \circ \alpha, \quad K(\cdot, 1) = \alpha, \\ K(\partial I^n \times I) &= H(\{x_0\} \times I) = x_0, \end{aligned}$$

assim

$$[(g \circ f) \circ \alpha] = [\alpha].$$

Isto significa que

$$g_{\#}(f_{\#}[\alpha]) = [\alpha],$$

e portanto  $g_{\#}$  é uma inversa à esquerda para  $f_{\#}$ . Como  $f$  é uma inversa homotópica para  $g$ , concluímos por simetria que  $g_{\#}$  é também uma inversa à direita para  $f_{\#}$  e então  $f_{\#}$  é um isomorfismo. ■

## 1.3 Grupos de Homotopia Relativa e Sequência Exata Longa

Generalizações muito úteis dos grupos de homotopias  $\pi_n(X, x_0)$  são os grupos de homotopia relativa  $\pi_n(X, A, x_0)$  para um par  $(X, A)$  com um ponto base  $x_0 \in A$ .

**Definição 1.3.1.** *Considere  $I^{n-1}$  como a face de  $I^n$  com a última coordenada  $s_n = 0$  e seja  $J^{n-1}$  o fecho de  $\partial I^n - I^{n-1}$ , a união das faces restantes de  $I^n$ . Então  $\pi_n(X, A, x_0)$  para  $n \geq 1$  é definido como sendo o conjunto das classes*

de homotopia de aplicações

$$\psi : (I^n, \partial I^n, J^{n-1}) \longrightarrow (X, A, x_0)$$

(isto é, que satisfazem  $\psi(\partial I^n) \subset A$  e  $\psi(J^{n-1}) = x_0$ ) com homotopias por intermédio de aplicações da mesma forma, ou seja  $[\psi] = [\varphi]$  se existe uma homotopia  $H : I^n \times I \longrightarrow X$  satisfazendo  $H(u, 0) = \psi(u)$ ,  $H(u, 1) = \varphi(u)$  e para cada  $t$  fixo,  $H_t(\partial I^n) \subset A$ ,  $H_t(J^{n-1}) = x_0$ , onde  $H_t(u) := H(u, t)$ .

**Observação 1.3.1.** (1) Podemos ver os grupos de homotopia absoluta como um caso especial dos grupos de homotopia relativa pois  $\pi_n(X, x_0, x_0) = \pi_n(X, x_0)$ .

(2) A definição do conjunto das classes de homotopia “ $\pi_n(X, x_0)$ ” pode ser dada de modo a incluir o caso  $n = 0$  por tomar  $I^0$  como sendo um ponto, que vamos denotar por  $p$ , e  $\partial I^0$  o conjunto vazio. Então dado  $x_0 \in X$ ,  $\pi_0(X, x_0)$  é exatamente o conjunto das componentes conexas por caminhos de  $X$  pois dado  $f : I^0 = \{p\} \longrightarrow X$  então  $f(p) = \mathbf{a} \in X$  e  $[f] = \{g : I^0 \longrightarrow X \text{ para o qual existe um caminho } \gamma \text{ ligando } \mathbf{a} \text{ ao ponto } g(p)\}$ , visto que  $H : I^0 \times I \longrightarrow X$  tal que  $H(p, t) = \gamma(t)$  é uma homotopia ( $H(p, 0) = \gamma(0) = \mathbf{a} = f(p)$ ,  $H(p, 1) = \gamma(1) = g(p)$  e a condição  $H(\partial I^0, t) = x_0$  é satisfeita uma vez que  $\partial I^0 = \emptyset$ ). Conseqüentemente, se  $X$  é conexo por caminhos então  $\pi_0(X, x_0)$  tem um único elemento. Porém não podemos dar à  $\pi_0(X, x_0)$  uma estrutura de grupo a não ser quando  $X$  é conexo por caminhos que podemos tomar  $\pi_0(X, x_0)$  como sendo o grupo trivial.

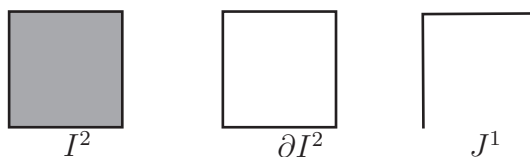
(3) A definição 1.3.1 não se estende de maneira natural de modo a incluir o caso  $n = 0$ . Assim nós deixaremos esse caso sem incluir na definição acima. Uma definição possível é considerar  $\pi_0(X, A, x_0) = \pi_0(X, x_0)/\pi_0(A, x_0)$  (vide [5], Cap.4, exercício 9).

**Operações:** Uma operação soma é definida em  $\pi_n(X, A, x_0)$  da mesma forma como em  $\pi_n(X, x_0)$ , exceto que agora a coordenada  $s_n$  desempenha um papel especial em função da escolha de  $J^n$  (e não tem valor para operação soma). Dados  $[\alpha]$  e  $[\beta]$  em  $\pi_n(X, A, x_0)$ ,  $[\alpha] \cdot [\beta] := [\alpha * \beta]$ , onde

$$(\alpha * \beta)(s_1, s_2, \dots, s_n) = \begin{cases} \alpha(2s_1, s_2, \dots, s_n), & 0 \leq s_1 \leq \frac{1}{2} \\ \beta(2s_1 - 1, s_2, \dots, s_n), & \frac{1}{2} \leq s_1 \leq 1. \end{cases}$$



Então  $\pi_n(X, A, x_0)$  é um grupo para  $n \geq 2$ , e este grupo é abeliano para  $n \geq 3$ . Para  $n = 1$  temos  $I^1 = [0, 1]$ ,  $I^0 = \{0\}$  e  $J^0 = \{1\}$ , então  $\pi_1(X, A, x_0)$  é o conjunto das classes de homotopias de aplicações  $\alpha : ([0, 1], \{0\}, \{1\}) \longrightarrow (X, A, x_0)$ , isto é, caminhos em  $X$  com ponto inicial em um ponto qualquer (variável) de  $A$  e ponto final um ponto base fixo  $x_0 \in A$ . Em geral este não é um grupo de maneira natural. Para  $n = 2$ ,  $I^2 = I \times I$ ,  $I^1 = I \times \{0\}$ ;  $J^1 = \{0, 1\} \times [0, 1] \cup I \times \{1\}$ , e  $\pi_2(X, A, x_0) = \{[\alpha]; \alpha : (I^2, \partial I^2, J^1) \longrightarrow (X, A, x_0)\}$ .



**Observação 1.3.2.** (1) *Exatamente como elementos de  $\pi_n(X, x_0)$  podem ser considerados como classes de homotopias de aplicações  $(S^n, s_0) \longrightarrow (X, x_0)$  (onde  $S^n = I^n/\partial I^n$  e  $s_0 = \partial I^n/\partial I^n$ ), existe uma definição alternativa de  $\pi_n(X, A, x_0)$  como o conjunto das classes de homotopias de aplicações  $(D^n, S^{n-1}, s_0) \longrightarrow (X, A, x_0)$ , pois deformando  $J^{n-1}$  (que é o fecho de  $\partial I^n - I^{n-1}$ ) num ponto que vamos denotar por  $s_0$  convertemos  $(I^n, \partial I^n, J^{n-1})$  em  $(D^n, S^{n-1}, s_0)$ . Deste ponto de vista, a operação do grupo é feita via a aplicação  $c : D^n \longrightarrow D^n \vee D^n$  deformando  $D^{n-1} \subset D^n$  em um ponto.*

(2) *Até agora usamos, em geral, as letras gregas, como  $\alpha$  e  $\beta$ , para indicar aplicações de  $S^n \longrightarrow X$  cujas classes  $[\alpha]$ ,  $[\beta]$  representam elementos dos grupos de homotopia, seguindo a notação de [3] e [7]. No entanto, para [5], os elementos dos grupos de homotopia relativa ou mesmo absoluta são indicados por  $[f]$ ,  $[g]$  e em muitas ocasiões esta será também a notação usada aqui. Também levando em conta a notação em [5], nos capítulos 2 e 3 é comum o uso das letras  $\alpha$  e  $\beta$  para indicar índices, o que não causa confusão (embora entendemos não ser uma notação muito apropriada).*

Uma reformulação útil do que significa para um elemento de  $\pi_n(X, A, x_0)$  ser trivial é dada pelo seguinte critério:

**Proposição 1.3.1.** (Critério da Compressão) *Uma aplicação  $f : (D^n, S^{n-1}, s_0) \longrightarrow (X, A, x_0)$  representa o zero em  $\pi_n(X, A, x_0)$  se, e somente se, ela é homotópica relativamente a  $S^{n-1}$  à uma aplicação com imagem contida em  $A$ .*

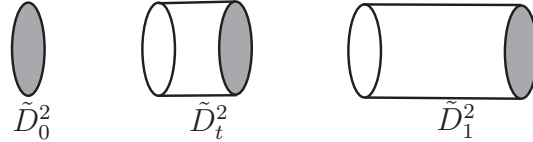
**Demonstração:** ( $\implies$ ) Suponhamos que  $[f] = 0$  em  $\pi_n(X, A, x_0)$ . Então existe uma homotopia  $F : D^n \times I \longrightarrow X$  (entre  $f$  e a aplicação constante  $x_0$ ), satisfazendo  $F(x, 0) = f(x)$ ,  $F(x, 1) = x_0$ ,  $\forall x \in D^n$ , e para cada  $t \in I$ ,  $F(u, t) \in A$ ,  $\forall u \in S^{n-1}$ , isto é,  $F(S^{n-1} \times I) \subset A$ .

Queremos definir uma homotopia  $\tilde{F} : D^n \times I \longrightarrow X$ , estacionária sobre  $S^{n-1}$ , entre  $f$  e uma aplicação  $g$ , com  $Im(g) \subset A$ . A idéia é definir a homotopia  $\tilde{F}$  através da restrição da  $F$  a uma família de  $n$ -discos em  $D^n \times I$ , iniciando em  $D^n \times \{0\}$  e terminando em  $D^n \times \{1\} \cup S^{n-1} \times I$  (todos os discos dessa família tendo o mesmo bordo).

Para tanto considere os discos  $\tilde{D}_t^n$ ,  $t \in I$ , dados por

$$\tilde{D}_t^n = S^{n-1} \times [0, t] \cup D^n \times \{t\}.$$

Ilustrando no caso  $n = 2$ .



Note que  $\partial\tilde{D}_t^n = S^{n-1} \times \{0\} \subset D^n \times I$ ,  $\forall t$ . Restringindo  $F$  a essa família de discos e considerando que, para cada  $t$ ,  $D^n \times \{t\}$  é homeomorfo a  $\tilde{D}_t^n$  via um homeomorfismo  $\varphi_t$ , com  $\varphi_0 = id$  e  $\varphi_t(u, t) = (u, 0)$ ,  $\forall u \in S^{n-1} = \partial D^n$ , definimos então uma homotopia

$$\tilde{F} : D^n \times I \longrightarrow X; \quad (x, t) \mapsto F(\varphi_t(x, t))$$

tal que

- $\tilde{F}(x, 0) = F(x, 0) = f(x)$ ,  $\forall x \in D^n$ .
- Para cada  $t$  fixo,  $t \in [0, 1]$  e  $u \in S^{n-1} = \partial D^n$ ,  $\tilde{F}(u, t) = F(\varphi_t(u, t)) = F(u, 0) = f(u) \in A$ .
- Tomando  $g(x) := \tilde{F}(x, 1)$  temos que  $Im(g) \subset A$  pois  $Im(g) = \tilde{F}(D^n \times \{1\}) = F(\varphi_1(D^n \times \{1\})) = F(\tilde{D}_1^n) = F(D^n \times \{1\} \cup S^{n-1} \times I) \subset A$ , porque  $F(D^n \times \{1\}) = x_0$  e  $F(S^{n-1} \times I) \subset A$ .

Assim  $f$  é homotópica, por uma homotopia estacionária sobre  $S^{n-1}$ , a uma aplicação  $g : (D^n, S^{n-1}, s_0) \longrightarrow (X, A, x_0)$  cuja imagem está contida em  $A$ , como desejado.

( $\Leftarrow$ ) Suponhamos  $f \sim g$  por uma homotopia estacionária sobre  $S^{n-1}$ , com  $Im(g) \subset A$ . Afirmamos que  $[g] = 0$  em  $\pi_n(X, A, x_0)$ . De fato, como  $D^n$  é contráctil a  $s_0$ , existe uma homotopia  $K : D^n \times I \rightarrow D^n$  tal que  $K(x, 0) = x = id_X(x)$  e  $K(x, 1) = s_0$ . Tomemos a composta

$$\tilde{K} = g \circ K : D^n \times I \xrightarrow{K} D^n \xrightarrow{g} X.$$

Então  $\tilde{K}$  é uma homotopia entre  $g$  e a aplicação constante  $x_0$  pois  $\tilde{K}(x, 0) = g(K(x, 0)) = g(x)$ ,  $\tilde{K}(x, 1) = g(K(x, 1)) = g(s_0) = x_0$ , e para todo  $u \in S^{n-1}$ ,  $\tilde{K}(u, t) = g(K(u, t)) \in A$ , visto que  $Im(g) \subset A$ . Assim  $[f] = [g] = 0$  em  $\pi_n(X, A, x_0)$ .  $\blacksquare$

**Homomorfismo Induzido:** Como no caso absoluto uma aplicação  $\varphi : (X, A, x_0) \rightarrow (Y, B, y_0)$  induz uma aplicação

$$\varphi_{\#} : \pi_n(X, A, x_0) \rightarrow \pi_n(Y, B, y_0)$$

que são homomorfismos para  $n \geq 2$  e têm propriedades análogas àquelas no caso absoluto:  $(\varphi \circ \psi)_{\#} = \varphi_{\#} \circ \psi_{\#}$ ,  $(id_X)_{\#} = id_{\pi_n(X, A, x_0)}$  e  $\varphi_{\#} = \psi_{\#}$  se  $\varphi \sim \psi$  através de aplicações  $(X, A, x_0) \rightarrow (Y, B, y_0)$ .

Provavelmente a característica mais útil dos grupos de homotopia relativa  $\pi_n(X, A, x_0)$  é que eles se encaixam numa sequência exata longa.

**Proposição 1.3.2.** *Seja  $(X, A, B)$  uma tripla de espaços topológicos e  $x_0 \in B \subset A \subset X$ . Então a seguinte sequência é exata:*

$$\begin{aligned} \cdots \rightarrow \pi_n(A, B, x_0) \xrightarrow{i_{\#}} \pi_n(X, B, x_0) \xrightarrow{j_{\#}} \pi_n(X, A, x_0) \xrightarrow{\partial} \pi_{n-1}(A, B, x_0) \rightarrow \cdots \\ \rightarrow \pi_1(X, A, x_0). \end{aligned}$$

Em particular, considerando  $B = x_0$ , podemos concluir que a sequência para pares  $(X, A)$  é exata:

$$\cdots \rightarrow \pi_n(A, x_0) \xrightarrow{i_{\#}} \pi_n(X, x_0) \xrightarrow{j_{\#}} \pi_n(X, A, x_0) \xrightarrow{\partial} \pi_{n-1}(A, x_0) \rightarrow \cdots \rightarrow \pi_0(X, x_0).$$

**Demonstração:** ([5], Teorema 4.3, p. 344)

**Observação 1.3.1.** (1) Nas sequências anteriores  $i_{\#}$  e  $j_{\#}$  são as aplicações induzidas das inclusões naturais (de pares). **A aplicação  $\partial$ , denominada aplicação bordo, vem das aplicações restrições  $(I^n, \partial I^n, J^{n-1}) \rightarrow$**

$(X, A, x_0)$  para  $I^{n-1}$ , ou  $(D^n, S^{n-1}, s_0) \longrightarrow (X, A, x_0)$  para  $S^{n-1}$ . Tal aplicação é um homomorfismo quando  $n > 1$ .

- (2) Próximo ao fim das seqüências, onde estruturas de grupo não estão definidas, a exatidão também é considerada no seguinte sentido: A imagem de uma aplicação é o “kernel” da próxima, onde o kernel é considerado como o conjunto dos elementos que são levados na classe de homotopia da aplicação constante.

**Definição 1.3.2.** Um espaço topológico  $X$  com ponto base  $x_0$  é chamado  $n$ -conexo se  $\pi_i(X, x_0) = 0$  para todo  $i \leq n$ . Assim espaço 0-conexo significa conexo por caminhos e 1-conexo significa espaço simplesmente conexo. Um par  $(X, A)$  é  $n$ -conexo se  $\pi_i(X, A, x_0) = 0$  para todo  $i \leq n$ .

**Observação 1.3.3.** (1) Em espaços  $n$ -conexos a escolha do ponto base  $x_0$  não é relevante pois  $n$ -conexo implica 0-conexo e assim conexo por caminhos.

- (2) Notemos que  $S^n$  é  $(n-1)$ -conexo, como vimos no exemplo 1.2.2.

- (3) Se  $\pi_0(X, A, x_0)$  não foi definido, temos que exigir (na definição de par  $n$ -conexo) que  $\pi_i(X, A, x_0) = 0$  para  $1 \leq i \leq n$  e que cada componente conexa por caminhos de  $X$  contenha pontos de  $A$ .

# Capítulo 2

## CW-Complexos

### 2.1 CW-Complexos

Intuitivamente um CW-complexo é um espaço topológico de Hausdorff que admite uma determinada “decomposição celular”, através de “células  $e^n$ ” onde  $e^n$  denota uma célula aberta de dimensão  $n$  (que é homeomorfa ao disco aberto  $n$ -dimensional). Tomamos as zero-células  $e^0$  como pontos (vértices); uma 1-célula  $e^1$  é homeomorfa ao intervalo  $] -1, 1[$ ; uma 2-célula  $e^2$  é homeomorfa ao interior do disco unitário  $D^2 = \{(x, y) \in \mathbb{R}^2; x^2 + y^2 \leq 1\}$  e assim por diante.

Mais precisamente temos ([8], p. 214):

**Definição 2.1.1.** *Um CW-complexo é um espaço  $X$  e uma coleção de células abertas  $e_\alpha^n$  cuja união é  $X$  tal que:*

- (1)  $X$  é Hausdorff.
- (2) *Para cada  $n$ -célula aberta  $e_\alpha^n$  da coleção, existe uma aplicação contínua  $\phi_\alpha : D^n \longrightarrow X$  (onde  $D^n := \{x \in \mathbb{R}^n; \|x\| \leq 1\}$ ) que aplica  $\text{int}(D^n)$  homeomorficamente sobre  $e_\alpha^n$  e leva  $\partial D^n = S^{n-1}$  numa união finita de células abertas, cada uma de dimensão menor do que  $n$ .*
- (3) *Um conjunto  $A$  é fechado em  $X$  se  $A \cap \bar{e}_\alpha$  é fechado em  $\bar{e}_\alpha$  para cada  $\alpha$ .*

A parte finita da condição (2) foi chamada fecho finito (“closure-finiteness”) por J. H. C. Whitehead. A condição (3) expressa o fato que  $X$  tem o que ele chamou de topologia fraca (“weak topology”) relativa à coleção  $\{\bar{e}_\alpha\}$ . Estes termos são a origem das letras  $C$  e  $W$  na frase “CW-complexo”.

Observamos que as condições (1) e (2) implicam que  $\phi_\alpha$  leva  $D^n$  sobre  $\bar{e}_\alpha^n$  e  $\partial(D^n)$  sobre  $\bar{e}_\alpha^n - e_\alpha^n$ . De fato, como  $\phi_\alpha$  é contínua,  $\phi_\alpha$  leva  $D^n$ , que é o fecho do  $\text{int}(D^n)$ , no fecho de  $\phi_\alpha(\text{int}(D^n))$ , que é  $\bar{e}_\alpha^n$ . Como  $\phi_\alpha(D^n)$  é compacto, ele é fechado (pois  $X$  é Hausdorff); e porque esse conjunto contém  $e_\alpha^n$ , também contém  $\bar{e}_\alpha^n$ . Assim  $\phi_\alpha(D^n) = \bar{e}_\alpha^n$ . Finalmente, como  $\phi_\alpha(\partial D^n)$  é disjunto de  $e_\alpha^n$  então é igual  $\bar{e}_\alpha^n - e_\alpha^n$ .

Notemos também que a recíproca de (3) é satisfeita trivialmente; se  $A$  é fechado em  $X$ , então  $A \cap \bar{e}_\alpha^n$  é fechado em  $\bar{e}_\alpha^n$  para cada  $\alpha$ .

**Observação 2.1.1.** (1) A aplicação  $\phi_\alpha : D^n \rightarrow X$  é chamada uma aplicação característica para cada célula  $e_\alpha^n$ . Por um abuso de notação é comum usar o símbolo  $X$  para referir ambos, o CW-complexo e o espaço adjacente.

(2) Seja  $X$  um CW-complexo, considerando  $X^n = \{e^i; 0 \leq i \leq n\}$ , podemos ver  $X = \bigcup X^n$ . O subconjunto  $X^n$  de  $X$  é chamado de  $n$ -esqueleto de  $X$ . Os pontos de  $X^0$  são chamados de vértices ou 0-células.

(3) Um CW-complexo  $X$  é dito ser finito ou infinito se o número de células em  $X$  é finito ou infinito, respectivamente. Se  $X = X^n$  para algum  $n$  o CW-complexo é dito de dimensão finita e o menor inteiro  $n$  para o qual isso ocorre é chamado a dimensão de  $X$ .

(4) Observe que uma aplicação característica  $\phi_\alpha : D^n \rightarrow X$  é uma extensão de uma aplicação  $\varphi_\alpha : S^{n-1} \rightarrow X^{n-1}$ , chamada aplicação de “colagem”. Esta  $\varphi_\alpha$  é usada para obter  $X^n$  de  $X^{n-1}$  “colando” células  $e_\alpha^n$ , isto significa que  $X^n$  é o espaço quociente da união disjunta  $X^{n-1} \coprod_\alpha D_\alpha^n$  de  $X^{n-1}$  com a coleção de  $n$ -discos  $D_\alpha^n$  sob as identificações  $x \sim \varphi_\alpha(x)$  para  $x \in \partial D_\alpha^n = S^{n-1}$ . Então como um conjunto,  $X^n = (X^{n-1} \coprod_\alpha e_\alpha^n) / \sim$  onde cada  $e_\alpha^n$  é um  $n$ -disco aberto.

**Definição 2.1.2.** Um subcomplexo de um complexo  $X$  é um subespaço fechado  $A \subset X$  que é a união de células de  $X$ . Como  $A$  é fechado a aplicação característica de cada célula em  $A$  tem imagem contida em  $A$ , e também a imagem da aplicação colagem de cada célula está contida em  $A$ , assim  $A$  é um CW-complexo. Em particular, cada esqueleto  $X^n$  de um complexo celular é um subcomplexo. Um par  $(X, A)$  consistindo de um complexo celular  $X$  e um subcomplexo  $A$  será chamado um par de CW-complexos ou um par CW.

**Exemplo 2.1.1.** Um complexo celular 1-dimensional  $X = X^1$  é chamado um grafo na topologia algébrica. Ele consiste de vértices (as 0-células) nos quais arestas (as 1-células) são coladas. Note que os extremos de uma aresta podem ser colados num mesmo vértice.

**Exemplo 2.1.2.** A esfera  $S^n$  tem uma estrutura celular (canônica) de um CW-complexo com exatamente duas células,  $e^0$  e  $e^n$ , a  $n$ -célula é colada pela aplicação constante  $S^{n-1} \rightarrow e^0$ . Isto é equivalente a enxergar  $S^n$  como o espaço quociente  $D^n / \partial D^n$ .

**Exemplo 2.1.3.** O toro  $T^2$  admite uma estrutura celular 2-dimensional, com uma 0-célula, duas 1-células e uma 2-célula:

$$T^2 = e^0 \cup e_1^1 \cup e_2^1 \cup e^2$$

**Exemplo 2.1.4.** O espaço projetivo real  $n$ -dimensional, denotado por  $\mathbb{R}P^n$  é definido como sendo o espaço de todas as retas que passam pela origem em  $\mathbb{R}^{n+1}$ . Cada tal reta é determinada por um vetor não-nulo em  $\mathbb{R}^{n+1}$ , único a menos de multiplicação por escalar, e  $\mathbb{R}P^n$  é topologizado como o espaço quociente de  $\mathbb{R}^{n+1} - \{0\}$  sob a relação de equivalência  $v \sim \lambda v$  para escalares  $\lambda \neq 0$ . Podemos restringir para vetores de tamanho 1, então  $\mathbb{R}P^n$  é também visto como o espaço quociente  $S^n / (v \sim -v)$ , a esfera com pontos antipodais identificados (como mencionado no exemplo 1.2.4). Isto é equivalente a dizer que  $\mathbb{R}P^n$  é o espaço quociente de um hemisfério  $D^n$  com pontos antipodais de  $\partial D^n$  identificados. Como  $\partial D^n$  com pontos antipodais identificados é exatamente  $\mathbb{R}P^{n-1}$ , vemos que  $\mathbb{R}P^n$  é obtido de  $\mathbb{R}P^{n-1}$  pela colagem de uma  $n$ -célula, com a projeção quociente  $S^{n-1} \rightarrow \mathbb{R}P^n$  como as aplicações de colagem. Segue por indução sobre  $n$  que  $\mathbb{R}P^n$  tem uma estrutura celular com uma célula  $e^i$  em cada dimensão  $i \leq n$ :

$$\mathbb{R}P^n = e^0 \cup e^1 \cup \dots \cup e^n$$

Notemos que  $\mathbb{R}P^k$  são subcomplexos de  $\mathbb{R}P^n$  para  $k \leq n$ .

Ainda, como  $\mathbb{R}P^n$  é obtido de  $\mathbb{R}P^{n-1}$  colando uma  $n$ -célula, a união infinita  $\mathbb{R}P^\infty = \bigcup_n \mathbb{R}P^n$  se torna um complexo celular com uma célula em cada dimensão. Podemos também ver  $\mathbb{R}P^\infty$  como o espaço de retas que passam pela origem em  $\mathbb{R}^\infty = \bigcup_n \mathbb{R}^n$ .

**Exemplo 2.1.5.** O  $n$ -espaço projetivo complexo  $\mathbb{C}P^n$  é o espaço das retas (complexas) passando pela origem em  $\mathbb{C}^{n+1}$ , isto é, subespaço de vetores 1-dimensional de  $\mathbb{C}^{n+1}$ . Como no caso de  $\mathbb{R}P^n$ , cada reta é determinada por

um vetor não-nulo em  $\mathbb{C}^{n+1}$ , único a menos de multiplicação por escalar, e  $\mathbb{C}P^n$  é topologizado como o espaço quociente de  $\mathbb{C}^{n+1} - \{0\}$  sob a relação de equivalência  $v \sim \lambda v$  para  $\lambda \neq 0$ . Equivalentemente, este é o espaço quociente obtido da esfera unitária  $S^{2n+1} \subset \mathbb{C}^{n+1}$ , com  $v \sim \lambda v$  para  $|\lambda| = 1$ . É também possível obter  $\mathbb{C}P^n$  como o espaço quociente do disco  $D^{2n}$  sob as identificações  $v \sim \lambda v$  para  $v \in \partial D^{2n}$ , da seguinte maneira. Os vetores em  $S^{2n+1} \subset \mathbb{C}^{n+1}$  com a última coordenada real e não negativa são precisamente os vetores da forma  $(w, \sqrt{1 - |w|^2}) \in \mathbb{C}^n \times \mathbb{C}$  com  $|w| \leq 1$ . Tais vetores formam o grafo de uma função  $w \mapsto \sqrt{1 - |w|^2}$ . Este é um disco  $D_+^{2n}$  limitado pela esfera  $S^{2n-1} \subset S^{2n+1}$  consistindo dos vetores  $(w, 0) \in \mathbb{C}^n \times \mathbb{C}$  com  $|w| = 1$ . Cada vetor em  $S^{2n+1}$  é equivalente sob identificações  $v \sim \lambda v$  à um vetor em  $D_+^{2n}$ , e o último vetor é único se sua última coordenada é não-nula. Se a última coordenada é zero, temos exatamente as identificações  $v \sim \lambda v$  para  $v \in S^{2n-1}$ .

Desta descrição de  $\mathbb{C}P^n$  como o espaço quociente do disco  $D_+^{2n}$  sob as identificações  $v \sim \lambda v$  para  $v \in S^{2n-1}$  segue que  $\mathbb{C}P^n$  é obtido de  $\mathbb{C}P^{n-1}$  pela cola-gem de uma célula  $e^{2n}$  via a aplicação quociente  $S^{2n-1} \rightarrow \mathbb{C}P^{n-1}$ . Então por indução sobre  $n$ , obtemos uma estrutura celular  $\mathbb{C}P^n = e^0 \cup e^2 \cup \dots \cup e^{2n}$  com células somente nas dimensões pares. Similarmente,  $\mathbb{C}P^\infty$  tem uma estrutura celular com uma célula em cada dimensão par.

**Observação 2.1.1.** Existem inclusões naturais  $S^0 \subset S^1 \subset \dots \subset S^n$ , mas estas subesferas não são subcomplexos de  $S^n$  na sua estrutura celular usual com exatamente duas células. No entanto, podemos dar à  $S^n$  uma estrutura celular diferente na qual cada uma das subesferas  $S^k$  é um subcomplexo, olhando cada  $S^k$  como sendo obtida indutivamente do equador  $S^{k-1}$  colando duas  $k$ -células, as componentes de  $S^k - S^{k-1}$ . A esfera de dimensão infinita  $S^\infty = \bigcup_n S^n$  então se torna um complexo celular também. Note que a aplicação quociente  $S^\infty \rightarrow \mathbb{R}P^\infty$  que identifica pontos antipodais de  $S^\infty$  identifica as duas  $n$ -células de  $S^\infty$  na única  $n$ -célula de  $\mathbb{R}P^\infty$ .

Complexos celulares têm uma boa mistura de rigidez e flexibilidade, com rigidez suficiente para permitir que alguns argumentos procedam numa combinação padrão célula-por-célula e flexibilidade suficiente para permitir que algumas construções naturais sejam executadas sobre eles de modo a obter novos complexos celulares. Aqui estão algumas dessas construções.

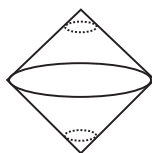


**Exemplo 2.1.6. 1.Produto.** Se  $X$  e  $Y$  são CW-complexos então  $X \times Y$  tem a estrutura de um CW-complexo tendo como células os produtos  $e_\alpha^m \times e_\beta^n$  onde  $e_\alpha^m$  percorre todas as células de  $X$  e  $e_\beta^n$  percorre todas as células de  $Y$ . Por exemplo, a estrutura celular do toro  $S^1 \times S^1$  (já descrita) é obtida deste modo considerando a estrutura celular padrão de  $S^1$ . No caso geral existe, no entanto, uma pequena complicação: A topologia sobre  $X \times Y$  como um CW-complexo é às vezes desprezadamente mais fraca do que a topologia produto, com mais conjuntos abertos do que a topologia produto tem, embora as duas topologias coincidam se  $X$  ou  $Y$  tem um número finito de células ou ambos  $X$  e  $Y$  têm uma quantidade enumerável de células.

**2.Quocientes.** Se  $(X, A)$  é um par CW consistindo de um CW-complexo  $X$  e um subcomplexo  $A$ , então o espaço quociente  $X/A$  herda uma estrutura celular natural de  $X$ . As células  $X/A$  são as células de  $X - A$  mais uma nova 0-célula, a imagem de  $A$  em  $X/A$ . Para cada célula  $e_\alpha^n$  de  $X - A$  colada por  $\varphi_\alpha : S^{n-1} \rightarrow X^{n-1}$ , a aplicação colagem para a correspondente célula em  $X/A$  é a composição  $S^{n-1} \rightarrow X^{n-1} \rightarrow X^{n-1}/A^{n-1}$ .

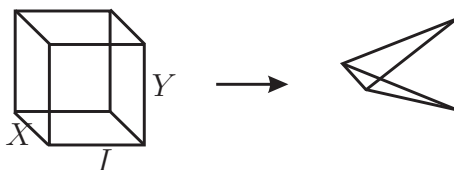
Por exemplo, se damos a  $S^{n-1}$  qualquer estrutura celular e construímos  $D^n$  de  $S^{n-1}$  colando uma  $n$ -célula, então o quociente  $D^n/S^{n-1}$  é  $S^n$  com sua estrutura celular usual. Um outro exemplo, tome  $X$  como uma superfície orientável fechada com a estrutura celular tendo uma única 2-célula, e seja  $A$  o complementar dessa 2-célula (o 1-esqueleto de  $X$ ). Então  $X/A$  tem uma estrutura celular consistindo de uma 0-célula com uma 2-célula colada, e existe somente uma maneira de colar uma 2-célula à uma 0-célula, pela aplicação constante. Assim  $X/A$  é  $S^2$ .

**3.Suspensão.** Para um espaço  $X$ , a suspensão  $SX$  é o quociente de  $X \times I$  obtido pela deformação de  $X \times \{0\}$  a um ponto e  $X \times \{1\}$  a outro ponto. O exemplo motivador é  $X = S^n$ , onde  $SX = S^{n+1}$  com os dois "pontos de suspensão" no pólo norte e sul de  $S^{n+1}$ , os pontos  $(0, 0, \dots, \pm 1)$ . Podemos considerar  $SX$  como um cone duplo sobre  $X$ , a união das duas cópias do cone  $CX = (X \times I)/(X \times \{0\})$ .



Se  $X$  é um CW-complexo, então também são  $SX$  e  $CX$  visto como quocientes de  $X \times I$  com a estrutura celular produto, sendo dado a  $I$  a estrutura celular padrão de duas 0-células unidas por uma 1-célula. Uma propriedade especialmente útil de suspensão é que não somente espaços mas também aplicações podem ser suspensas. Isto é, uma aplicação  $f : X \rightarrow Y$  suspende para  $Sf : SX \rightarrow SY$ , a aplicação quociente de  $f \times id_I : X \times I \rightarrow Y \times I$ .

**4.Join (Junção).** O cone  $CX$  é a união de todos os segmentos de retas ligando pontos de  $X$  a um vértice externo, e similarmente a suspensão  $SX$  é a união de todos os segmentos de retas ligando pontos de  $X$  a dois vértices externos. Mais geralmente, dados  $X$  e um segundo espaço  $Y$ , pode-se definir o espaço de todos segmentos de retas ligando pontos de  $X$  a pontos de  $Y$ . Isto é, o join (junção)  $X * Y$  é o espaço quociente de  $X \times Y \times I$  sob as identificações  $(x, y_1, 0) \sim (x, y_2, 0)$  e  $(x_1, y, 1) \sim (x_2, y, 1)$ . Assim estamos deformando o subespaço  $X \times Y \times \{0\}$  em  $X$  e  $X \times Y \times \{1\}$  em  $Y$ . Por exemplo, se  $X$  e  $Y$  são ambos intervalos fechados, estamos deformando as duas faces opostas de um cubo sobre segmentos de retas de modo que o cubo se torna um tetraedro.



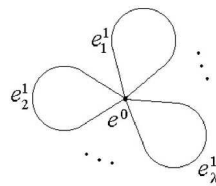
No caso geral,  $X * Y$  contém cópias de  $X$  e  $Y$  e seus dois “extremos”, e todos os outros pontos  $(x, y, t)$  em  $X * Y$  estão sobre um único segmento de reta colando o ponto  $x \in X \subset X * Y$  ao ponto  $y \in Y \subset X * Y$ , o segmento obtido por fixar  $x$  e  $y$  e considerar a coordenada  $t$  em  $(x, y, t)$  variando. Uma boa maneira para escrever as coordenadas de  $X * Y$  é como uma combinação linear formal  $t_1x + t_2y$  com  $0 \leq t_i \leq 1$  e  $t_1 + t_2 = 1$ , submetendo as regras  $0x + 1y = y$  e  $1x + 0y = x$  que correspondem exatamente às identificações na definição de  $X * Y$ . Da mesma forma um join iterado  $X_1 * \dots * X_n$  pode ser considerado como o espaço de combinações lineares formais  $t_1x_1 + \dots + t_nx_n$  com  $0 \leq t_i \leq 1$  e  $t_1 + \dots + t_n = 1$  com a convenção que os termos  $0 \cdot t_i$  podem ser omitidos. Deste ponto de vista é fácil ver que a operação join é associativa. Um caso especial que desempenha um papel central na topologia algébrica é quando cada  $X_i$  é somente um ponto. Por exemplo, o join de dois pontos é um segmento de reta, o join de três pontos é um triângulo, e o join de quatro pontos é um tetraedro. O join de  $n$  pontos é um poliedro

convexo de dimensão  $n - 1$  chamado um *simplexo*. Concretamente, se os  $n$  pontos são os  $n$  vetores básicos padrão para  $\mathbb{R}^n$ , então seus joins é o espaço  $\Delta^{n-1} = \{(t_1, \dots, t_n) \in \mathbb{R}^n; t_1 + \dots + t_n = 1, t_i \geq 0\}$ .

Se  $X$  e  $Y$  são CW-complexos, então existe uma estrutura celular natural sobre  $X * Y$  tendo os subespaços  $X$  e  $Y$  como subcomplexos, com as células restantes sendo o produto celular de  $X \times Y \times (0, 1)$ .

**5.Soma Wedge.** Esta é uma operação trivial mas ainda muito útil. Dados espaços  $X$  e  $Y$  com pontos escolhidos  $x_0 \in X$  e  $y_0 \in Y$ , então a soma wedge  $X \vee Y$  é o quociente da união disjunta  $X \amalg Y$  obtido pela identificação de  $x_0$  e  $y_0$  em um único ponto. Por exemplo,  $S^1 \vee S^1$  é homeomorfo a figura “8”, dois círculos se tocando num ponto. Mais geralmente, podemos formar a soma wedge  $\bigvee_{\alpha} X_{\alpha}$  de uma coleção arbitrária de espaços  $X_{\alpha}$  começando com a união disjunta  $\amalg_{\alpha} X_{\alpha}$  e identificando pontos  $x_{\alpha} \in X_{\alpha}$  em um único ponto. No caso dos espaços  $X_{\alpha}$  serem CW-complexos e os pontos  $x_{\alpha}$  serem 0-células, então  $\bigvee_{\alpha} X_{\alpha}$  é um CW-complexo pois ele é obtido do CW-complexo  $\amalg_{\alpha} X_{\alpha}$  deformando um subcomplexo num ponto.

Em particular temos o **bouquet de n-esferas**:  $X = \bigvee_{\lambda \in A} S_{\lambda}^n$ , que tem uma estrutura de CW-complexo  $n$ -dimensional, com uma única 0-célula,  $e^0$ , e uma  $n$ -célula,  $e_{\lambda}^n$ , para cada elemento  $\lambda$  de  $A$ . Em especial, o bouquet de círculos  $X = \bigvee_{\lambda \in A} S_{\lambda}^1$  é um CW-complexo 1-dimensional.



Notemos que para qualquer CW-complexo  $X$ , o quociente  $X^n / X^{n-1}$  é uma soma wedge de  $n$ -esferas  $\bigvee_{\alpha} X_{\alpha}$  com uma esfera para cada  $n$ -célula de  $X$ .

**6.Produto Smash.** Sobre um espaço produto  $X \times Y$  existem cópias de  $X$  e  $Y$ , a saber  $X \times \{y_0\}$  e  $\{x_0\} \times Y$  para pontos  $x_0 \in X$  e  $y_0 \in Y$ . Estas duas cópias de  $X$  e  $Y$  em  $X \times Y$  se interceptam somente no ponto  $(x_0, y_0)$ , assim a união delas pode ser identificada com a soma wedge de  $X \vee Y$ . O produto smash  $X \wedge Y$  é então definido como o quociente  $X \times Y / X \vee Y$ .

O produto smash  $X \wedge Y$  é um CW-complexo se  $X$  e  $Y$  são CW-complexos com  $x_0$  e  $y_0$  como 0-células, assumindo que atribuímos a  $X \times Y$  a topologia

de CW-complexo preferencialmente à topologia produto nos casos onde essas duas topologias diferem. Por exemplo,  $S^m \wedge S^n$  tem uma estrutura celular com somente duas células de dimensão 0 e  $m + n$ , conseqüentemente  $S^m \wedge S^n = S^{m+n}$ . Em particular, quando  $m = n = 1$  vemos que deformando círculos longitudinais e meridionais de um toro em um ponto produzimos uma 2-esfera, isto é,  $S^1 \wedge S^1 = T/(S^1 \vee S^1) = S^2$ .

É interessante observar que o espaço de recobrimento de um CW-complexo conexo é também um CW-complexo, mais precisamente:

**Proposição 2.1.1.** *Seja  $X$  um espaço topológico conexo com estrutura de CW-complexo. Considere  $\tilde{X}$  seu espaço de recobrimento e  $p : \tilde{X} \rightarrow X$  a projeção associada. Então  $\tilde{X}$  pode ser representado como um CW-complexo de tal maneira que toda célula de  $\tilde{X}$  será aplicada pela  $p$  topologicamente sobre uma célula de  $X$  ([10], §6.9, Teorema 2, p. 251).*

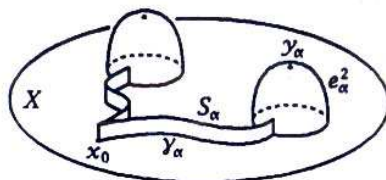
## 2.2 Grupo Fundamental e Adjunção de 2 - Células

Nesta seção estamos interessados em CW-complexos 2-dimensionais, analisando como o grupo fundamental é afetado por colar 2-células. Seja  $X^*$  um espaço de Hausdorff, obtido de um espaço conexo por caminhos  $X$  pela adjunção (ou colagem) de uma coleção de 2-células abertas. Nosso principal objetivo é determinar a relação entre o grupo fundamental de  $X$  e de  $X^*$ . Para este propósito, suponhamos que colamos uma coleção de 2-células  $e_\alpha^2$ ,  $\alpha \in \Lambda$ , a um espaço conexo por caminhos  $X$  via aplicações de colagem  $\varphi_\alpha : S^1 \rightarrow X$ , produzindo um espaço  $X^*$ . Se  $s_0$  é um ponto base de  $S^1$  (que podemos supor igual a 1), então  $\varphi_\alpha$  determina um laço baseado em  $\varphi_\alpha(s_0)$  (mesmo pensando em laços tecnicamente como aplicações  $I \rightarrow X$  mais do que  $S^1 \rightarrow X$ ). Vamos denotar tal laço por  $\varphi_\alpha$ . Para diferentes  $\alpha$ 's os pontos bases  $\varphi_\alpha(s_0)$  desses laços  $\varphi_\alpha$  podem não coincidir (podemos ter  $\varphi_{\alpha_1}(s_0) \neq \varphi_{\alpha_2}(s_0)$ , se  $\alpha_1 \neq \alpha_2$ ). Para corrigir isso, escolha um ponto base  $x_0$  em  $X$  e um caminho  $\gamma_\alpha$  em  $X$  ligando  $x_0$  a  $\varphi_\alpha(s_0)$ , para cada  $\alpha$ . Então o produto de caminhos  $\gamma_\alpha * \varphi_\alpha * \bar{\gamma}_\alpha$ , onde  $\bar{\gamma}_\alpha$  indica o caminho reverso de  $\gamma_\alpha$ , é um laço em  $x_0$ . Este laço pode não ser homotopicamente nulo em  $X$  (i.é, homotópico à um laço constante), mas certamente será homotopicamente nulo após a célula  $e_\alpha^2$  ser colada.

Assim o subgrupo normal  $N \subset \pi_1(X, x_0)$  gerado pela classe dos laços  $\gamma_\alpha * \varphi_\alpha * \bar{\gamma}_\alpha$  com  $\alpha$  variando em  $\Lambda$ , está contido no núcleo do homomorfismo  $\pi_1(X, x_0) \longrightarrow \pi_1(X^*, x_0)$  induzido da inclusão  $X \hookrightarrow X^*$ .

**Proposição 2.2.1.** *Seja  $X^*$  o espaço obtido de  $X$  por adjunção (colagem) de uma coleção de 2-células  $e_\alpha^2$ ,  $\alpha \in \Lambda$ , como acima. Então a inclusão  $X \hookrightarrow X^*$  induz um homomorfismo sobrejetor  $\pi_1(X, x_0) \longrightarrow \pi_1(X^*, x_0)$ , cujo núcleo é  $N$ . Assim  $\pi_1(X^*) \simeq \pi_1(X)/N$ .*

**Demonstração:** Vamos expandir  $X^*$  para um espaço  $Z$  um pouco mais amplo que se retrai por deformação sobre  $X^*$  e é mais conveniente para aplicar o Teorema de Van Kampen. O espaço  $Z$  é obtido por colar faixas retangulares  $S_\alpha = I \times I$  com a aresta inferior  $I \times \{0\}$  colada ao longo de  $\gamma_\alpha$ , a aresta superior  $\{1\} \times I$  colada ao longo de um arco em  $e_\alpha^2$ , e todas as arestas da esquerda  $\{0\} \times I$  das diferentes faixas são identificadas juntas. As arestas do topo das faixas não são coladas a nada (são deixadas livres), e isso permite-nos retrair  $Z$  sobre  $X^*$ . Assim  $\pi_1(Z)$  é isomorfo a  $\pi_1(X^*)$ . Em cada célula  $e_\alpha^2$  escolha um ponto  $y_\alpha$  (que não pertence ao arco dos quais a faixa  $S_\alpha$  foi colada).



Seja  $U = Z - \bigcup_{\alpha \in \Lambda} \{y_\alpha\}$ , então  $U$  retrai por deformação sobre  $X$ . Seja agora  $V = Z - X$  (“as faixas unidas com as células”). Note que podemos escolher os caminhos  $\gamma_\alpha * \varphi_\alpha * \bar{\gamma}_\alpha$ ,  $\alpha \in \Lambda$  de modo que  $V$  seja contrátil (e assim  $\pi_1(V) = 0$ ) pois se os caminhos  $\gamma_\alpha$ ’s são como na figura acima (isto é, não se interceptam) isso ocorre; agora se, por exemplo, dois caminhos  $\gamma_\alpha$  e  $\gamma_\beta$  têm um ponto  $x_1$  em comum podemos manter o caminho  $\gamma_\alpha$  e substituir  $\gamma_\beta$  pelo caminho produto  $\tilde{\gamma}_\alpha * \tilde{\gamma}_\beta$  onde  $\tilde{\gamma}_\alpha$  é a parte do caminho  $\gamma_\alpha$  que vai de  $x_0$  a  $x_1$  e  $\tilde{\gamma}_\beta$  é a parte do caminho  $\gamma_\beta$  que vai de  $x_1$  a  $\varphi_\beta(s_0)$  (repetindo esse procedimento para outros pontos em comum, se necessário). Desse modo o Teorema de Van Kampen aplicado à cobertura  $\{U, V\}$  de  $Z$  diz que a aplicação induzida da inclusão  $\pi_1(U) \longrightarrow \pi_1(Z)$  (que é isomorfo a  $\pi_1(X^*)$ ) é um epimorfismo cujo núcleo é o subgrupo normal gerado pela imagem da aplicação  $\pi_1(U \cap V) \longrightarrow \pi_1(U)$ .

Considerando que  $\pi_1(X) \simeq \pi_1(U)$ , resta somente ver que  $\pi_1(U \cap V)$  é gerado pelas classes dos laços  $\gamma_\alpha * \varphi_\alpha * \bar{\gamma}_\alpha$ , ou melhor, laços em  $U \cap V$  cuja imagem em  $\pi_1(U)$  (através da aplicação induzida da inclusão) são homotópicos a esse laços. Isto pode ser obtido como uma outra aplicação do Teorema de Van Kampen. Note que  $U \cap V$  tem o mesmo tipo de homotopia que o bouquet de círculos  $\bigvee_{\alpha \in \Lambda} S_\alpha^1$ . Considere a cobertura  $\{U_\alpha; \alpha \in \Lambda\}$  de  $U \cap V$ , onde cada  $U_\alpha = U \cap V - \bigcup_{\beta \neq \alpha} (e_\beta^2 - \{y_\beta\})$ . Observe que  $U_\alpha$  retrai por deformação sobre um círculo em  $e_\alpha^2 - \{y_\alpha\}$ . Assim,  $\pi_1(U_\alpha) \simeq \mathbb{Z}$  é gerado (desconsiderando ponto base) pela classe de um laço que dá uma volta em torno de  $y_\alpha$  e a imagem desse laço em  $\pi_1(U \cap V)$  é homotópico a um laço cuja imagem em  $\pi_1(U)$  é homotópico ao laço  $\gamma_\alpha * \varphi_\alpha * \bar{\gamma}_\alpha$  (que pertence a  $X$ ), e o resultado segue. ■

**Corolário 2.2.1.** *Dado um grupo  $G$  qualquer, existe um CW-complexo 2-dimensional  $Y$ , conexo por caminhos, tal que  $\pi_1(Y)$  é isomorfo a  $G$ . Se  $G$  tem uma apresentação com um número finito de geradores e relações então podemos obter  $Y$  compacto.*

**Demonstração:** Escolha uma apresentação de  $G$ ,  $G = \langle \mathbf{A}; \mathbf{B} \rangle$ , ou seja,  $G \simeq F/R$ , onde  $F$  é livre gerado por  $\mathbf{A}$  e  $R$  é o menor subgrupo normal de  $F$  gerado por  $\mathbf{B}$  (conjunto de relações). Tome  $X^1 = \bigvee_{\alpha \in \mathbf{A}} S_\alpha^1$ , o bouquet de círculos. Temos que  $X^1$  é conexo e  $\pi_1(X^1) \simeq F \simeq *_{\alpha \in \mathbf{A}} \mathbb{Z}_\alpha$  (Exemplo A.4.9). Para cada  $\beta \in \mathbf{B}$ , escolhemos uma aplicação  $g_\beta : S_\beta^1 \rightarrow \bigvee_{\alpha \in \mathbf{A}} S_\alpha^1 = X^1$ , tal que  $[g_\beta] = \beta \in \mathbf{B} \subset F$  e usamos esta aplicação para colar uma 2-célula  $e_\beta^2$  a  $X^1$ . Mais precisamente, cole a célula  $e_\beta^2$  de modo que a aplicação característica  $\phi_\beta : D_\beta^2 \rightarrow X$  leve  $U^2$ , o interior do disco  $D^2$ , homeomorficamente sobre  $e_\beta^2$  e a restrição  $\phi|_{\partial D_\beta^2 = S_\beta^1} = g_\beta$ . Seja então  $X^2 = X^1 \cup (\bigcup_{\beta \in \mathbf{B}} e_\beta^2)$ . Temos que  $X^* = X^2$  e  $X = X^1$  satisfazem as hipóteses da proposição anterior. Então  $\pi_1(X^2) \simeq \pi_1(X^1)/R \simeq F/R \simeq G$ , como desejado. Agora se  $G$  tem uma apresentação  $G = \langle \alpha_1, \alpha_2, \dots, \alpha_n; \beta_1, \beta_2, \dots, \beta_s \rangle$  então  $Y = (\bigvee_{j=1}^n S_{\alpha_j}^1) \cup (\bigcup_{i=1}^s e_{\beta_i}^2) = (\bigvee_{j=1}^n S_{\alpha_j}^1) \cup (\bigcup_{i=1}^s \bar{e}_{\beta_i}^2)$ , que é compacto. ■

**Observação 2.2.1.** *A prova da Proposição anterior está de acordo com [5] mas também pode ser encontrada em [7] (Teorema 2.1, p. 213). Quando*

$X^*$  é obtido de  $X$  por colar células de dimensões maiores que 2, obtemos um isomorfismo, como mostra o resultado seguinte:

**Teorema 2.2.1.** *Se  $X^*$  é obtido do espaço  $X$  pela adjunção de células de dimensão  $n$ ,  $n > 2$ , então a aplicação inclusão de  $X$  em  $X^*$  induz um isomorfismo de  $\pi_1(X)$  sobre  $\pi_1(X^*)$ .*

**Demonstração:** ([7], Teorema 3.1, p. 214). ■

Usando esses resultados podemos provar que o grupo fundamental de um CW-complexo só depende do 2-esqueleto. Para tanto apresentamos primeiramente o conceito de limite direto de um grupo ([9] §1.4, p. 22) e um lema.

**Definição 2.2.1.** (*Limite Direto de Grupos*) *Sejam  $G_\alpha$  uma família de grupos indexada por algum conjunto de índices parcialmente ordenado  $\mathbb{I}$  tendo a propriedade que para cada par  $\alpha, \beta \in \mathbb{I}$  existe  $\gamma \in \mathbb{I}$  com  $\alpha \leq \gamma$  e  $\beta \leq \gamma$ . Tal  $\mathbb{I}$  é chamado um conjunto direto. Suponha que para cada par  $\alpha \leq \beta$  tem-se um homomorfismo  $f_{\alpha\beta} : G_\alpha \longrightarrow G_\beta$ , tal que  $f_{\alpha\alpha} = id_{G_\alpha}$  para cada  $\alpha$ , e se  $\alpha \leq \beta \leq \gamma$  então  $f_{\alpha\gamma}$  é a composição de  $f_{\alpha\beta}$  com  $f_{\beta\gamma}$ . O conjunto  $\{G_\alpha, f_{\alpha\beta}, \alpha \leq \beta, \alpha \text{ e } \beta \text{ em } \mathbb{I}\}$ , de grupos e homomorfismos é chamado um sistema direto de grupos. A partir desse sistema de grupos podemos definir um grupo, denominado “limite direto” e denotado por “ $\varinjlim G_\alpha$ ” da seguinte maneira: Defina uma relação de equivalência sobre o conjunto  $\coprod_\alpha G_\alpha$  por  $a \sim b$  se  $f_{\alpha\gamma}(a) = f_{\beta\gamma}(b)$  para algum  $\gamma$ , onde  $a \in G_\alpha$  e  $b \in G_\beta$ . (Aqui estamos supondo que tal conjunto seja formado por grupos disjuntos, visto que podemos substituir  $G_\alpha$  por uma cópia isomorfa). Esta relação é claramente reflexiva e simétrica, e a transitiva segue da propriedade de conjunto direto. Tal relação pode também ser descrita como a relação de equivalência gerada pelo conjunto  $a \sim f_{\alpha\beta}(a)$ . Quaisquer duas classes de equivalência  $[a]$  e  $[b]$  tem representantes  $a'$  e  $b'$  pertencentes ao mesmo  $G_\gamma$ , assim defina  $[a].[b] = [a'.b']$ . Pode-se checar que essa operação está bem definida e dá uma estrutura de grupo ao conjunto das classes de equivalência. Tal grupo é que denotamos por  $\varinjlim G_\alpha$ .*

**Observação 2.2.2.** (1) *Se os grupos  $G_\alpha$  são todos abelianos então  $\varinjlim G_\alpha$  é isomorfo ao grupo quociente da soma direta  $\bigoplus_\alpha G_\alpha$  pelo subgrupo  $H$  gerado pelos elementos da forma  $a - f_{\alpha\beta}(a)$  para  $a \in G_\alpha$ , onde vemos cada  $G_\alpha$  como um subgrupo de  $\bigoplus_\alpha G_\alpha$ . A aplicação que associa cada*

classe de equivalência  $[a]$  à classe lateral de  $a$ ,  $aH$ , é um homomorfismo de  $\varinjlim G_\alpha$  no grupo quociente  $\coprod_\alpha G_\alpha/H$ , com inversa induzida pela aplicação  $\sum_i a_i \mapsto \sum_i [a_i]$ , para  $a_i \in G_{\alpha_i}$  ([5] Seção 3.3, p. 243).

- (2) Uma situação interessante é quando  $\mathbb{I} = \mathbb{N}$  (ou um subconjunto qualquer de  $\mathbb{Z}$ ), os grupos  $G_n$ ,  $n \in \mathbb{N}$  são encaixantes e os homomorfismos  $f_{mn} : G_m \longrightarrow G_n$ , para  $m \leq n$ , são as inclusões.

**Lema 2.2.1.** *Seja  $X$  um espaço topológico, e para cada inteiro  $n$  seja  $X_n$  um subespaço de  $X$ , conexo por caminhos, contendo o ponto base  $x_0$  de  $X$ . Assuma que os subespaços  $X_n$  são encaixantes, isto é,  $X_n \subset X_{n+1}$  para todo  $n$ , que  $X = \bigcup_{n=1}^{\infty} X_n$ , e que para todo subconjunto compacto  $A$  de  $X$  existe um inteiro  $n$  tal que  $A \subset X_n$ . Sejam  $i_n : \pi_1(X_n) \longrightarrow \pi_1(X)$  e  $j_{m,n} : \pi_1(X_m) \longrightarrow \pi_1(X_n)$ ,  $m \leq n$ , homomorfismos induzidos pela inclusão. Então:*

- Para todo  $\alpha \in \pi_1(X)$ , existe um inteiro  $n$  e um elemento  $\alpha' \in \pi_1(X_n)$  tal que  $i_n(\alpha') = \alpha$ .
- Se  $\beta \in \pi_1(X_m)$  e  $i_m(\beta) = 1$ , então existe um inteiro  $n \geq m$  tal que  $j_{m,n}(\beta) = 1$ .
- Se os homomorfismos  $j_{n,n+1}$  são monomorfismos, para todo  $n$ , então cada  $i_n$  é também um monomorfismo e  $\pi_1(X)$  é a união dos subgrupos  $i_n(\pi_1(X_n))$ .

**Demonstração:** ([7], Exercício II, 4.11, p. 67). ■

**Observação 2.2.3.** : *O resultado anterior nos diz que, nas hipóteses acima,  $\pi_1(X)$  é o limite direto da sequência de grupos  $\pi_1(X_n)$  e homomorfismos  $j_{m,n}$ .*

**Teorema 2.2.2.** *Seja  $X$  um CW-complexo conexo. A aplicação inclusão do 2-esqueleto  $X^2$  em  $X$  induz um isomorfismo de  $\pi_1(X^2)$  em  $\pi_1(X)$ .*

**Demonstração:** Considere a sequência de subespaços de  $X$ :  $X_2 = X^2$ , o 2-esqueleto de  $X$ ,  $X_3 = X^3$ , o 3- esqueleto, e assim por diante, isto é,  $X_n = X^n$ . Temos que  $X_n \subset X_{n+1}$  e  $X = \bigcup_{n=2}^{\infty} X_n$ . Do Teorema 2.2.1 obtemos que  $j_{n,n+1} : \pi_1(X^n) \longrightarrow \pi_1(X^{n+1})$  são isomorfismos para  $n \geq 2$ . Assim, são monomorfismos, e pelo lema anterior,  $i_n : \pi_1(X^n) \longrightarrow \pi_1(X)$  são também



monomorfismos e  $\pi_1(X) = \bigcup_{n=1}^{\infty} i_n(\pi_1(X^n))$ . Além disso, da sobrejetividade, segue que  $j_{n,n+1}(\pi_1(X^n)) = \pi_1(X^{n+1})$ , para  $n \geq 2$ . Como o diagrama seguinte

$$\begin{array}{ccc} \pi_1(X^n) & \xrightarrow{i_n} & \pi_1(X) \\ j_{n,n+1} \downarrow & \nearrow i_{n+1} & \\ \pi_1(X^{n+1}) & & \end{array}$$

é comutativo, temos que  $i_{n+1}(j_{n,n+1}(\pi_1(X^n))) = i_n(\pi_1(X^n))$ . Logo, da sobrejetividade e, comutatividade do diagrama, obtemos que

$$i_3(\pi_1(X^3)) = i_3(j_{2,3}(\pi_1(X^2))) = i_2(\pi_1(X^2)).$$

Também  $i_4(\pi_1(X^4)) = i_4(j_{3,4}(\pi_1(X^3))) = i_3(\pi_1(X^3)) = i_2(\pi_1(X^2))$ .

Prosseguindo assim temos:

$i_{n+1}(\pi_1(X^{n+1})) = i_{n+1}(j_{n,n+1}(\pi_1(X^n))) = i_n(\pi_1(X^n)) = i_{n-1}(\pi_1(X^{n-1})) = \dots = i_2(\pi_1(X^2))$ . Logo  $\pi_1(X) = \bigcup_{n=2}^{\infty} i_n(\pi_1(X^n)) = i_2(\pi_1(X^2))$ . Assim  $i_2$  é sobrejetora. Portanto  $i_2$  é isomorfismo de  $\pi_1(X^2)$  em  $\pi_1(X)$ . ■

## 2.3 Aproximação Celular e Torre de Postnikov

O objetivo principal dessa seção é apresentar alguns importantes resultados relativos a CW complexos, com destaque para *Aproximação Celular para Pares*, o que nos dá como consequência, sob certas hipóteses, uma condição suficiente para um par de CW-complexos  $(X, A)$  ser  $n$ -conexo. A seguir computamos o grupo de homotopia no nível  $n$ ,  $n \geq 2$ , de um bouquet de  $n$ -esferas, finalizando com o Teorema da Torre de Postnikov, que é fundamental na prova da existência de  $K(G, n)$ -espaços. Outros conceitos e resultados como Propriedade de Extensão de Homotopia e o Teorema de Whitehead são também apresentados.

**Propriedade de Extensão de Homotopia:** Um fato interessante é que todo par CW,  $(X, A)$ , tem a propriedade de extensão de homotopia. Tornaremos isso mais preciso a seguir:

**Definição 2.3.1.** Um par  $(X, A)$  tem a propriedade de extensão de homotopia

se toda aplicação  $H : X \times \{0\} \cup A \times I \longrightarrow Y$  pode ser estendida a uma aplicação  $\tilde{H} : X \times I \longrightarrow Y$ .

Notemos que dizer que  $(X, A)$  tem a propriedade de extensão de homotopia é equivalente a dizer que para qualquer aplicação  $f_0 : X \longrightarrow Y$  e homotopia  $H : A \times I \longrightarrow Y$  de  $f_0|_A$  podemos estender  $H$  a uma homotopia  $\tilde{H} : X \times I \longrightarrow Y$  de forma que  $\tilde{H}(x, 0) = f_0 : X \longrightarrow Y$ .

**Proposição 2.3.1.** (1) *Se  $(X, A)$  é um par CW, então  $X \times \{0\} \cup A \times I$  é um retrato por deformação de  $X \times I$  e conseqüentemente  $(X, A)$  tem a propriedade de extensão de homotopia.*

(2) *Se o par  $(X, A)$  satisfaz a propriedade de extensão de homotopia e  $A$  é contráctil, então a aplicação quociente  $q : X \longrightarrow X/A$  é uma equivalência de homotopia.*

**Demonstração:** ([5] Proposições 0.16 e 0.17, p.15 e 16). ■

Uma vez que CW complexos são construídos usando aplicações de colagem cujo domínio são esferas, é de se esperar que os grupos de homotopia de CW - complexos carreguem um grande número de informações. O Teorema de Whitehead torna isso explícito:

**Teorema 2.3.1. (Teorema de Whitehead)**

*Se uma aplicação  $f : X \longrightarrow Y$  entre CW-complexos conexos induz isomorfismos  $f_{\#} : \pi_n(X) \longrightarrow \pi_n(Y)$  para todo  $n$ , então  $f$  é uma equivalência de homotopia. No caso em que  $f$  é a inclusão de um subcomplexo  $X \hookrightarrow Y$ , a conclusão é mais forte:  $X$  é um retrato por deformação de  $Y$ .*

**Demonstração:** ([5], Teorema 4.5, p. 346).

Ressaltamos que para a prova do Teorema de Whitehead usa-se o seguinte resultado (técnico) conhecido como Lema da Compressão:

**Lema 2.3.1. (Lema da Compressão)** *Sejam  $(X, A)$  um par CW e  $(Y, B)$  um par qualquer com  $B \neq \emptyset$ . Para cada  $n$  tal que  $X - A$  tem células de dimensão  $n$ , assumamos que  $\pi_n(Y, B, y_0) = 0$  para todo  $y_0 \in B$ . Então toda aplicação  $f : (X, A) \longrightarrow (Y, B)$  é homotópica, relativamente a  $A$ , a uma aplicação de  $X$  em  $B$ . Quando  $n = 0$ , a condição que  $\pi_0(Y, B, y_0) = 0$  para todo  $y_0 \in B$  é para ser entendida como sendo o par  $(Y, B)$  0-conexo.*

**Demonstração:** ([5] Lema 4.6, p. 346).

**Observação 2.3.1.** (1) *O Teorema de Whitehead não diz que dois CW-complexos  $X$  e  $Y$  com grupos de homotopia isomorfos são equivalentes por homotopia, pois há uma grande diferença entre dizer que  $X$  e  $Y$  têm grupos de homotopia isomorfos e dizer que existe uma aplicação  $f : X \rightarrow Y$  que induz isomorfismos sobre todos os grupos de homotopia. Por exemplo, considerando  $X = \mathbb{R}P^2$  e  $Y = S^2 \times \mathbb{R}P^\infty$  tem-se que  $\pi_1(X) \simeq \mathbb{Z}_2 \simeq \pi_1(Y)$ , e usando o fato que o recobrimento universal de  $X$  e  $Y$  são, respectivamente,  $S^2$  e  $S^2 \times S^\infty$ , que  $S^\infty$  é contráctil e que a projeção de recobrimento induz isomorfismos nos grupos de homotopia, para  $j \geq 2$ , obtém-se que  $\pi_j(\mathbb{R}P^2) \simeq \pi_j(S^2) \simeq \pi_j(S^2 \times S^\infty) \simeq \pi_j(S^2 \times \mathbb{R}P^\infty)$ , se  $j \geq 2$ . Mas  $\mathbb{R}P^2$  e  $S^2 \times \mathbb{R}P^\infty$  não têm o mesmo tipo de homotopia visto que seus grupos de homologia são diferentes:  $S^2 \times \mathbb{R}P^\infty$  tem homologia não nula em um número infinito de dimensões pois ele retrai sobre  $\mathbb{R}P^\infty$  ([5], capítulo 4, p. 348).*

(2) *Um caso muito especial em que o tipo de homotopia de um CW-complexo é determinado por seus grupos de homotopia é quando todos os grupos de homotopia são triviais, pois então a aplicação inclusão de uma 0-célula no complexo induz um isomorfismo sobre os grupos de homotopia e assim o complexo se retrai por deformação sobre a 0-célula.*

O Lema seguinte será utilizado quando falarmos em Torre de Postnikov.

**Lema 2.3.2.** (Lema da Extensão) *Dados  $(X, A)$  um par CW e  $f : A \rightarrow Y$  uma aplicação com  $Y$  conexo por caminhos, então  $f$  pode ser estendida a uma aplicação  $\varphi : X \rightarrow Y$  se  $\pi_{n-1}(Y) = 0$  para todo  $n$  tal que  $X - A$  tem células de dimensão  $n$ .*

**Demonstração:** ([5] Lema 4.7, p. 348).

**Definição 2.3.2.** *Sejam  $X$  e  $Y$  CW-complexos. Uma aplicação  $f : X \rightarrow Y$  é chamada uma aplicação celular se satisfaz  $f(X^n) \subset Y^n$  para todo  $n$ .*

**Teorema 2.3.2.** (**Teorema da Aproximação Celular**) *Toda aplicação  $f : X \rightarrow Y$  de CW-complexos é homotópica à uma aplicação celular. Se  $f$  já é celular sobre um subcomplexo  $A \subset X$ , a homotopia pode ser tomada como sendo estacionária sobre  $A$ .*

**Demonstração:** ([5] Teorema 4.8, p. 349).

**Observação 2.3.2.** Com o resultado acima podemos justificar que  $\pi_i(S^n) = 0$  se  $i < n$ . De fato, considere  $[\alpha] \in \pi_i(S^n)$ , então  $\alpha : S^i \rightarrow S^n$ . Pelo teorema acima existe uma aplicação  $\alpha' : S^i \rightarrow S^n$  celular que é homotópica a  $\alpha$ . Como  $\alpha'$  é celular e  $i < n$  então a imagem de  $\alpha'$  contém apenas um ponto (a 0-célula  $e^0 \in S^n$ ), ou seja,  $\alpha'$  é uma aplicação constante. Logo  $[\alpha] = [\alpha'] = 0$  e portanto  $\pi_i(S^n) = 0$  se  $i < n$ .

**Proposição 2.3.2. (Aproximação Celular para Pares)** Toda aplicação  $f : (X, A) \rightarrow (Y, B)$  de pares CW pode ser deformada através de aplicações  $(X, A) \rightarrow (Y, B)$  a uma aplicação celular. Além disso, se  $f$  é celular sobre um subcomplexo  $L$  de  $X$  então a homotopia de  $f$  a uma celular pode ser tomada estacionária sobre  $L$ .

**Demonstração:** Consideremos a restrição  $f|_A : A \rightarrow B$ . Pelo teorema da aproximação celular podemos deformar  $f|_A$  a uma aplicação celular  $g_A : A \rightarrow B$  através de uma homotopia  $H_A : A \times I \rightarrow B$  tal que  $H_A(x, 0) = f|_A(x)$  e  $H_A(x, 1) = g_A(x)$ .

Agora, como um par  $(X, A)$  de CW-complexos tem a propriedade de extensão de homotopia (Proposição 2.3.1), considerando  $H : X \times \{0\} \cup A \times I \rightarrow Y$  tal que  $H(x, 0) = f(x)$ ,  $H(a, t) = H_A(a, t) \in B$  (para  $x \in X$  e  $(a, t) \in A \times I$ ), segue que  $H$  pode ser estendida a uma aplicação  $\tilde{H} : X \times I \rightarrow Y$ . Assim considerando  $g(x) := \tilde{H}(x, 1)$ , temos que  $f \sim g$ , com  $g|_A = g_A$  que é celular sobre  $A \subset X$  e  $\tilde{H}(a, t) \in B$  para todo  $(a, t) \in A \times I$ . Novamente pelo teorema da aproximação celular, existe uma homotopia  $\tilde{\tilde{H}}$  entre  $g$  e uma aplicação celular  $g_1 : X \rightarrow Y$ , com  $\tilde{\tilde{H}}$  estacionária sobre  $A$ , assim  $\tilde{\tilde{H}}(a, t) = \tilde{\tilde{H}}(a, 0) = g_1(a) \in B$ . Logo obtemos de  $f \sim g$  e  $g \sim g_1$ , que  $f \sim g_1$  com  $g_1$  celular (e essa homotopia é dada através de aplicações  $(X, A) \rightarrow (Y, B)$ ). ■

**Corolário 2.3.1.** Um par de CW-complexos  $(X, A)$  é  $n$ -conexo se todas as células de  $X-A$  tem dimensão maior que  $n$ . Em particular o par  $(X, X^n)$  é  $n$ -conexo, daí a inclusão  $X^n \hookrightarrow X$  induz isomorfismos  $\pi_i(X^n) \rightarrow \pi_i(X)$  para  $1 \leq i < n$  e uma sobrejeção de  $\pi_n(X^n) \rightarrow \pi_n(X)$ .

**Demonstração:** Um elemento de  $\pi_i(X, A, x_0)$  pode ser visto como uma classe de homotopia de uma aplicação  $f : (D^i, S^{i-1}, x_0) \rightarrow (X, A, x_0)$ . Aplicando a aproximação celular para pares, temos que  $f$  pode ser deformada

através de aplicações  $(D^i, S^{i-1}) \longrightarrow (X, A)$  a uma aplicação celular  $g$ . Assim  $[f] = [g]$ , com  $g$  celular. Em particular  $g$  é celular sobre  $S^{i-1}$  e assim novamente pela aproximação celular para pares obtemos que  $g$  é homotópica a uma aplicação  $g_1 : (D^i, S^{i-1}) \longrightarrow (X, A)$  (que é celular) por uma homotopia estacionária sobre  $S^{i-1}$ . Da hipótese que as células em  $X - A$  tem dimensão maior que  $n$ , segue que  $X^i = A^i$  (mesmos  $i$ -esqueletos) para  $i \leq n$ . Como  $g_1$  é celular,  $g_1(D^i) \subset X^i = A^i$ , ou seja,  $Im(g_1) \subset A$ . Assim, pelo critério da compressão (Proposição 1.3.1),  $[g_1] = 0$ ,  $[f] = [g] = [g_1] = 0$  e portanto  $\pi_i(X, A, x_0) = 0$  para  $i \leq n$ .

Claramente as células em  $X - X^n$  (se existir) tem dimensão maior que  $n$  e assim  $(X, X^n)$  é  $n$ -conexo.

Agora para a última afirmação, considere a seguinte parte da seqüência exata longa de homotopia do par  $(X, X^n)$  (Proposição 1.3.2)

$$\cdots \longrightarrow \pi_{i+1}(X, X^n, x_0) \longrightarrow \pi_i(X^n, x_0) \longrightarrow \pi_i(X, x_0) \longrightarrow \pi_i(X, X^n, x_0) \longrightarrow \cdots$$

Se  $i \leq n - 1$ , então  $i + 1 \leq n$  e assim  $\pi_{i+1}(X, X^n, x_0) = 0 = \pi_i(X, X^n, x_0)$ . Logo, para  $i < n$ , obtemos isomorfismos  $\pi_i(X^n, x_0) \longrightarrow \pi_i(X, x_0)$ . Quando  $i = n$ , como  $\pi_n(X, X^n, x_0) = 0$ , temos a seqüência exata:

$$\cdots \pi_n(X^n, x_0) \longrightarrow \pi_n(X, x_0) \longrightarrow 0$$

portanto a sobrejeção afirmada.

O resultado seguinte nos dá o cálculo de  $\pi_n(\bigvee_{\alpha} S_{\alpha}^n)$  a partir de  $\pi_n(S^n)$  e da seqüência exata longa do par.

**Proposição 2.3.3.**  $\pi_n(\bigvee_{\alpha} S_{\alpha}^n) \simeq \bigoplus_{\alpha} \mathbb{Z}_{\alpha}$ , para  $n \geq 2$ , mais precisamente  $\pi_n(\bigvee_{\alpha} S_{\alpha}^n)$  é abeliano livre tendo como base as classes de homotopias das inclusões  $S_{\alpha}^n \hookrightarrow \bigvee_{\alpha} S_{\alpha}^n$ .

**Demonstração:** Suponhamos primeiro que há somente um número finito de somandos  $S_{\alpha_1}^n, \dots, S_{\alpha_k}^n$ . Podemos olhar  $\bigvee_{i=1}^k S_{\alpha_i}^n$  como o  $n$ -esqueleto do

produto  $\prod_{i=1}^k S_{\alpha_i}^n$ , onde à  $S_{\alpha_i}^n$  é dado a estrutura usual de CW e  $\prod_{i=1}^k S_{\alpha_i}^n$  tem

a CW estrutura do produto. Observe que  $\prod_{i=1}^k S_{\alpha_i}^n$  tem células de dimensões

múltiplas de  $n$ , mais especificamente, de dimensões  $0, n, 2n, \dots, kn$ . Assim o par  $(\prod_{i=1}^k S_{\alpha_i}^n, \bigvee_{i=1}^k S_{\alpha_i}^n)$  é  $(2n-1)$ -conexo pois  $\prod_{i=1}^k S_{\alpha_i}^n$  é obtido de  $\bigvee_{i=1}^k S_{\alpha_i}^n$  pela adição de células de dimensão maior ou igual a  $2n$ , e obviamente,  $2n-1 < 2n$ . (Por exemplo,  $S_1^2 \times S_2^2 \times S_3^2 = (e_1^0 \cup e_1^2) \times (e_2^0 \cup e_2^2) \times (e_3^0 \cup e_3^2) \equiv e^0 \cup (e_1^2 \cup e_2^2 \cup e_3^2) \cup (e_{12}^4 \cup e_{13}^4 \cup e_{23}^4) \cup e^6$  tem células de dimensões  $0, 2, 2 \cdot 2 = 4, 3 \cdot 2 = 6$ .) Ainda,  $\prod_{i=1}^3 S_i^2$  é obtido de  $\bigvee_{i=1}^3 S_i^2$  por adição das células  $e_{12}^4, e_{13}^4, e_{23}^4, e^6$ .)

Daí, concluímos, usando o Corolário 2.3.1 (visto que o  $(2n-1)$ -esqueleto de  $X = \prod_{i=1}^k S_{\alpha_i}^n$  é igual a  $\bigvee_{i=1}^k S_{\alpha_i}^n$ ) que a inclusão  $\bigvee_{i=1}^k S_{\alpha_i}^n \hookrightarrow \prod_{i=1}^k S_{\alpha_i}^n$  induz um homomorfismo de  $\pi_j(\bigvee_{i=1}^k S_{\alpha_i}^n)$  em  $\pi_j(\prod_{i=1}^k S_{\alpha_i}^n)$  que é um isomorfismo para  $j < 2n-1$  e uma sobrejeção para  $j = 2n-1$ . Em particular, temos um isomorfismo no nível  $j = n$  visto que  $n < 2n-1$  se  $n \geq 2$ .

Agora, sabemos que  $\pi_n(\prod_{i=1}^k S_{\alpha_i}^n) \simeq \bigoplus_{i=1}^k \pi_n(S_{\alpha_i}^n)$  e cada  $\pi_n(S_{\alpha_i}^n)$  é isomorfo ao grupo  $\mathbb{Z}$ . Assim,  $\bigoplus_{i=1}^k \pi_n(S_{\alpha_i}^n) \simeq \bigoplus_{i=1}^k \mathbb{Z}_{\alpha_i}$ , o grupo abeliano livre tendo como base as inclusões  $S_{\alpha_i}^n \hookrightarrow \prod_{i=1}^k S_{\alpha_i}^n$ , e portanto obtemos  $\pi_n(\bigvee_{i=1}^k S_{\alpha_i}^n) \simeq \pi_n(\prod_{i=1}^k S_{\alpha_i}^n) \simeq \bigoplus_{i=1}^k \mathbb{Z}_{\alpha_i}$  para todo  $n \geq 2$ . Isto para o caso de um número finito de somandos  $S_{\alpha_i}^n$ 's.

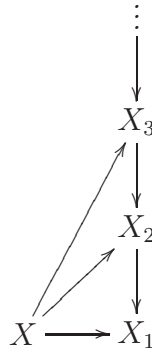
Consideremos então o caso geral (com infinitos somandos  $S_{\alpha_i}^n$ 's). Para reduzir esse caso ao caso finito, considere o homomorfismo  $\phi : \bigoplus_{\alpha} \pi_n(S_{\alpha}^n) \longrightarrow \pi_n(\bigvee_{\alpha} S_{\alpha}^n)$  induzido pelas inclusões  $S_{\alpha}^n \hookrightarrow \bigvee_{\alpha} S_{\alpha}^n$ . Então  $\phi$  é sobrejetora pois toda aplicação  $f : S^n \hookrightarrow \bigvee_{\alpha} S_{\alpha}^n$ , representando um elemento de  $\pi_n(\bigvee_{\alpha} S_{\alpha}^n)$ , tem (visto que  $S^n$  é compacto) imagem compacta contida na soma wedge de um número finito de  $S_{\alpha_i}^n$ 's, isto é, existe  $k \in \mathbb{N}^*$  tal que  $Im(f) \subset \bigvee_{i=1}^k S_{\alpha_i}^n$ . Logo, pelo caso finito (já provado), concluímos que existe  $u \in \bigoplus_{i=1}^k \pi_n(S_{\alpha_i}^n) \subset \bigoplus_{\alpha} \pi_n(S_{\alpha}^n)$  tal que  $\phi(u) = [f]$ , ou seja,  $[f] \in Im(\phi)$ .

Para concluir que  $\phi$  é injetora observemos que se  $[f] = 0$  em  $\pi_n(\bigvee_{\alpha} S_{\alpha}^n)$ , isto é,  $f$  é homotópica a uma constante, então a (nulo)homotopia

$H : S^n \times I \longrightarrow \bigvee_{\alpha} S_{\alpha}^n$  tem imagem compacta e assim  $Im(H) \subset \bigvee_{i=1}^n S_{\alpha_i}^n$  (soma wedge de um número finito de esferas), ou seja,  $f$  é homotópica em  $\bigvee_{i=1}^n S_{\alpha_i}^n$  a uma aplicação constante. Daí a injetividade também segue do caso finito. ■

Finalizando essa seção mostramos um resultado fundamental para a construção dos  $K(G, n)$ -espaços:

**Definição 2.3.3.** *Uma Torre de Postnikov para um espaço conexo por caminhos  $X$  é um diagrama comutativo (como abaixo) tal que:*



- (1) cada aplicação  $X \hookrightarrow X_n$  induz um isomorfismo  $\pi_i(X) \xrightarrow{\cong} \pi_i(X_n)$  para  $i \leq n$ ,
- (2)  $\pi_i(X_n) = 0$ , para  $i > n$ .

**Teorema 2.3.3. (Torre de Postnikov)** *Para todo CW-complexo conexo  $X$  e  $n \geq 1$ , podemos construir espaços  $X_n \supset X$  tais que  $\pi_i(X) \simeq \pi_i(X_n)$  para  $i \leq n$  e  $\pi_i(X_n) = 0$  se  $i > n$ . Além disso essa seqüência se encaixa num diagrama comutativo como acima. Ou seja,  $X$  tem uma Torre de Postnikov.*

**Demonstração:** Escolha aplicações celulares  $\varphi_{\alpha} : S^{n+1} \longrightarrow X$ , onde  $[\varphi_{\alpha}]$ ,  $\alpha \in \Lambda$  geram  $\pi_{n+1}(X)$  (podemos supor  $\varphi_{\alpha}$  celulares pois pelo Teorema da Aproximação Celular, considerando que  $X$  e  $S^{n+1}$  são CW-complexos, toda aplicação  $\psi : S^{n+1} \longrightarrow X$  é homotópica à uma aplicação celular  $\varphi : S^{n+1} \longrightarrow X$ ). Use estas aplicações para colar células  $e_{\alpha}^{n+2}$  a  $X$ , formando um CW-complexo  $Y = X \cup (\bigcup_{\alpha} e_{\alpha}^{n+2})$ .

Considere o par  $(Y, X)$ . Então,  $Y - X$  tem células de dimensão  $n+2 > n+1$ . Logo pelo Corolário 2.3.1,  $(Y, X)$  é  $(n+1)$ -conexo. Usando a seqüência exata longa de homotopia para o par  $(Y, X)$  obtemos (de maneira similar ao que feito

na demonstração do referido corolário para  $(X, X^n)$  que a inclusão  $X \hookrightarrow Y$  induz isomorfismos  $\pi_i(X) \longrightarrow \pi_i(Y)$  para  $i < n + 1$  (ou  $i \leq n$ ).

Para ver que  $\pi_{n+1}(Y) = 0$ , seja  $[\rho] \in \pi_{n+1}(Y)$ ,  $\rho : S^{n+1} \longrightarrow Y$ . Como antes, existe pela aproximação celular  $h_0 : S^{n+1} \longrightarrow Y$  tal que  $\rho \sim h_0$  e  $Im(h_0) \subset X$ . Assim podemos associar um elemento em  $\pi_{n+1}(X)$  dado pela classe de  $\tilde{h} : S^{n+1} \longrightarrow X$  onde  $\tilde{h}(u) = h_0(u)$  para todo  $u \in S^{n+1}$ .

Suponha que a aplicação  $\tilde{h}$  seja um gerador para  $\pi_{n+1}(X)$ , então  $j_{\#}([\tilde{h}]) = 0$  em  $\pi_n(Y)$ , pois pela construção inicial foi colado via  $\tilde{h}$  uma célula de dimensão  $n + 2$  em  $X \subset Y$ . Mas  $0 = j_{\#}([\tilde{h}]) = [h_0] = [\rho]$ . Logo  $\pi_{n+1}(Y) = 0$ . Agora, se  $\tilde{h}$  não for um gerador para  $\pi_{n+1}(X)$ , ele é um produto de geradores e da mesma forma temos  $[\rho] = j_{\#}([\tilde{h}]) = 0$ .

Obtemos então um espaço  $Y$  tal que  $\pi_i(X) \simeq \pi_i(Y)$ , para  $i \leq n$  e  $\pi_{n+1}(Y) = 0$ . O processo pode ser repetido com  $Y$  no lugar de  $X$  e  $n$  substituído por  $n + 1$ , de modo a obter um novo espaço  $Y_2 = Y \cup (\bigcup_{\beta} e_{\beta}^{n+3})$  com  $\pi_{n+2}(Y_2) = 0$  (visto que anexamos  $(n + 3)$  - células),  $\pi_{n+1}(Y_2) \simeq \pi_{n+1}(Y) = 0$  e  $\pi_i(Y_2) \simeq \pi_i(Y) \simeq \pi_i(X)$  se  $i \leq n$ . Depois de infinitas iterações temos estendido  $X$  para um CW-complexo  $X_n$  obtido de  $X$  por anexar células de dimensão maior ou igual a  $n + 2$ , tal que a inclusão  $X \hookrightarrow X_n$  induz isomorfismos  $\pi_i(X) \simeq \pi_i(X_n)$  para  $i \leq n$  e  $\pi_i(X_n) = 0$ , para  $i > n$ .

Finalmente, aplicando o Lema da Extensão (Lema 2.3.2) temos que a inclusão  $X \hookrightarrow X_n$  pode ser estendida para uma aplicação  $X_{n+1} \longrightarrow X_n$ , pois  $X_{n+1}$  é obtido de  $X$  anexando células de dimensão  $n+3$  ou maior, e  $\pi_i(X_n) = 0$ , para  $i > n$ , obtendo assim um diagrama comutativo como acima, ou seja uma Torre de Postnikov para  $X$ . ■

**Observação 2.3.1.** (1) *Pode-se olhar os espaços  $X_n$  como trunicações de  $X$  que produzem, sucessivamente, melhores aproximações para  $X$  quando  $n$  cresce.*

(2) *A Torre de Postnikov para  $X$ , dada no resultado anterior, é única a menos de homotopia ([5], Corolário 4.19, p. 355).*



# Capítulo 3

## Espaços de Eilenberg Mac-Lane

### 3.1 Definição e Propriedades

**Definição 3.1.1.** *Seja  $G$  um grupo. Um espaço topológico conexo  $X$  tal que  $\pi_n(X) = G$  e  $\pi_i(X) = 0$  se  $i \neq n$  ( $n \geq 1$ ), é chamado um **espaço de Eilenberg Mac-Lane do tipo  $(G, n)$** , ou simplesmente, um  **$K(G, n)$  - espaço**. E usualmente denotamos tal  $X$  por  $K(G, n)$ .*

**Exemplo 3.1.1.** *O espaço  $S^1 = \{(x, y) \in \mathbb{R}^2; x^2 + y^2 = 1\}$  com a topologia usual é um  $K(\mathbb{Z}, 1)$ , pois  $\pi_1(S^1) \simeq \mathbb{Z}$  e  $\pi_n(S^1) = 0$ , para todo  $n \geq 2$  (esta última afirmação segue do fato que  $\mathbb{R}$  é o recobrimento universal de  $S^1$ ).*

**Proposição 3.1.1.** *Sejam  $G$  e  $L$  grupos. Se  $X$  é um  $K(G, n)$  e  $Y$  é um  $K(L, n)$  então  $X \times Y$  é um  $K(G \oplus L, n)$ .*

**Demonstração:** Segue do fato que  $\pi_j(X \times Y) \simeq \pi_j(X) \oplus \pi_j(Y), \forall j \geq 1$ . ■

Note que se  $X$  é um  $K(G, n)$  e  $Y$  é um  $K(L, m)$ , com  $n \neq m$  então  $X \times Y$  não é um  $K(G \oplus L, r)$  para nenhum  $r$ , pois  $\pi_n(X \times Y) = G$  e  $\pi_m(X \times Y) = L$  e se  $j \neq n$  e  $j \neq m$  então  $\pi_j(X \times Y) = 0$ .

Para o caso  $n = 1$ , a condição  $\pi_i(X) = 0$  para  $i > 1$ , pode ser substituída (quando o espaço têm recobrimento universal do mesmo tipo de homotopia de um CW-complexo) pela condição de que  $X$  tem um espaço de recobrimento universal contráctil, como veremos na

**Proposição 3.1.2.** *Um CW-complexo  $X$  é um  $K(G, 1)$  - espaço se, e somente se,  $\pi_1(X) = G$  e o espaço de recobrimento universal de  $X$  é contráctil.*

**Demonstração:** Suponhamos que  $X$  seja um  $K(G, 1)$ . Então, por definição,  $\pi_1(X) \simeq G$  e  $\pi_k(X) = 0$ ,  $k \geq 2$ . Seja  $\tilde{X}$  o recobrimento universal de  $X$  e considere  $p : \tilde{X} \rightarrow X$  a projeção associada. Essa aplicação induz um isomorfismo  $p_{\sharp} : \pi_k(\tilde{X}) \rightarrow \pi_k(X)$ ,  $\forall k \geq 2$ . Logo  $\pi_k(\tilde{X}) = 0$ ,  $\forall k \geq 2$ . Como  $\tilde{X}$  é recobrimento universal de  $X$ , então  $\pi_1(\tilde{X}) = 0$ . Assim temos que  $\pi_n(\tilde{X}) = 0, \forall n$ . Agora considere  $f : \tilde{X} \rightarrow \{x_0\}$  a aplicação constante. Essa aplicação é contínua e induz um isomorfismo  $f_{\sharp} : \pi_n(\tilde{X}) \rightarrow \pi_n(\{x_0\})$ . Então, pelo Teorema de Whitehead (Teorema 2.3.1),  $f$  é uma equivalência de homotopia, ou seja,  $\tilde{X}$  tem o mesmo tipo de homotopia de um ponto. Portanto  $\tilde{X}$  é contrátil. A recíproca é óbvia. ■

## 3.2 Existência dos $K(G, n)$ - Espaços

Estamos interessados no seguinte problema: Dado um grupo  $G$  e  $n \geq 1$ , sempre existe um CW-complexo que é do tipo  $K(G, n)$  (supondo  $G$  abeliano se  $n \geq 2$ )? Conforme veremos, a resposta é afirmativa.

Vejamos inicialmente o caso  $n=1$ .

**Teorema 3.2.1.** *Para qualquer grupo  $G$  podemos construir um CW-complexo do tipo  $K(G, 1)$ .*

**Demonstração:** Dado um grupo  $G$ , como já visto anteriormente (Corolário 1.2.1) constrói-se inicialmente, a partir de uma apresentação de  $G \simeq F/R$ , onde  $F$  é livre gerado por  $\mathbf{A}$  (conjunto de geradores) e  $R$  é o menor subgrupo normal de  $F$  gerado por  $\mathbf{B}$  (conjunto de relações), um 2-complexo  $Y := (\bigvee_{\alpha \in \mathbf{A}} S_{\alpha}^1) \bigcup (\bigcup_{\beta \in \mathbf{B}} e_{\beta}^2)$  tal que  $\pi_1(Y) = G$ . Usando o Teorema 2.3.3 (Torre de Postnikov) obtivemos a partir de  $Y$ , por colar células de dimensão maior ou igual a três, um espaço  $X = X_1$  de modo que  $\pi_1(X) = \pi_1(Y) = G$  e  $\pi_j(X) = 0$  para  $j \geq 2$ , isto é, obtivemos um  $K(G, 1)$ -espaço. ■

**Observação 3.2.1.** *Note que, de acordo com a demonstração anterior o primeiro espaço  $X_1$  da Torre de Postnikov já nos dá o espaço  $K(G, 1)$  desejado. No entanto é interessante observar que para obter  $X_1$ , em alguns casos, temos que colar células infinitamente (vide Exemplo 3.3.4).*

Nosso objetivo agora é a construção de um  $K(G,n)$  - espaço com  $n \geq 2$ . Para tanto necessitamos de alguns resultados.

**Teorema 3.2.2.** (*Excisão para grupos de homotopia*) *Seja  $X$  um CW-complexo que é decomposto como a união de subcomplexos  $A$  e  $B$  com intersecção não vazia  $C = A \cap B$ . Se  $(A, C)$  é  $m$  - conexo e  $(B, C)$  é  $n$  - conexo,  $m, n \geq 0$ , então a aplicação  $\pi_i(A, C) \rightarrow \pi_i(X, B)$  induzida pela inclusão é um isomorfismo para  $i \leq m + n$  e uma sobrejeção para  $i = m + n$ .*

**Demonstração:** ([5], Teorema 4.23, p. 360).

**Proposição 3.2.1.** *Se um par CW,  $(X, A)$ , é  $r$  - conexo e  $A$  é  $s$  - conexo, com  $r, s \geq 0$ , então a aplicação  $\pi_i(X, A) \rightarrow \pi_i(X/A)$  induzida pela aplicação quociente  $X \rightarrow X/A$  é um isomorfismo para  $i \leq r + s$  e uma sobrejeção para  $i = r + s + 1$ .*

**Demonstração:** Considere  $X \cup CA$ , o complexo obtido de  $X$  colando um cone  $CA$  ao longo de  $A \subset X$ . O cone  $CA$  (Exemplo 2.1.6- Join) é a união de segmentos de reta ligando pontos de  $A$  à um vértice externo  $p$ . Então  $CA$  é homotópico ao conjunto unitário  $p$  (por exemplo tome a homotopia linear  $H : CA \times I \rightarrow CA$ ;  $(x, t) \mapsto tp + (1 - t)x$ ). Ou seja,  $CA$  é um subcomplexo contrátil de  $X \cup CA$ . Assim a aplicação quociente  $X \cup CA \xrightarrow{q} (X \cup CA)/CA = X/A$  é uma equivalência de homotopia visto que o par  $(X \cup CA, CA)$  é um par CW e portanto tem a propriedade de extensão de homotopia (Proposição 2.3.1). Conseqüentemente  $q$  induz um isomorfismo de  $\pi_i(X \cup CA)$  em  $\pi_i((X \cup CA)/CA) = \pi_i(X/A)$ . Assim temos o diagrama comutativo

$$\begin{array}{ccccc} \pi_i(X, A) & \longrightarrow & \pi_i(X \cup CA, CA) & \longrightarrow & \pi_i(X \cup CA/CA) = \pi_i(X/A) \\ & & \uparrow \simeq & \nearrow \simeq & \\ & & \pi_i(X \cup CA) & & \end{array}$$

onde o isomorfismo vertical vem da seqüência exata longa

$$\dots \longrightarrow \pi_i(CA) \longrightarrow \pi_i(X \cup CA) \longrightarrow \pi_i(X \cup CA, CA) \longrightarrow \pi_{i-1}(CA) \longrightarrow \dots$$

e do fato que  $CA$  é contrátil. Donde obtém-se da comutatividade, um isomorfismo  $\pi_i(X \cup CA, CA) \rightarrow \pi_i(X/A)$  (\*).

Ainda, da sequência exata longa para o par  $(CA, A)$ ,

$$\dots \longrightarrow \pi_i(A) \longrightarrow \pi_i(CA) \longrightarrow \pi_i(CA, A) \longrightarrow \pi_{i-1}(A) \longrightarrow \dots,$$

do fato que  $A$  é  $s$ -conexo (por hipótese) e que  $CA$  é contrátil, obtemos que  $\pi_i(CA, A) = 0$  para  $i \leq s + 1$ , isto é,  $(CA, A)$  é  $s+1$ -conexo.

Agora usando o resultado anterior (*Excisão para Grupos de Homotopia* - Teorema 3.2.2) para o espaço  $\mathcal{X} = X \cup CA$ ,  $C = X \cap CA = A$  e os pares  $(X, A)$   $r$ -conexo e  $(CA, A)$   $s+1$ -conexo, concluímos que o homomorfismo  $\pi_i(X, A) \longrightarrow \pi_i(X \cup CA, CA)$ , induzido pela inclusão, é um isomorfismo para  $i < r + s + 1$  e uma sobrejeção para  $i = r + s + 1$ .

Logo, considerando o isomorfismo (\*) acima, concluímos que  $\pi_i(X, A) \longrightarrow \pi_i(X/A)$  é um isomorfismo para  $i \leq r + s$  e uma sobrejeção para  $i = r + s + 1$ . ■

**Lema 3.2.1.** *O espaço  $A = \bigvee_{\alpha \in \Lambda} S_\alpha^n$  (bouquet de  $n$ -esferas)  $n \geq 2$ , é  $(n - 1)$ -conexo.*

**Demonstração:** Para  $j \leq n - 1$ , seja  $[\varphi] \in \pi_j(A)$ , com  $\varphi : S^j \longrightarrow A$ . Pelo Teorema da Aproximação Celular,  $\varphi \sim \psi : S^j \longrightarrow A$ , com  $\psi$  celular. Agora o  $j$ -esqueleto de  $A$ ,  $A^j$ ,  $j \leq n - 1$  é um ponto (a única 0-célula) uma vez que  $A$  não possui células de dimensão  $j$ , para  $0 < j \leq n - 1$  e portanto,  $\psi$  é a aplicação constante. Daí  $[\varphi] = [\psi] = 0$ . Assim  $\pi_j(A) = 0$ , para  $j \leq n - 1$ , ou seja,  $A$  é  $(n - 1)$ -conexo. ■

**Proposição 3.2.2.** *Para todo grupo abeliano  $G$  e  $n \geq 2$ , existe um CW-complexo  $(n - 1)$ -conexo, de dimensão  $n + 1$  tal que  $\pi_n(X) \simeq G$ .*

**Demonstração:** Como no caso  $n = 1$ , considere uma apresentação do grupo  $G$ ,  $G = \langle \mathbf{A}; \mathbf{B} \rangle$ , ou seja,  $G \simeq F/R$  onde  $F$  é o grupo livre gerado por  $\alpha \in \mathbf{A}$  e  $R$ , normal a  $F$ , é o subgrupo gerado pelo conjunto de relações  $\beta \in \mathbf{B}$ . Notemos que nesse caso, como  $G$  é abeliano,  $F$  é abeliano livre.

Para cada gerador  $\alpha$  associamos uma  $n$ -esfera  $S_\alpha^n$ . Então, considerando o espaço  $\bigvee_{\alpha \in \mathbf{A}} S_\alpha^n$  temos, do fato que  $n \geq 2$  (Proposição 2.3.3), que

$$\pi_n\left(\bigvee_{\alpha \in \mathbf{A}} S_\alpha^n\right) \simeq \bigoplus_{\alpha \in \mathbf{A}} \mathbb{Z}_\alpha \simeq F.$$

Cada relação  $\beta \in \mathbf{B} \subset F$  entre os geradores  $\alpha$ 's pode ser realizada como uma classe em  $\pi_n\left(\bigvee_{\alpha \in \mathbf{A}} S_\alpha^n\right)$ ,  $[\varphi_\beta]$ , representada por uma aplicação

$\varphi_\beta : S^n \longrightarrow \bigvee_{\alpha \in \mathbf{A}} S_\alpha^n$ . Considere o CW-complexo  $X$  obtido de  $\bigvee_{\alpha \in \mathbf{A}} S_\alpha^n$  anexando  $(n+1)$ -células  $e_\beta^{n+1}$  via  $\varphi_\beta$ , preservando ponto base,

$$X = \left( \bigvee_{\alpha \in \mathbf{A}} S_\alpha^n \right) \bigcup_{\beta} e_\beta^{n+1}.$$

Note que  $X^n = \bigvee_{\alpha \in \mathbf{A}} S_\alpha^n$ , que o par  $(X, X^n)$  é  $n$ -conexo (Corolário 2.3.1) e que  $X^n$  é  $(n-1)$ -conexo (pelo Lema anterior). Logo, pela Proposição 3.2.1, o homomorfismo  $\pi_i(X, X^n) \longrightarrow \pi_i(X/X^n)$ , induzido pela aplicação quociente  $X \longrightarrow X/X^n$  é um isomorfismo para  $i \leq 2n-1$  (e uma sobrejeção para  $i = 2n$ ). Em particular, considerando os casos  $n+1$  e  $n$ , e o fato que  $X/X^n = \bigvee_{\beta \in \mathbf{B}} S_\beta^{n+1}$ , obtemos que

- $\pi_{n+1}(X, X^n) \simeq \pi_{n+1}(X/X^n) = \pi_{n+1}\left(\bigvee_{\beta \in \mathbf{B}} S_\beta^{n+1}\right) = \bigoplus_{\beta \in \mathbf{B}} \mathbb{Z}_\beta$ , o grupo abeliano livre gerado pelas aplicações características  $[\phi_\beta]$  das células  $e_\beta^{n+1}$ , e
- $\pi_n(X, X^n) \simeq \pi_n(X/X^n) = 0$  (visto que  $X/X^n = \bigvee_{\beta \in \mathbf{B}} S_\beta^{n+1}$  é  $n$ -conexo).

A sequência exata para o par  $(X, X^n)$  nos dá:

$$\cdots \rightarrow \pi_{n+1}(X, X^n) = \bigoplus_{\beta \in \mathbf{B}} \mathbb{Z}_\beta \xrightarrow{\partial} \pi_n(X^n) \xrightarrow{i_\#} \pi_n(X) \xrightarrow{j_\#} \pi_n(X, X^n) = 0.$$

Pela exatidão da sequência,  $Im(i_\#) = ker(j_\#) = \pi_n(X)$ . Então, pelo Teorema do Homomorfismo,  $\pi_n(X) = Im(i_\#) \simeq \pi_n(X^n)/ker(i_\#)$ . Agora, o operador bordo  $\partial$  leva as aplicações características  $[\phi_\beta]$  nas classes  $[\varphi_\beta]$ , assim  $Im(\partial) = \langle [\varphi_\beta], \beta \in \mathbf{B} \rangle = \bigoplus_{\beta \in \mathbf{B}} \mathbb{Z}_\beta = R$ . Daí,  $ker(i_\#) = Im(\partial) = R$ , e então temos

$$\pi_n(X) \simeq \pi_n(X^n)/ker(i_\#) = \pi_n\left(\bigvee_{\alpha \in \mathbf{A}} S_\alpha^n\right)/Im(\partial) = F/R \simeq G.$$

Para ver que  $X$  é  $n-1$  conexo, raciocinamos como no Lema anterior, isto é, usamos o fato que toda aplicação  $\varphi : S^i \longrightarrow X$  é homotópica a uma aplicação celular (teorema da aproximação celular) e que tal aplicação será constante se  $i < n$ . ■

**Teorema 3.2.3.** *Seja  $G$  um grupo abeliano qualquer e  $n \geq 2$  um inteiro. Então existe um CW-complexo do tipo  $K(G, n)$ .*

**Demonstração:** Dado um grupo abeliano  $G$  e  $n \geq 2$ , pela Proposição

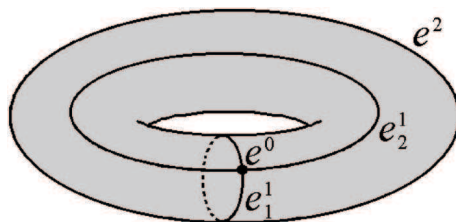
anterior, existe um CW-complexo  $(n-1)$ -conexo  $X$ , de dimensão  $n+1$  tal que  $\pi_n(X) \simeq G$ . Usando o Teorema 2.3.3 (Torre de Postnikov) para  $X$  pode-se construir uma sequência de espaços  $X_m$  tal que  $\pi_i(X_m) \simeq \pi_i(X)$  para  $i \leq m$  e  $\pi_i(X_m) = 0$  para  $i > m$ . Em particular, para  $m = n$ , e considerando  $Z = X_n$ , temos  $\pi_i(Z) \simeq \pi_i(X)$  para  $i \leq n$  e  $\pi_i(Z) = 0$  para  $i > n$ . Assim  $\pi_i(Z) \simeq \pi_i(X) = 0$ , para  $1 \leq i \leq n-1$ ,  $\pi_n(Z) \simeq \pi_n(X) = G$  e  $\pi_i(Z) = 0$  para  $i > n$ , ou seja,  $Z$  é um  $K(G, n)$  - espaço. ■

### 3.3 Exemplos

**Exemplo 3.3.1.** Já vimos que o círculo unitário  $S^1$  é um  $K(\mathbb{Z}, 1)$ -espaço. Note que uma apresentação para  $G = \mathbb{Z}$  é  $\langle \alpha, \emptyset \rangle$ . Nesse caso, considerando a construção de  $K(G, 1)$  - espaços, tomamos inicialmente o “bouquet” com um único círculo  $S^1 = S^1_\alpha$  e como não há relações não necessitamos colar 2-células para obter um CW-complexo 2-dimensional  $X$  com  $\pi_1(X) = \mathbb{Z}$ . Temos ainda que  $\pi_j(S^1) = 0, \forall j \geq 2$  e assim, o  $X_1$  construído na Torre é o  $S^1$  e portanto  $S^1$  é um espaço do tipo  $K(\mathbb{Z}, 1)$ . Um raciocínio similar nos dá que o bouquet  $Y = \bigvee_{\alpha \in \mathbf{A}} S^1_\alpha$  é um  $K(\mathbf{F}, 1)$ , onde  $\mathbf{F}$  é o grupo livre gerado por  $\mathbf{A}$ .

**Exemplo 3.3.2.** O toro  $T^2$  é um  $K(\mathbb{Z} \oplus \mathbb{Z}, 1)$  - espaço. Temos que  $\mathbb{Z} \oplus \mathbb{Z} \simeq F/R$ , onde  $F$  é um grupo livre gerado por  $\{\alpha_1, \alpha_2\}$  e  $R$  é o menor subgrupo normal de  $F$  contendo a relação  $\beta = \alpha_1 \alpha_2 \alpha_1^{-1} \alpha_2^{-1}$ . Considere  $X^1 = \bigvee_{i=1}^2 S^1_i$

(figura oito). Então  $\pi_1(\bigvee_{i=1}^2 S^1_i) \simeq \mathbb{Z} * \mathbb{Z}$ . Colemos uma 2-célula  $e^2$  em  $X^1$ , a partir da relação  $\beta = \alpha_1 \alpha_2 \alpha_1^{-1} \alpha_2^{-1}$ , para obtermos o CW-complexo 2-dimensional  $X^2 = X^1 \cup e^2$  com  $\pi_1(X^2) = (\mathbb{Z} * \mathbb{Z})/R \simeq \mathbb{Z} \oplus \mathbb{Z}$ . Agora  $X^2 = T^2 = S^1 \times S^1$  e  $\pi_j(T^2) = \pi_j(\mathbb{R}^2) = 0, \forall j \geq 2$ . Portanto  $T^2$  é um espaço do tipo  $K(\mathbb{Z} \oplus \mathbb{Z}, 1)$ . Notemos que esse é um caso em que foi necessário colar uma 2-célula para obter o complexo 2-dimensional com grupo fundamental  $\mathbb{Z} \oplus \mathbb{Z}$  mas o complexo obtido já é um  $K(\mathbb{Z} \oplus \mathbb{Z}, 1)$  e assim não houve necessidade de usar a Torre de Postnikov, uma vez que o espaço  $X_1 = T^2$  já tem  $\pi_j$  trivial para  $j \geq 2$ .



**Exemplo 3.3.3.** Superfícies fechadas com grupo fundamental infinito, em outras palavras, superfícies fechadas que não sejam  $S^2$  e  $\mathbb{R}P^2$ , são  $K(G, 1)$ -espaços. Isto segue do fato que as únicas superfícies sem bordo que são simplesmente conexas são  $S^2$  e  $\mathbb{R}^2$  (resultado da teoria de superfícies), de modo que recobrimento universal de uma superfície fechada com grupo fundamental infinito deve ser  $\mathbb{R}^2$  (pois o recobrimento universal nesse caso é não compacto visto que as fibras são subconjuntos discretos que estão em correspondência com o grupo fundamental que é infinito), e  $\mathbb{R}^2$  é contrátil. Ainda, superfícies não fechadas são  $K(G, 1)$  - espaços com  $G$  livre, pois tais superfícies se retraem por deformação sobre grafos, e o grupo fundamental de um grafo é livre ([7], VI Teorema 5.1), além disso possuem grupos de homotopias superiores triviais.

**Exemplo 3.3.4.** O espaço projetivo real infinito dimensional  $\mathbb{R}P^\infty$ , é um  $K(\mathbb{Z}_2, 1)$  - espaço. Para isso, notemos que o grupo cíclico  $G = \mathbb{Z}_2$  tem como apresentação  $G = \langle \alpha; \alpha^2 \rangle$ . Consideremos o grupo livre  $F \simeq \mathbb{Z}$  com um gerador  $\alpha$  e  $X^1 = S^1$ . Colemos uma 2-célula em  $X^1$  a partir da relação  $\alpha^2$ , o espaço  $Y = X^2$ , assim obtido, satisfaz  $\pi_1(X^2) = \mathbb{Z}_2$  e pode ser identificado com o espaço  $\mathbb{R}P^2$ . Temos então um CW-complexo 2-dimensional que tem grupo fundamental  $\mathbb{Z}_2$ . Agora  $\pi_2(\mathbb{R}P^2) \simeq \pi_2(S^2) \simeq \mathbb{Z} \neq 0$ , assim precisamos usar a construção na Torre de Postnikov para obter o espaço “ $X_1$ ” desejado. Ou seja, temos que adicionar células de dimensões superiores ( $n \geq 1 + 2 = 3$ ). De fato, nesse caso o processo é infinito, isto é, adicionamos uma célula em cada dimensão:  $\mathbb{R}P^3 \subset \mathbb{R}P^2 \cup e^3$  e  $\pi_1(\mathbb{R}P^3) \simeq \pi_1(\mathbb{R}P^2) \simeq \mathbb{Z}_2$ ,  $\pi_2(\mathbb{R}P^3) = 0$  mas  $\pi_3(\mathbb{R}P^3) \simeq \pi_3(S^3) \simeq \mathbb{Z} \neq 0$  (tem um gerador). Anexamos então mais uma célula de modo a obter um espaço (o  $\mathbb{R}P^4 = \mathbb{R}P^3 \cup e^4$ ), que agora satisfaz  $\pi_1(\mathbb{R}P^4) \simeq \mathbb{Z}_2$ ,  $\pi_2(\mathbb{R}P^4) = \pi_3(\mathbb{R}P^4) = 0$  mas  $\pi_4(\mathbb{R}P^4) \simeq \pi_4(S^4) \simeq \mathbb{Z} \neq 0$ , continuando o processo (Torre de Postnikov), obtemos o espaço  $X_1 = \mathbb{R}P^\infty$ , que é um  $K(\mathbb{Z}_2, 1)$ -espaço.

**Observação 3.3.1.** Podemos concluir que  $\mathbb{R}P^\infty$  é um  $K(\mathbb{Z}_2, 1)$  por verificar que seu recobrimento universal é  $S^\infty$ . Uma homotopia entre a aplicação

identidade de  $S^\infty$  e uma aplicação constante pode ser construída como segue: Primeiro definimos  $H : \mathbb{R}^\infty \times I \longrightarrow \mathbb{R}^\infty$  por  $H((x_1, x_2, \dots), t) = (1-t)(x_1, x_2, \dots) + t(0, x_1, x_2, \dots)$ . É claro que  $H(\cdot, t)$  leva vetor não nulo em vetor não nulo. Então  $K : S^\infty \times I \longrightarrow S^\infty$ ;  $K(x, t) := H(x, t)/\|H(x, t)\|$ , onde  $x = (x_1, x_2, \dots)$ , dá uma homotopia entre a aplicação identidade de  $S^\infty$  e a aplicação  $g : (x_1, x_2, \dots) \longrightarrow (0, x_1, x_2, \dots)$ . Agora uma homotopia entre  $g$  e a aplicação constante é dada por  $L : S^\infty \times I \longrightarrow S^\infty$ ;  $L(x, t) := S(x, t)/\|S(x, t)\|$ , onde  $S(x, t) = (1-t)(0, x_1, x_2, \dots) + t(1, 0, 0, \dots)$ .

**Exemplo 3.3.5.** Generalizando o exemplo anterior, podemos construir um  $K(\mathbb{Z}_m, 1)$ -espaço como um espaço de Lens de dimensão infinita  $L_m = S^\infty/\mathbb{Z}_m$ , onde  $\mathbb{Z}_m$  atua sobre  $S^\infty$  (visto como a esfera unitária em  $\mathbb{C}^\infty$ ) pela multiplicação por escalar pela  $m$ -ésima raiz da unidade, um gerador desta ação é a aplicação  $(z_1, z_2, \dots) \mapsto e^{\frac{2\pi i}{m}}(z_1, z_2, \dots)$ . Pode-se verificar que esta é uma ação no espaço de recobrimento e que  $L_m$  é um  $K(\mathbb{Z}_m, 1)$ -espaço. ([13], Teorema 2.10.10-demonstração, p. 86)

**Exemplo 3.3.6.** A partir dos exemplos anteriores, e do fato que um produto  $K(G_1, 1) \times K(G_2, 1)$  é um  $K(G_1 \times G_2, 1)$  podemos obter espaços  $K(G, 1)$  para todo grupo abeliano finitamente gerado  $G$ . Para tanto basta lembrarmos que um grupo abeliano finitamente gerado é isomorfo a um produto de grupos cíclicos infinitos e finitos. Assim basta tomar o espaço formado por produtos de círculos e espaços de Lens de dimensão infinita.

**Exemplo 3.3.7.** Exemplos de  $K(G, n)$ -espaços, para  $n \geq 2$ , são raros. Pode-se verificar que o espaço  $\mathbb{C}P^\infty$  é um  $K(\mathbb{Z}, 2)$  e conseqüentemente generalizar esse exemplo tomando um produto de  $\mathbb{C}P^\infty$ 's para obter um  $K(G, 2)$  com  $G$  um produto de  $\mathbb{Z}$ 's ([5], p. 365).

## 3.4 Considerações Finais

- (1) Observemos que  $\pi_1(T^2) \simeq \mathbb{Z} \oplus \mathbb{Z}$  é um grupo sem torção e  $T^2$  é um CW-complexo de dimensão finita. Agora  $\pi_1(\mathbb{R}P^\infty) \simeq \mathbb{Z}_2$ ,  $\mathbb{Z}_2$  é um grupo de torção e  $\mathbb{R}P^\infty$  é um CW-complexo de dimensão infinita. De fato, usando cohomologia de grupos pode-se mostrar que se  $G$  tem torção então não existe um CW-complexo finito que seja  $K(G, 1)$ . ([5], Proposição 2.45, p. 149 ou [2], Corolário 3.2.1)



- (2) Seja  $Y$  um CW-complexo. Então existe uma bijeção entre  $[Y, K(G, n)]$  e  $H^n(Y, G)$ , onde  $[X, Y]$  representa as classes de homotopia das aplicações de  $X$  em  $Y$  e  $G$  é um grupo abeliano. A prova desse resultado pode ser feita usando teoria de cohomologia ([5], Teorema 4.57, p. 393) ou obtida como uma aplicação da teoria de obstrução ([11], Teorema 8. 10, p. 428).
- (3) Pode-se mostrar a unicidade dos espaços  $K(G, n)$ 's a menos de homotopia ([5], Teorema 1B.8, p. 90 para o caso  $n = 1$ ; Proposição 4.30, p. 366 para o caso  $n \geq 2$  ).
- (4) Os  $K(G, 1)$ - espaços, estabelecem uma relação entre a cohomologia de grupos e a de espaços uma vez que, para cada  $k$ , o grupo de (co)homologia,  $H^k(G, M)$ , de um grupo  $G$  com coeficientes em um  $\mathbf{Z}G$ -módulo  $M$  é isomorfo a  $H^k(X, \mathbf{M})$ , onde  $X$  é um  $K(G, 1)$  - espaço e  $\mathbf{M}$  é um sistema de coeficientes locais para  $X$  associado ao  $\mathbf{Z}G$ -módulo  $M$  ([1] II. Proposição 4.1; III. § 1, p. 59).

# Apêndice A

## Grupo Fundamental

### A.1 Caminhos Homotópicos e o Grupo Fundamental

**Definição A.1.1.** Um caminho num espaço topológico  $X$  é uma aplicação contínua  $\alpha : I = [0, 1] \longrightarrow X$ . Os pontos  $\alpha(0)$  e  $\alpha(1)$  são chamados pontos inicial e final de  $\alpha$ , respectivamente. Caminhos  $\alpha$  e  $\beta$  com pontos iniciais e finais comuns,  $\alpha(0) = \beta(0)$  e  $\alpha(1) = \beta(1)$ , são ditos equivalentes se existe uma aplicação contínua  $H : I \times I \longrightarrow X$  tal que

$$\begin{aligned} H(t, 0) &= \alpha(t), & H(t, 1) &= \beta(t), & t &\in I, \\ H(0, s) &= \alpha(0) = \beta(0), & H(1, s) &= \alpha(1) = \beta(1), & s &\in I, \end{aligned}$$

A aplicação  $H$  é chamada uma homotopia entre  $\alpha$  e  $\beta$ . Para um dado valor de  $s$ , a restrição de  $H$  à  $I \times \{s\}$  é chamada o nível  $s$  de homotopia e é usualmente denotada por  $H(\cdot, s)$ ,  $H_s(\cdot)$  ou  $h_s(\cdot)$ .

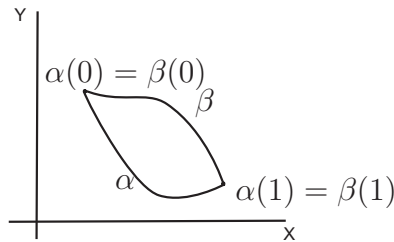
**Definição A.1.2.** Um laço num espaço topológico  $X$  é um caminho  $\alpha$  em  $X$  com  $\alpha(0) = \alpha(1)$ . O valor comum do ponto inicial e ponto final é chamado ponto base do laço. Dois laços  $\alpha$  e  $\beta$  com mesmo ponto base  $x_0$  são ditos equivalentes, ou homotópicos módulo  $x_0$ , se são equivalentes como caminhos. Em outras palavras,  $\alpha$  e  $\beta$  são homotópicos módulo  $x_0$  (denotado por  $\alpha \sim_{x_0} \beta$ ) desde que exista uma homotopia  $H : I \times I \longrightarrow X$  tal que

$$\begin{aligned} H(\cdot, 0) &= \alpha, & H(\cdot, 1) &= \beta, \\ H(0, s) &= H(1, s) = x_0, & s &\in I. \end{aligned}$$

Como  $H(0, s)$  e  $H(1, s)$  têm sempre valor  $x_0$ , independente da escolha de  $s$

em  $[0, 1]$ , às vezes se diz que o ponto base  $x_0$  “fica fixo do começo ao fim da homotopia”.

**Exemplo A.1.1.** Os caminhos  $\alpha$  e  $\beta$  no plano, representados na figura são equivalentes.



Uma homotopia  $H$  que mostra a equivalência entre os caminhos é definida por  $H(t, s) = s \cdot \beta(t) + (1 - s) \cdot \alpha(t)$ , com  $(t, s) \in I \times I$ . A homotopia essencialmente “puxa  $\alpha$  na direção de  $\beta$ ” sem perturbar os pontos finais. Se o espaço tivesse um buraco entre os traços dos caminhos  $\alpha$  e  $\beta$ , então eles não seriam equivalentes.

O seguinte lema será muito útil nesta seção.

**Lema A.1.1.** (*Lema da Colagem ou Lema da Continuidade*) Seja  $X$  um espaço topológico com subconjuntos fechados  $A$  e  $B$  tais que  $X = A \cup B$ . Sejam  $f : A \rightarrow Y$  e  $g : B \rightarrow Y$  aplicações contínuas tais que  $f(x) = g(x)$  para cada  $x$  em  $A \cap B$ . Então é contínua a aplicação  $h : X \rightarrow Y$  definida por

$$h(x) = \begin{cases} f(x), & \text{se } x \in A \\ g(x), & \text{se } x \in B. \end{cases}$$

**Demonstração:** Seja  $V \subset Y$  um subconjunto fechado. Temos que  $h^{-1}(V) = f^{-1}(V) \cup g^{-1}(V)$  é fechado em  $X$ , uma vez que  $f$  e  $g$  contínuas implicam que  $f^{-1}(V)$  e  $g^{-1}(V)$  são fechados em  $A$  e  $B$ , respectivamente, e conseqüentemente em  $X$ , pois  $A$  e  $B$  são fechados em  $X$ . Agora, a união finita de fechados é fechado, e então  $h^{-1}(V)$  é fechado. Logo  $h$  é contínua. ■

**Teorema A.1.1.** Os resultados seguintes são válidos:

- (a) *Equivalência de caminhos é uma relação de equivalência sobre o conjunto dos caminhos num espaço  $X$ .*
- (b) *Equivalência de laços é uma relação de equivalência sobre o conjunto dos laços em  $X$  com ponto base  $x_0$ .*

**Demonstração:** Provemos o item (b). Considere o conjunto dos laços em  $X$  tendo como ponto base  $x_0$ . Qualquer laço é equivalente a ele mesmo pela homotopia  $F(t, s) = \alpha(t)$ ,  $(t, s) \in I \times I$ . Então a relação  $\sim_{x_0}$  é reflexiva. Suponhamos  $\alpha \sim_{x_0} \beta$ . Assim existe uma homotopia  $H : I \times I \rightarrow X$  tal que

$$H(\cdot, 0) = \alpha, \quad H(\cdot, 1) = \beta, \quad H(0, s) = H(1, s) = x_0, \quad s \in I.$$

Então a homotopia  $\bar{H}(t, s) := H(t, 1 - s)$ ,  $(t, s) \in I \times I$  mostra que  $\beta \sim_{x_0} \alpha$ . Pois,

$$\begin{aligned} \bar{H}(\cdot, 0) &= H(\cdot, 1) = \beta, & \bar{H}(\cdot, 1) &= H(\cdot, 0) = \alpha \\ \bar{H}(0, s) &= H(0, 1 - s) = H(1, 1 - s) = \bar{H}(1, s) = x_0, & \forall s \in I. \end{aligned}$$

Logo a equivalência de laços é uma relação simétrica.

Admita agora que os laços  $\alpha, \beta$  e  $\gamma$  são tais que  $\alpha \sim_{x_0} \beta$  e  $\beta \sim_{x_0} \gamma$ . Então existem homotopias  $H$  e  $K$  tais que

$$\begin{aligned} H : I \times I &\rightarrow X; & K : I \times I &\rightarrow X; \\ H(\cdot, 0) &= \alpha, & K(\cdot, 0) &= \beta, \\ H(\cdot, 1) &= \beta, & K(\cdot, 1) &= \gamma, \\ H(0, s) &= H(1, s) = x_0, & K(0, s) &= K(1, s) = x_0. \end{aligned}$$

A homotopia desejada  $L : I \times I \rightarrow X$  é então definida por

$$L(t, s) = \begin{cases} H(t, 2s), & \text{se } 0 \leq s \leq \frac{1}{2} \\ K(t, 2s - 1), & \text{se } \frac{1}{2} \leq s \leq 1. \end{cases}$$

Assim

$$\begin{aligned} L(\cdot, 0) &= H(\cdot, 0) = \alpha, & L(\cdot, 1) &= K(\cdot, 1) = \gamma. \\ L(0, s) &= \begin{cases} H(0, 2s) = x_0, & 0 \leq s \leq \frac{1}{2} \\ K(0, 2s - 1) = x_0, & \frac{1}{2} \leq s \leq 1. \end{cases} \\ L(1, s) &= \begin{cases} H(1, 2s) = x_0, & 0 \leq s \leq \frac{1}{2} \\ K(1, 2s - 1) = x_0, & \frac{1}{2} \leq s \leq 1. \end{cases} \end{aligned}$$

A continuidade de  $L$  segue do Lema da Colagem (A.1.1) com  $A = [0, \frac{1}{2}]$  e  $B = [\frac{1}{2}, 1]$ . Assim  $\alpha \sim_{x_0} \gamma$ , logo  $\sim_{x_0}$  é uma relação de equivalência. ■

**Definição A.1.3.** Se  $\alpha$  e  $\beta$  são caminhos em  $X$  com  $\alpha(1) = \beta(0)$ , então o caminho produto  $\alpha * \beta$  é definido por

$$(\alpha * \beta)(t) = \begin{cases} \alpha(2t), & \text{se } 0 \leq t \leq \frac{1}{2} \\ \beta(2t - 1), & \text{se } \frac{1}{2} \leq t \leq 1. \end{cases}$$

Observemos que a continuidade de  $\alpha * \beta$  é uma consequência imediata do Lema da Continuidade (A.1.1). Pensando na variável  $t$  como tempo, um cami-

inho  $\alpha$  em  $X$  (ou melhor o seu traço) pode ser pensado como o deslocamento de um ponto começando em  $\alpha(0)$  e traçando um caminho contínuo até  $\alpha(1)$ . Um produto  $\alpha * \beta$  é então visualizado como segue: o ponto que se movimenta começa em  $\alpha(0)$  e percorre o caminho  $\alpha$  com o dobro da velocidade normal e chega em  $\alpha(1)$  quando  $t = \frac{1}{2}$ . O ponto então percorre o caminho  $\beta$  com o dobro da velocidade normal e chega em  $\beta(1)$  no tempo  $t = 1$ . Note que a condição  $\alpha(1) = \beta(0)$  é necessária para que o produto de caminhos seja contínuo.

**Lema A.1.2.** *Suponha que  $\alpha, \alpha', \beta$  e  $\beta'$  são laços num espaço  $X$ , todos com ponto base  $x_0$  e satisfazendo as relações  $\alpha \sim_{x_0} \alpha'$  e  $\beta \sim_{x_0} \beta'$ . Então o produto  $\alpha * \beta$  e  $\alpha' * \beta'$  são homotópicos, módulo  $x_0$ .*

**Demonstração:** Temos que  $\alpha, \alpha', \beta, \beta' : I \rightarrow X$  com  $\alpha \sim_{x_0} \alpha'$  e  $\beta \sim_{x_0} \beta'$ . Então existem homotopias  $H$  e  $K$  tais que

$$\begin{aligned} H : I \times I &\rightarrow X; & K : I \times I &\rightarrow X; \\ H(\cdot, 0) = \alpha, & H(\cdot, 1) = \alpha', & K(\cdot, 0) = \beta, & K(\cdot, 1) = \beta', \\ H(0, s) = H(1, s) &= x_0, & K(0, s) = K(1, s) &= x_0. \end{aligned}$$

Agora queremos uma homotopia entre  $\alpha * \beta$  e  $\alpha' * \beta'$ . Tome  $L : I \times I \rightarrow X$  definida por

$$L(t, s) = \begin{cases} H(2t, s), & 0 \leq t \leq \frac{1}{2} \\ K(2t - 1, s), & \frac{1}{2} \leq t \leq 1. \end{cases}$$

Temos então que

$$L(t, 0) = \begin{cases} H(2t, 0), & 0 \leq t \leq \frac{1}{2} \\ K(2t - 1, 0), & \frac{1}{2} \leq t \leq 1 \end{cases} = \begin{cases} \alpha(2t), & 0 \leq t \leq \frac{1}{2} \\ \beta(2t - 1), & \frac{1}{2} \leq t \leq 1 \end{cases} = (\alpha * \beta)(t),$$

e

$$L(t, 1) = \begin{cases} H(2t, 1), & 0 \leq t \leq \frac{1}{2} \\ K(2t - 1, 1), & \frac{1}{2} \leq t \leq 1 \end{cases} = \begin{cases} \alpha'(2t), & 0 \leq t \leq \frac{1}{2} \\ \beta'(2t - 1), & \frac{1}{2} \leq t \leq 1 \end{cases} = (\alpha' * \beta')(t).$$

■

**Definição A.1.4.** *Considere a família de laços em  $X$  com ponto base  $x_0$ . Homotopia módulo  $x_0$  é uma relação de equivalência nesta família e além disso a particiona em classes de equivalências disjuntas. Denote por  $[\alpha]$  a classe de equivalência determinada pelo laço  $\alpha$ . A classe  $[\alpha]$  é chamada a classe de homotopia de  $\alpha$ . O conjunto de tais classes é denotado por  $\pi_1(X, x_0)$ . Se  $[\alpha]$*

e  $[\beta]$  pertencem à  $\pi_1(X, x_0)$  então o produto  $[\alpha] \circ [\beta]$  é definido como segue:

$$[\alpha] \circ [\beta] = [\alpha * \beta],$$

onde  $\alpha * \beta$  indica o produto de caminhos. O lema anterior assegura que o produto  $\circ$  está bem definido em  $\pi_1(X, x_0)$ , e o teorema seguinte mostra que  $\pi_1(X, x_0)$  é um grupo com a operação  $\circ$ . Tal grupo é chamado o grupo fundamental de  $X$  em  $x_0$ , ou o primeiro grupo de homotopia de  $X$  em  $x_0$ , ou ainda o grupo de Poincaré de  $X$  em  $x_0$ .

**Teorema A.1.2.** *O conjunto  $\pi_1(X, x_0)$  é um grupo com a operação  $\circ$ .*

**Demonstração:** Para mostrar que  $\pi_1(X, x_0)$  é um grupo temos que mostrar que: existe um laço  $c$  para o qual a sua classe  $[c]$  é o elemento neutro para a operação  $\circ$ , que todo elemento  $[\alpha]$  tem um simétrico, a saber  $[\tilde{\alpha}] = [\alpha]^{-1}$ , e que a multiplicação  $\circ$  é associativa. Vamos provar cada uma dessas propriedades separadamente, através dos três lemas seguintes (lemas **(A)**, **(B)** e **(C)**).

**Lema A.1.3. (A)**  *$\pi_1(X, x_0)$  tem um elemento neutro  $[c]$  onde  $c$  é o laço constante cujo único valor é  $x_0$ .*

**Demonstração:** O laço constante  $c$  é definido por  $c(t) = x_0$ ,  $t \in I$ . Se  $\alpha$  é um laço em  $X$  baseado em  $x_0$ , então

$$(c * \alpha)(t) = \begin{cases} x_0, & 0 \leq t \leq \frac{1}{2} \\ \alpha(2t - 1), & \frac{1}{2} \leq t \leq 1. \end{cases}$$

Mostrar que  $[c * \alpha] = [\alpha]$ , requer uma homotopia  $H : I \times I \rightarrow X$  tal que

$$\begin{aligned} H(\cdot, 0) &= c * \alpha, & H(\cdot, 1) &= \alpha, \\ H(0, s) &= H(1, s) = x_0, & s &\in I. \end{aligned}$$

Definindo

$$H(t, s) = \begin{cases} x_0, & 0 \leq t \leq \frac{1-s}{2} \\ \alpha\left(\frac{2t+s-1}{s+1}\right), & \frac{1-s}{2} \leq t \leq 1, \end{cases}$$

Podemos ver que  $H$  satisfaz as condições da homotopia desejada pois

$$H(t, 0) = \begin{cases} x_0, & 0 \leq t \leq \frac{1}{2} \\ \alpha(2t - 1), & \frac{1}{2} \leq t \leq 1. \end{cases} = (c * \alpha)(t),$$

$$H(t, 1) = \begin{cases} x_0, & t = 0 \\ \alpha(t), & 0 \leq t \leq 1, \end{cases} = \alpha(t),$$

$$e \quad H(0, s) = x_0, \quad H(1, s) = \alpha(1) = x_0.$$

Ainda,  $H$  é contínua pelo Lema da Continuidade (A.1.1) visto que  $\frac{2t + s - 1}{s + 1}$  é uma aplicação contínua de  $(t, s)$  e as duas partes da definição de  $H$  coincidem quando  $t = \frac{1-s}{2}$ . Provamos então que se  $[\alpha] \in \pi_1(X, x_0)$ , então  $[c] \circ [\alpha] = [c * \alpha] = [\alpha]$ . Logo  $[c]$  é um elemento neutro à esquerda de  $\pi_1(X, x_0)$ . Observemos que para obter a homotopia  $H$ , determinamos a equação da reta que passa pelos pontos  $(\frac{1}{2}, 0)$  e  $(0, 1)$ , obtendo  $s = 1 - 2t$  ou  $t = \frac{1-s}{2}$  e assim para  $s$  fixado, o ponto  $(\frac{1-s}{2}, s)$ .

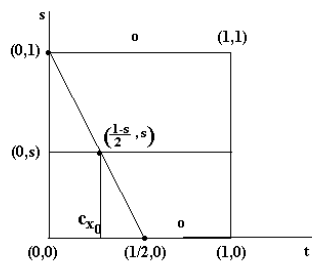
Consideramos então a aplicação

$$\begin{aligned} [0, \frac{1-s}{2}] &\longrightarrow X \\ t &\longmapsto x_0 \end{aligned}$$

e a composta

$$\begin{aligned} [\frac{1-s}{2}, 1] &\longrightarrow [0, 1] &\longrightarrow X \\ t &\longmapsto \frac{2t + s - 1}{s + 1} &\longmapsto \alpha\left(\frac{2t + s - 1}{s + 1}\right), \end{aligned}$$

de acordo com o diagrama mostrado na figura seguinte:



Para ver que  $[c]$  é também um elemento neutro à direita, isto é, que  $[\alpha * c] = [\alpha]$  considere a homotopia definida por

$$H'(t, s) = \begin{cases} \alpha\left(\frac{2t}{s+1}\right), & 0 \leq t \leq \frac{s+1}{2} \\ x_0, & \frac{s+1}{2} \leq t \leq 1. \end{cases}$$

Para obter  $H'$ , consideramos as aplicações

$$\begin{aligned} [0, \frac{s+1}{2}] &\longrightarrow [0, 1] &\longrightarrow X \\ t &\longmapsto \frac{2t}{s+1} &\longmapsto \alpha\left(\frac{2t}{s+1}\right) \end{aligned}$$

e

$$\begin{aligned} \left[\frac{s+1}{2}, 1\right] &\rightarrow X \\ t &\mapsto x_0. \end{aligned}$$

Das afirmações anteriores concluímos que  $[c]$  é o elemento neutro para a operação  $\circ$  em  $\pi_1(X, x_0)$ . ■

**Lema A.1.4. (B)** *Para cada classe de homotopia  $[\alpha]$  em  $\pi_1(X, x_0)$ , o inverso de  $[\alpha]$  com respeito à operação  $\circ$  e o elemento neutro  $[c]$  é a classe  $[\alpha^{-1}]$  onde  $\alpha^{-1}$  indica o caminho inverso (ou reverso) de  $\alpha$ ,  $\alpha^{-1}(t) := \alpha(1 - t)$ ,  $t \in I$ .*

**Demonstração:** O caminho  $\alpha^{-1}(t) = \alpha(1 - t)$  (comumente chamado o inverso ou o reverso do caminho  $\alpha$ ) inicia em  $\alpha(1) = x_0$  e percorre a mesma “rota” de  $\alpha$ , porém no sentido contrário. Temos que provar que  $[\alpha] \circ [\alpha^{-1}] = [c] = [\alpha^{-1}] \circ [\alpha]$ , ou seja,  $\alpha * \alpha^{-1} \sim c \sim \alpha^{-1} * \alpha$ . Vejamos primeiro que  $c \sim \alpha * \alpha^{-1}$ . Note que

$$(\alpha * \alpha^{-1})(t) = \begin{cases} \alpha(2t), & 0 \leq t \leq \frac{1}{2} \\ \alpha(2 - 2t), & \frac{1}{2} \leq t \leq 1. \end{cases}$$

Grosseiramente falando, a homotopia  $H$  a ser definida será tal que, fixado  $s \in [0, 1]$ :

- para  $t \in [0, \frac{s}{2}]$ , o caminho  $H_s(t) := H(t, s)$  parte de  $\alpha(0) = x_0$  e vai, via  $\alpha$ , até  $\alpha(s)$ ,
- para  $t \in [\frac{s}{2}, 1 - \frac{s}{2}]$ , o caminho fica “estacionado” em  $\alpha(s)$  e,
- para  $t \in [1 - \frac{s}{2}, 1]$  o caminho  $H_s(t)$  “parte de  $\alpha(s) = \alpha^{-1}(1 - s)$  e vai, via  $\alpha^{-1}$ , até  $\alpha^{-1}(1) = x_0$ ”.

Assim, para  $s \in [0, 1]$  temos que considerar as aplicações:

$$\begin{aligned} \left[0, \frac{s}{2}\right] &\longrightarrow [0, s] &\longrightarrow X \\ t &\mapsto 2t &\mapsto \alpha(2t) \end{aligned}$$

$$\begin{aligned} \left[\frac{s}{2}, 1 - \frac{s}{2}\right] &\longrightarrow \{s\} &\longrightarrow X \\ t &\mapsto s &\mapsto \alpha(s) \end{aligned}$$

$$\begin{aligned} \left[1 - \frac{s}{2}, 1\right] &\longrightarrow [1 - s, 1] &\longrightarrow X \\ t &\mapsto 2t - 1 &\mapsto \alpha^{-1}(2t - 1) \end{aligned}$$



A homotopia é então definida por

$$H(t, s) = \begin{cases} \alpha(2t), & 0 \leq t \leq \frac{s}{2} \\ \alpha(s), & \frac{s}{2} \leq t \leq 1 - \frac{s}{2} \\ \alpha^{-1}(2t - 1), & 1 - \frac{s}{2} \leq t \leq 1, \end{cases}$$

Pelo Lema da Continuidade(A.1.1)  $H$  é contínua, e temos

$$H(t, 0) = \begin{cases} \alpha(2t), & 0 \leq t \leq 0 \\ \alpha(0) = x_0, & 0 \leq t \leq 1 \\ \alpha^{-1}(2t - 1), & 1 \leq t \leq 1 \end{cases} = \begin{cases} \alpha(0) = x_0, \\ \alpha(0) = x_0, \\ \alpha^{-1}(1) = x_0, \end{cases} = c(t), \quad \forall t,$$

$$H(t, 1) = \begin{cases} \alpha(2t), & 0 \leq t \leq \frac{1}{2} \\ \alpha(1), & t = \frac{1}{2} \\ \alpha^{-1}(2t - 1), & \frac{1}{2} \leq t \leq 1. \end{cases} = (\alpha * \alpha^{-1})(t),$$

$$\text{e } H(0, s) = \alpha(0) = x_0, \quad H(1, s) = \alpha^{-1}(1) = x_0.$$

Logo  $c \sim \alpha * \alpha^{-1}$ , ou seja,  $[c] = [\alpha * \alpha^{-1}] = [\alpha] \circ [\alpha^{-1}]$ .

Analogamente, tomando o homotopia  $H' : I \times I \rightarrow X$  definida por

$$H'(t, s) = \begin{cases} \alpha^{-1}(2t), & 0 \leq t \leq \frac{s}{2} \\ \alpha^{-1}(s), & \frac{s}{2} \leq t \leq 1 - \frac{s}{2} \\ \alpha(2t - 1), & 1 - \frac{s}{2} \leq t \leq 1, \end{cases}$$

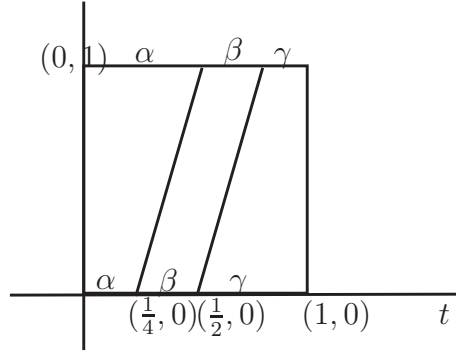
temos que  $c \sim \alpha^{-1} * \alpha$ , isto é  $[c] = [\alpha^{-1} * \alpha] = [\alpha^{-1}] \circ [\alpha]$ . Portanto a classe  $[\alpha^{-1}]$  é o elemento simétrico de  $[\alpha]$  em  $\pi_1(X, x_0)$ . ■

**Lema A.1.5. (C)** *A operação  $\circ$  é associativa.*

**Demonstração:** Sejam  $[\alpha]$ ,  $[\beta]$  e  $[\gamma]$  membros de  $\pi_1(X, x_0)$ . Queremos provar que  $([\alpha] \circ [\beta]) \circ [\gamma] = [\alpha] \circ ([\beta] \circ [\gamma])$ , ou equivalentemente,  $[(\alpha * \beta) * \gamma] = [\alpha * (\beta * \gamma)]$ .

Sabemos que

$$((\alpha * \beta) * \gamma)(t) = \begin{cases} (\alpha * \beta)(2t), & 0 \leq t \leq \frac{1}{2} \\ \gamma(2t - 1), & \frac{1}{2} \leq t \leq 1 \end{cases} = \begin{cases} \alpha(4t), & 0 \leq t \leq \frac{1}{4} \\ \beta(4t - 1), & \frac{1}{4} \leq t \leq \frac{1}{2} \\ \gamma(2t - 1), & \frac{1}{2} \leq t \leq 1, \end{cases}$$



$$(\alpha * (\beta * \gamma))(t) = \begin{cases} \alpha(2t), & 0 \leq t \leq \frac{1}{2} \\ (\beta * \gamma)(2t - 1), & \frac{1}{2} \leq t \leq 1 \end{cases} = \begin{cases} \alpha(2t), & 0 \leq t \leq \frac{1}{2} \\ \beta(4t - 2), & \frac{1}{2} \leq t \leq \frac{3}{4} \\ \gamma(4t - 3), & \frac{3}{4} \leq t \leq 1. \end{cases}$$

Para um  $s$  fixo, consideremos as aplicações

$$\begin{aligned} [0, \frac{s+1}{4}] &\longrightarrow [0, 1] \longrightarrow X \\ t &\mapsto \frac{4t}{s+1} \mapsto \alpha\left(\frac{4t}{s+1}\right) \end{aligned}$$

$$\begin{aligned} [\frac{s+1}{4}, \frac{s+2}{4}] &\longrightarrow [0, 1] \longrightarrow X \\ t &\mapsto 4t - (s+1) \mapsto \beta(4t - (s+1)) \end{aligned}$$

$$\begin{aligned} [\frac{s+2}{4}, 1] &\longrightarrow [0, 1] \longrightarrow X \\ t &\mapsto \frac{4t - (s+2)}{2-s} \mapsto \gamma\left(\frac{4t - (s+2)}{2-s}\right) \end{aligned}$$

Defina então  $H : I \times I \longrightarrow X$  por

$$H(t, s) = \begin{cases} \alpha\left(\frac{4t}{s+1}\right), & 0 \leq t \leq \frac{s+1}{4} \\ \beta(4t - (s+1)), & \frac{s+1}{4} \leq t \leq \frac{s+2}{4} \\ \gamma\left(\frac{4t - (s+2)}{2-s}\right), & \frac{s+2}{4} \leq t \leq 1. \end{cases}$$

Temos que  $H$  é contínua e satisfaz

$$H(t, 0) = \begin{cases} \alpha(4t), & 0 \leq t \leq \frac{1}{4} \\ \beta(4t + 1), & \frac{1}{4} \leq t \leq \frac{1}{2} \\ \gamma(2t - 1), & \frac{1}{2} \leq t \leq 1. \end{cases} = ((\alpha * \beta) * \gamma)(t),$$

$$H(t, 1) = \begin{cases} \alpha(2t), & 0 \leq t \leq \frac{1}{2} \\ \beta(4t - 2), & \frac{1}{2} \leq t \leq \frac{3}{4} \\ \gamma\left(\frac{4t - 3}{3}\right), & \frac{3}{4} \leq t \leq 1. \end{cases} = (\alpha * (\beta * \gamma))(t),$$

$$\text{e } H(0, s) = \alpha(0) = x_0, H(1, s) = \gamma(1) = x_0.$$

Logo  $((\alpha * \beta) * \gamma) \sim (\alpha * (\beta * \gamma))$ . Isto completa a prova que  $\circ$  é associativa e prova finalmente que  $(\pi_1(X, x_0), \circ)$  é um grupo, como afirmado. ■

**Definição A.1.5.** *Um espaço  $X$  é conexo por caminhos se cada par de pontos de  $X$  pode ser ligado por um caminho. Em outras palavras, se  $x_0$  e  $x_1$  são pontos em  $X$  então existe um caminho em  $X$  com ponto inicial  $x_0$  e ponto final  $x_1$ .*

O resultado seguinte nos mostra que o grupo fundamental de um espaço conexo por caminhos independe do ponto base.

**Teorema A.1.3.** *Se um espaço  $X$  é conexo por caminhos e  $x_0$  e  $x_1$  são pontos de  $X$ , então os grupos  $\pi_1(X, x_0)$  e  $\pi_1(X, x_1)$  são isomorfos.*

**Demonstração:** Seja  $\rho : I \rightarrow X$  um caminho tal que  $\rho(0) = x_0$  e  $\rho(1) = x_1$ . Se  $\alpha$  é um laço baseado em  $x_0$ , então  $(\rho^{-1} * \alpha) * \rho$  é um laço baseado em  $x_1$  onde  $\rho^{-1}$  denota o caminho reverso de  $\rho$ :

$$\rho^{-1}(t) = \rho(1 - t), \quad 0 \leq t \leq 1.$$

Definimos uma aplicação  $P : \pi_1(X, x_0) \rightarrow \pi_1(X, x_1)$  por  $P([\alpha]) = [(\rho^{-1} * \alpha) * \rho]$ ,  $[\alpha] \in \pi_1(X, x_0)$ . Pode-se verificar que a imagem de uma classe  $[\alpha]$  em  $\pi_1(X, x_0)$  é independente da escolha do caminho  $\alpha$  que representa a classe, e então  $P$  está bem definida. Para mostrarmos que  $P$  é um isomorfismo algumas observações são necessárias. Primeiro: O Lema (B) mostra que  $[\rho * \rho^{-1}]$  e  $[\rho^{-1} * \rho]$  são os elementos neutros de  $\pi_1(X, x_0)$  e  $\pi_1(X, x_1)$ , respectivamente. Segundo: O Lema (C) pode ser facilmente modificado para mostrar que quaisquer caminhos (não necessariamente fechados)  $\alpha, \beta, \gamma$ , para os quais  $(\alpha * \beta) * \gamma$  e  $\alpha * (\beta * \gamma)$  estão definidos, os produtos triplos indicados são equivalentes. Assim em  $[(\rho^{-1} * \alpha) * \rho]$ , podemos ignorar o parêntese interior e simplesmente escrever  $[\rho^{-1} * \alpha * \rho]$ , já que a classe de equivalência é a mesma independente do modo em que os termos do produto são associados. Agora considere  $[\alpha]$  e  $[\beta]$  em  $\pi_1(X, x_0)$ , então

$$\begin{aligned} P([\alpha] \circ [\beta]) &= P([\alpha * \beta]) = [\rho^{-1} * \alpha * \beta * \rho] = [\rho^{-1} * \alpha * \rho * \rho^{-1} * \beta * \rho] \\ &= [\rho^{-1} * \alpha * \rho] \circ [\rho^{-1} * \beta * \rho] = P([\alpha]) \circ P([\beta]). \end{aligned}$$

Logo  $P$  é homomorfismo. Agora, a aplicação  $Q : \pi_1(X, x_1) \longrightarrow \pi_1(X, x_0)$  definida por  $Q([\sigma]) = [\rho * \sigma * \rho^{-1}]$ ,  $[\sigma] \in \pi_1(X, x_1)$  é a inversa de  $P$ . De fato, para  $[\alpha] \in \pi_1(X, x_0)$ ,  $Q(P([\alpha])) = Q([\rho^{-1} * \alpha * \rho]) = [\rho * \rho^{-1} * \alpha * \rho * \rho^{-1}] = [\rho * \rho^{-1}] \circ [\alpha] \circ [\rho * \rho^{-1}] = [\alpha]$ . Então a composta  $Q \circ P$  é a aplicação identidade sobre  $\pi_1(X, x_0)$ , e por simetria, observamos que a composta  $P \circ Q$  é a identidade sobre  $\pi_1(X, x_1)$ . Logo os grupos fundamentais indicados são isomorfos. ■

Por causa do teorema anterior, a menção à um ponto base para o grupo fundamental de um espaço conexo por caminhos é, às vezes, omitida. Vamos em geral nos referir ao “grupo fundamental de  $X$ ” e escrever  $\pi_1(X)$  quando  $X$  for conexo por caminhos, já que o mesmo grupo abstrato será obtido independente da escolha do ponto base. O teorema não garante, no entanto, que o isomorfismo entre  $\pi_1(X, x_0)$  e  $\pi_1(X, x_1)$  é único; caminhos diferentes podem conduzir à isomorfismos diferentes. Há situações em que é importante especificar o ponto base. Quando comparamos, por exemplo, grupos fundamentais de dois espaços  $X$  e  $Y$  através uma aplicação contínua  $f : X \longrightarrow Y$ , é necessário especificar o ponto base de cada espaço.

## A.2 O Grupo Fundamental de $S^1$

Esta seção é dedicada a determinar o grupo fundamental do círculo unitário. Será conveniente considerar o círculo unitário  $S^1$  como um subconjunto do plano complexo. Vamos considerar  $\mathbb{R}^2$  como o conjunto de todos os complexos  $x = x_1 + ix_2$ , onde  $i = \sqrt{-1}$ . Assim  $S^1 = \{x + yi; x^2 + y^2 = 1\}$ . Considere a aplicação  $p : \mathbb{R} \longrightarrow S^1$  definida por

$$p(t) = \exp(2\pi it), \quad t \in \mathbb{R}.$$

Aqui  $\exp$  denota a aplicação exponencial no plano complexo. Em particular, se  $t \in \mathbb{R}$ , então

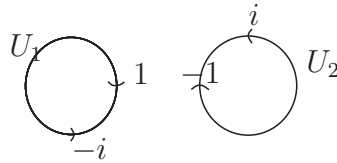
$$\exp(2\pi it) = \cos(2\pi t) + i(\sin(2\pi t)).$$

Note que  $p$  leva cada inteiro  $n \in \mathbb{R}$  em  $1 \in S^1$  e envolve cada intervalo  $[n, n + 1)$  exatamente uma vez em torno de  $S^1$  no sentido anti-horário.

**Definição A.2.1.** Se  $\sigma : I \longrightarrow S^1$  é um caminho, então um caminho  $\tilde{\sigma} : I \longrightarrow \mathbb{R}$  tal que  $p \circ \tilde{\sigma} = \sigma$  é chamado um levantamento do caminho  $\sigma$  para a reta real  $\mathbb{R}$ . Se  $F : I \times I \longrightarrow \mathbb{R}$  é uma homotopia, então uma homotopia  $\tilde{F} : I \times I \longrightarrow \mathbb{R}$  tal que  $p \circ \tilde{F} = F$ , é chamada um levantamento de  $F$ .

**Teorema A.2.1.** (*Propriedade do Levantamento de Caminhos*) Se  $\sigma : I \rightarrow S^1$  é um caminho em  $S^1$  com ponto inicial 1, então existe um único levantamento  $\tilde{\sigma} : I \rightarrow \mathbb{R}$  tal que o ponto inicial é 0.

**Demonstração:** Seja  $U_1$  o arco aberto em  $S^1$  começando em 1 e caminhando no sentido anti-horário até  $-i$ , e seja  $U_2$  o arco aberto de  $-1$  até  $i$ , no sentido anti-horário, como mostra a figura.



Então  $U_1$  e  $U_2$  são conjuntos abertos em  $S^1$ ,  $U_1 \cup U_2 = S^1$  e

$$p^{-1}(U_1) = \bigcup_{n=-\infty}^{\infty} (n, n + \frac{3}{4}), \quad p^{-1}(U_2) = \bigcup_{n=-\infty}^{\infty} (n - \frac{1}{2}, n + \frac{1}{4}).$$

Note que  $p$  leva cada intervalo  $(n, n + \frac{3}{4})$  homeomorficamente sobre  $U_1$  e cada intervalo  $(n - \frac{1}{2}, n + \frac{1}{4})$  homeomorficamente sobre  $U_2$ .

Daremos uma idéia intuitiva da prova. Subdivida o domínio do caminho  $\sigma$  em seções tais que cada seção está contida em  $U_1$  ou  $U_2$ . Se uma seção particular está contida em  $U_1$ , escolhamos um dos intervalos  $V = (n, n + \frac{3}{4})$  e consideramos a restrição  $p|_V$ . A composição de  $(p|_V)^{-1}$  com esta seção do caminho “levanta” a seção para uma seção de um caminho em  $\mathbb{R}$ . O mesmo método se aplica para seções que estão em  $U_2$ . Para garantir a continuidade nós precisamos ter cuidado para que o ponto inicial de uma dada seção levantada seja o ponto final da seção levantada anteriormente.

Este método é aplicado indutivamente como segue. Seja  $\varepsilon$  o número de Lebesgue para uma cobertura aberta  $\{\sigma^{-1}(U_1), \sigma^{-1}(U_2)\}$  de  $I$ . Escolha uma seqüência  $0 = t_0 < t_1 < \dots < t_n = 1$  de números em  $I$  tal que cada par sucessivo difere de pelo menos  $\varepsilon$ . Então a imagem  $\sigma([t_i, t_{i+1}])$  de um subintervalo  $[t_i, t_{i+1}]$ ,  $0 \leq i \leq n - 1$ , deve estar contido em  $U_1$  ou  $U_2$ .

Agora,  $\sigma([t_0, t_1])$  deve estar contido em  $U_2$  pois  $\sigma(t_0) = \sigma(0) = 1 \notin U_1$ . Seja  $V_1 = (-\frac{1}{2}, \frac{1}{4})$  e defina  $\tilde{\sigma}$  em  $[t_0, t_1]$  por

$$\tilde{\sigma}(t) = (p|_{V_1})^{-1}\sigma(t).$$

Procedendo indutivamente, suponha que  $\sigma$  foi definido sobre o intervalo  $[t_0, t_k]$ . Então  $\sigma([t_k, t_{k+1}]) \subset U$  onde  $U$  está em  $U_1$  ou  $U_2$ . Seja  $V_{k+1}$  a componente de  $p^{-1}(U)$  onde  $\tilde{\sigma}(t_k)$  pertence. Note que  $V_{k+1}$  é um dos intervalos  $(n, n + \frac{3}{4})$  ou  $(n - \frac{1}{2}, n + \frac{1}{4})$ . Então  $p|_{V_{k+1}}$  é um homeomorfismo, e a extensão de  $\tilde{\sigma}$  para  $[t_k, t_{k+1}]$  é obtida definindo

$$\tilde{\sigma}(t) = (p|_{V_{k+1}})^{-1}(\sigma(t)), \quad t \in [t_k, t_{k+1}].$$

A continuidade de  $\tilde{\sigma}$  é garantida pelo Lema da Continuidade pois as seções levantadas concordam nos pontos finais  $t_k$ . Esse passo indutivo estende a definição de  $\tilde{\sigma}$  para  $[t_0, t_n] = I$ .

Para provar que  $\tilde{\sigma}$  é um levantamento único suponha que  $\sigma'$  também satisfaz  $p \circ \sigma' = \sigma$ , e  $\sigma'(0) = 0$ . Então o caminho  $\tilde{\sigma} - \sigma'$  tem ponto inicial 0 e

$$p(\tilde{\sigma}(t) - \sigma'(t)) = p(\tilde{\sigma}(t))/p(\sigma'(t)) = \sigma(t)/\sigma(t) = 1, \quad t \in I,$$

então  $\tilde{\sigma} - \sigma'$  é um levantamento do caminho constante cujo único valor é 1. Como  $p$  aplica somente inteiros para 1, então  $\tilde{\sigma} - \sigma'$  tem somente valores inteiros. Assim, como  $I$  é conexo,  $\tilde{\sigma} - \sigma'$  pode ter somente um valor inteiro. Este único valor deve ser um valor inicial, 0. Além disso,  $\tilde{\sigma} - \sigma' = 0$ , assim  $\tilde{\sigma} = \sigma'$ . O requerido levantamento  $\tilde{\sigma}$  é então único. ■

**Corolário A.2.1.** (*Propriedade do Levantamento de Caminho Generalizada*)  
Se  $\sigma$  é um caminho em  $S^1$  e  $r$  é um número real tal que  $p(r) = \sigma(0)$ , então existe um único levantamento  $\tilde{\sigma}$  de  $\sigma$  com ponto inicial  $r$ .

**Demonstração:** O caminho  $\sigma/\sigma(0)$  é um caminho em  $S^1$  com ponto inicial  $\sigma(0)/\sigma(0) = 1$  e além disso tem um único levantamento  $\eta$  com ponto inicial 0. O caminho  $\tilde{\sigma} : I \rightarrow \mathbb{R}$  definido por  $\tilde{\sigma}(t) = r + \eta(t)$ ,  $t \in I$ , é o requerido levantamento de  $\sigma$  com ponto inicial  $r$ . A unicidade de  $\tilde{\sigma}$  segue da unicidade de  $\eta$ . ■

**Proposição A.2.1.** (*Propriedade do Levantamento de Homotopia*)

Se  $F : I \times I \rightarrow S^1$  é uma homotopia tal que  $F(0,0) = 1$ , então existe um único levantamento de homotopia  $\tilde{F} : I \times I \rightarrow \mathbb{R}$  tal que  $\tilde{F}(0,0) = 0$ .

**Demonstração:** A prova é similar à do teorema anterior. ■

**Definição A.2.2.** Seja  $\alpha$  um laço em  $S^1$  com ponto inicial 1. A propriedade do levantamento de caminho garante que existe exatamente um levantamento

$\tilde{\alpha}$  de  $\alpha$  com ponto inicial 0. Como,

$$1 = \alpha(1) = p(\tilde{\alpha}(1)) = \exp(2\pi i \tilde{\alpha}(1)),$$

então  $\tilde{\alpha}(1)$  é um inteiro. Este inteiro é chamado o grau do laço  $\alpha$ .

**Proposição A.2.2.** *Dois laços  $\alpha$  e  $\beta$  em  $S^1$  com pontos bases 1, são equivalentes se, e somente se, eles têm o mesmo grau.*

**Demonstração:** Sejam  $\tilde{\alpha}$  e  $\tilde{\beta}$  os levantamentos de  $\alpha$  e  $\beta$ , respectivamente, tendo ponto inicial 0 em  $\mathbb{R}$ . Suponha primeiro que  $\alpha$  e  $\beta$  têm o mesmo grau então  $\tilde{\alpha}(1) = \tilde{\beta}(1)$ . Defina uma homotopia  $H : I \times I \rightarrow \mathbb{R}$  por

$$H(t, s) = (1 - s)\tilde{\alpha}(t) + s\tilde{\beta}(t), \quad (t, s) \in I \times I.$$

Então  $H$  demonstra a equivalência de  $\tilde{\alpha}$  e  $\tilde{\beta}$  como caminhos em  $\mathbb{R}$ . Note, em particular, que  $H(1, s)$  é o grau comum de  $\alpha$  e  $\beta$  para cada  $s$  em  $I$ . A homotopia

$$p \circ H : I \times I \rightarrow S^1$$

mostra a equivalência de  $\alpha$  e  $\beta$  como laços em  $S^1$ .

Suponha agora que  $\alpha$  e  $\beta$  são laços equivalentes em  $S^1$  e que  $K : I \times I \rightarrow S^1$  é uma homotopia tal que

$$K(\cdot, 0) = \alpha, K(\cdot, 1) = \beta, K(0, s) = K(1, s) = 1, s \in I.$$

Pela propriedade do levantamento de homotopia existe  $\tilde{K} : I \times I \rightarrow \mathbb{R}$  tal que  $\tilde{K}(0, 0) = 0$  e  $p \circ \tilde{K} = K$ . Então  $(p \circ \tilde{K})(0, s) = K(0, s) = 1, s \in I$ . Segue que  $\tilde{K}(0, s)$  é um inteiro para cada valor de  $s$ . Como  $I$  é conexo,  $\tilde{K}(0, \cdot)$  tem somente o valor  $\tilde{K}(0, 0) = 0$ . Um argumento similar mostra que  $\tilde{K}(1, \cdot)$  é uma aplicação constante. Como  $(p \circ \tilde{K})(\cdot, 0) = K(\cdot, 0) = \alpha$  e  $(p \circ \tilde{K})(\cdot, 1) = K(\cdot, 1) = \beta$  então  $\tilde{K}(\cdot, 0) = \tilde{\alpha}$  e  $\tilde{K}(\cdot, 1) = \tilde{\beta}$  são os únicos levantamentos de  $\alpha$  e  $\beta$ , respectivamente, com ponto inicial 0. Assim

$$\text{grau}(\alpha) = \tilde{\alpha}(1) = \tilde{K}(1, 0) = \tilde{K}(1, 1) = \tilde{\beta}(1) = \text{grau}(\beta),$$

e portanto  $\alpha$  e  $\beta$  têm o mesmo grau. ■

**Teorema A.2.2.** *O grupo fundamental  $\pi_1(S^1)$  é isomorfo ao grupo aditivo  $\mathbb{Z}$  dos inteiros.*

**Demonstração:** Considere  $\pi_1(S^1, 1)$ , e defina a aplicação

$$\text{deg} : \pi_1(S^1, 1) \rightarrow \mathbb{Z}; [\alpha] \rightarrow \text{deg}([\alpha]) := \text{grau}(\alpha).$$

A proposição anterior garante que  $\text{deg}$  está bem definida e é injetora. Vejamos que  $\text{deg}$  leva  $\pi_1(S^1, 1)$  sobre  $\mathbb{Z}$ . Seja  $n$  um inteiro. O laço  $\gamma$  em  $S^1$  definido por  $\gamma(t) = \exp(2\pi int)$  é coberto pelo caminho  $t \mapsto nt, t \in I$ , e além disso tem grau  $n$ . Então  $\text{deg}([\gamma]) = n$ . Suponha que  $[\alpha]$  e  $[\beta]$  estão em  $\pi_1(S^1, 1)$ .

Mostremos agora que  $\deg([\alpha] \circ [\beta]) = \deg([\alpha]) + \deg([\beta])$ . Se  $\tilde{\alpha}$  e  $\tilde{\beta}$  são os únicos levantamentos de  $[\alpha]$  e  $[\beta]$  que começam em 0, então o caminho  $f : I \rightarrow \mathbb{R}$  definido por

$$f(t) = \begin{cases} \tilde{\alpha}(2t), & 0 \leq t \leq \frac{1}{2} \\ \tilde{\alpha}(1) + \tilde{\beta}(2t - 1), & \frac{1}{2} \leq t \leq 1 \end{cases}$$

é o levantamento de  $\alpha * \beta$  com ponto inicial 0. Assim  $\text{grau}(\alpha * \beta) = f(1) = \tilde{\alpha}(1) + \tilde{\beta}(1) = \text{grau}(\alpha) + \text{grau}(\beta)$ , e portanto,

$$\deg([\alpha] \circ [\beta]) = \text{grau}(\alpha * \beta) = \text{grau}(\alpha) + \text{grau}(\beta) = \deg([\alpha]) + \deg([\beta]). \quad \blacksquare$$

### A.3 Homomorfismo Induzido e Equivalência de Homotopia

Nesta seção estudaremos inicialmente o efeito, no grupo fundamental, de uma aplicação contínua entre dois espaços. Veremos também que o grupo fundamental é um invariante topológico. A seguir examinaremos uma relação de equivalência para espaços topológicos que foi introduzida por Hurewicz em 1936. Tal relação é mais fraca do que homeomorfismo, mas forte o suficiente para garantir que espaços equivalentes têm grupos fundamentais isomorfos.

**Definição A.3.1.** *Dados  $X$  e  $Y$  espaços,  $x_0 \in X$ ,  $y_0 \in Y$ , e  $f : X \rightarrow Y$  uma aplicação contínua tal que  $f(x_0) = y_0$ . Então  $f$  induz uma aplicação bem definida  $f_{\#} : \pi_1(X, x_0) \rightarrow \pi_1(Y, y_0)$  dada por  $f_{\#}([\alpha]) = [f \circ \alpha]$ , que é um homomorfismo. Tal homomorfismo é chamado homomorfismo induzido pela aplicação  $f$  em  $\pi_1$ .*

Para verificar que  $f_{\#}$  está bem definida, temos que mostrar que  $\alpha \sim \beta$  implica  $f \circ \alpha \sim f \circ \beta$ . Mas de  $\alpha \sim \beta$ , segue que existe uma homotopia  $H : I \times I \rightarrow X$  entre  $\alpha$  e  $\beta$ , relativamente a  $x_0$ . Definimos então a aplicação  $K : I \times I \rightarrow Y$  por  $K = f \circ H$ . Claramente  $K$  é uma homotopia entre  $f \circ \alpha$  e  $f \circ \beta$  relativamente a  $f(x_0)$ . Logo  $f_{\#}$  está bem definida. Além disso  $f_{\#}$  é um homomorfismo de grupos. De fato, temos que

$$(f \circ (\alpha * \beta))(t) = \begin{cases} (f \circ \alpha)(2t), & \text{se } 0 \leq t \leq \frac{1}{2} \\ (f \circ \beta)(2t - 1), & \text{se } \frac{1}{2} \leq t \leq 1 \end{cases} = (f \circ \alpha) * (f \circ \beta)(t).$$

e se  $[\alpha], [\beta] \in \pi_1(X, x_0)$  então  $f_{\#}([\alpha] \circ [\beta]) = f_{\#}([\alpha * \beta]) = [f \circ (\alpha * \beta)] =$



$[(f \circ \alpha) * (f \circ \beta)] = [f \circ \alpha] \circ [f \circ \beta] = f_{\#}([\alpha]) \circ f_{\#}([\beta])$ , o que prova que  $f_{\#}$  é realmente um homomorfismo.

**Proposição A.3.1. a)** *Se  $f : (X, x_0) \longrightarrow (X, x_0)$  é a aplicação identidade, isto é,  $f = id_X$ , então  $f_{\#} = id_{\pi_1(X, x_0)}$ .*

**b)** *Se  $f : (X, x_0) \longrightarrow (Y, y_0)$  e  $g : (Y, y_0) \longrightarrow (Z, z_0)$  são aplicações contínuas sobre os pares indicados, então o homomorfismo induzido  $(g \circ f)_{\#}$  é o homomorfismo composto  $g_{\#} \circ f_{\#} : \pi_1(X, x_0) \longrightarrow \pi_1(Z, z_0)$ .*

**c)** *(Invariância Topológica) Se  $h : (X, x_0) \longrightarrow (Y, y_0)$  é um homeomorfismo então o homomorfismo induzido por  $h$ ,  $h_{\#} : \pi_1(X, x_0) \longrightarrow \pi_1(Y, y_0)$  é um isomorfismo.*

### Demonstração:

**a)** Se  $[\alpha] \in \pi_1(X, x_0)$ , então  $(id_X)_{\#}([\alpha]) = [id_X \circ \alpha] = [\alpha] = id_{\pi_1(X, x_0)}([\alpha])$

**b)** Seja  $[\alpha] \in \pi_1(X, x_0)$ , então  $(g \circ f)_{\#}([\alpha]) = [(g \circ f)(\alpha)] = [g \circ (f \circ \alpha)] = g_{\#}([f \circ \alpha]) = g_{\#}(f_{\#}([\alpha])) = (g_{\#} \circ f_{\#})([\alpha])$ . Assim,  $(g \circ f)_{\#} = g_{\#} \circ f_{\#}$ .

**c)** Suponha que  $h : (X, x_0) \longrightarrow (Y, y_0)$  seja um homeomorfismo e considere  $h^{-1} : (Y, y_0) \longrightarrow (X, x_0)$  a inversa de  $h$ . Então para  $[\alpha]$  em  $\pi_1(X, x_0)$  temos,

$$((h^{-1})_{\#} \circ h_{\#})([\alpha]) = ((h^{-1}) \circ h)_{\#}([\alpha]) = (id_X)_{\#}([\alpha]) = id_{\pi_1(X, x_0)}([\alpha]) = [\alpha].$$

$$\text{Similarmente, para } [\alpha] \in \pi_1(Y, y_0) \text{ temos } (h_{\#} \circ (h^{-1})_{\#})([\alpha]) = id_{\pi_1(Y, y_0)}([\alpha]).$$

$$\text{Logo, } (h_{\#})^{-1} = (h^{-1})_{\#}.$$

Antes de definirmos espaços *homotopicamente equivalentes* ou espaços com mesmo tipo de homotopia, apresentamos o conceito seguinte que é uma extensão natural do conceito de homotopia de caminhos.

**Definição A.3.2.** *Sejam  $X$  e  $Y$  espaços topológicos e  $f$  e  $g$  aplicações contínuas de  $X$  em  $Y$ , dizemos que  $f$  é homotópica a  $g$  relativamente a um subconjunto  $A \subset X$  se existe uma aplicação contínua  $H : X \times [0, 1] \rightarrow Y$  tal que para todo  $x \in X$ , temos  $H(x, 0) = f(x)$  e  $H(x, 1) = g(x)$ , para todo  $x \in X$  e  $H(a, t) = f(a) = g(a)$ ,  $\forall a \in A$  e  $\forall t \in [0, 1]$ . A aplicação  $H$  é chamada uma homotopia entre  $f$  e  $g$ . Denota-se  $f \sim g$  para indicar que  $f$  é homotópica a  $g$ .*

**Observação A.3.1.** Quando na segunda condição tivermos  $A = \emptyset$ , dizemos que  $f$  e  $g$  são livremente homotópicas ou apenas homotópicas.

**Definição A.3.3.** Sejam  $X$  e  $Y$  espaços topológicos. Dizemos que  $X$  e  $Y$  são homotopicamente equivalentes, ou têm o mesmo tipo de homotopia, se existem aplicações contínuas  $f : X \rightarrow Y$  e  $g : Y \rightarrow X$  para as quais as compostas  $g \circ f$  e  $f \circ g$  são homotópicas às aplicações identidades sobre  $X$  e  $Y$ , respectivamente. A aplicação  $f$  é chamada uma equivalência de homotopia, e  $g$  é chamada a inversa homotópica para  $f$ . Escreve-se  $X \equiv Y$  ou  $X \sim Y$  para indicar que  $X$  e  $Y$  são homotopicamente equivalentes.

**Exemplo A.3.1.** Espaços homeomorfos são claramente homotopicamente equivalentes.

**Proposição A.3.2.** A relação “ $X$  é homotopicamente equivalente à  $Y$ ” é uma relação de equivalência para espaços topológicos.

**Demonstração:** A relação é reflexiva pois a aplicação identidade sobre qualquer espaço  $X$  é uma equivalência de homotopia. A propriedade simétrica está implícita na definição. Note que ambas,  $f$  e  $g$ , são equivalências de homotopias e que cada uma delas é uma inversa homotópica para a outra. Vejamos que a relação é transitiva: sejam  $f : X \rightarrow Y$  e  $h : Y \rightarrow Z$  equivalências de homotopia com inversas homotópicas  $g : Y \rightarrow X$  e  $k : Z \rightarrow Y$ , respectivamente. Queremos mostrar que  $X$  e  $Z$  têm o mesmo tipo de homotopia. A candidata para uma equivalência de homotopia entre  $X$  e  $Z$  é a aplicação composta  $h \circ f$ , tendo  $g \circ k$  como inversa homotópica. Seja  $L : Y \times I \rightarrow Y$  uma homotopia tal que  $L(\cdot, 0) = k \circ h$  e  $L(\cdot, 1) = id_Y$ . Então  $M : X \times I \rightarrow X$ , definida por  $M(x, t) = g(L(f(x), t))$ ,  $(x, t) \in X \times I$ , é uma homotopia tal que

$$\begin{aligned} M(\cdot, 0) &= g(L(f(\cdot), 0)) = g((k \circ h)(f)) = g \circ k \circ h \circ f = (g \circ k) \circ (h \circ f), \\ M(\cdot, 1) &= g(L(f(\cdot), 1)) = g(f) = g \circ f. \end{aligned}$$

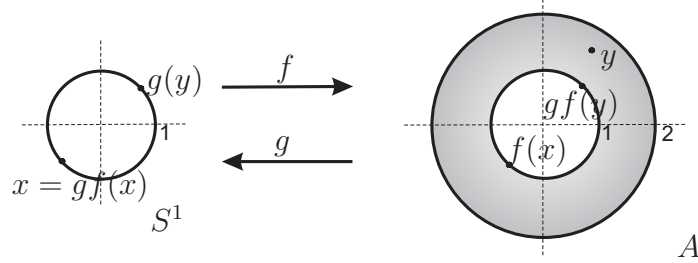
Assim  $((g \circ k) \circ (h \circ f))$  é homotópica à  $g \circ f$  e conseqüentemente à aplicação identidade sobre  $X$ , uma vez que  $g$  é uma inversa homotópica de  $f$ .

Um argumento completamente análogo mostra que  $((h \circ f) \circ (g \circ k))$  é homotópica à  $h \circ k$ , e portanto à identidade sobre  $Z$  e assim  $X$  e  $Z$  têm o mesmo tipo de homotopia. ■

**Exemplo A.3.2.** Um círculo e um anel têm o mesmo tipo de homotopia. Para ver isto, considere o círculo unitário  $S^1$  e o anel

$$A = \{y \in \mathbb{R}^2; 1 \leq |y| \leq 2\}$$

como na figura.



Uma equivalência de homotopia  $f : S^1 \rightarrow A$  e uma inversa homotópica  $g : A \rightarrow S^1$  são, respectivamente, definidas por

$$f(x) = x, x \in S^1; \quad g(y) = y/|y|, y \in A$$

Então  $g \circ f$  é a identidade sobre  $S^1$ ,

$$g \circ f : S^1 \rightarrow A \rightarrow S^1; \quad x \mapsto x \mapsto x/|x| = x, e,$$

$$f \circ g : A \rightarrow S^1 \rightarrow A; \quad y \mapsto y/|y| \mapsto y/|y|.$$

A homotopia entre  $f \circ g$  e a identidade em  $A$  é então dada por  $H(y, t) = ty + (1-t)y/|y|$ , pois  $H(y, 0) = y/|y| = (f \circ g)(y)$  e  $H(y, 1) = y = id_A(y)$ . Logo  $f \circ g \sim id_A$  via a aplicação  $H$  e portanto  $S^1$  tem o mesmo tipo de homotopia do anel  $A$ .

**Definição A.3.4.** Um espaço  $X$  é contráctil se existe um ponto  $x_0 \in X$  e uma homotopia  $H : X \times I \rightarrow X$  entre  $id_X$  e a aplicação constante  $x_0$ , isto é,  $H$  é tal que

$$H(x, 0) = x, \quad H(x, 1) = x_0, \quad x \in X.$$

A homotopia  $H$  é chamada contração do espaço  $X$ .

**Proposição A.3.3.** Um espaço  $X$  é contráctil se, e somente se, tem o mesmo tipo de homotopia de um ponto.

**Demonstração:** Suponha que  $X$  é contráctil, isto é, existe  $x_0 \in X$  e uma homotopia  $H : X \times I \rightarrow X$  entre  $id_X$  e a aplicação constante  $x_0$ :

$$H(x, 0) = x, \quad H(x, 1) = x_0, \quad x \in X.$$

Então  $X$  tem o mesmo tipo de homotopia que o espaço  $\{x_0\}$  pela equivalência de homotopia  $f : X \rightarrow \{x_0\}$  e inversa homotópica  $g : \{x_0\} \rightarrow X$  definidas por

$$f(x) = x_0, \quad g(x_0) = x_0, \quad x \in X.$$

Suponha agora que  $f' : X \longrightarrow \{a\}$  é uma equivalência de homotopia entre  $X$  e o espaço com um ponto  $\{a\}$  com inversa homotópica  $g' : \{a\} \longrightarrow X$ . Então existe uma homotopia  $K : X \times I \longrightarrow X$  entre  $g' \circ f'$  e a identidade em  $X$ ,  $K(x, 0) = x$ ,  $K(x, 1) = (g' \circ f')(x) = g'(a)$ ,  $x \in X$ .

A homotopia  $K$  é então uma contração, e  $X$  é contrátil. ■

**Definição A.3.5.** *Seja  $X$  um espaço e  $A$  em subespaço de  $X$ . Dizemos que  $A$  é um retrato por deformação de  $X$  (ou que  $X$  retrai por deformação sobre  $A$ ) se existe uma homotopia  $H : X \times I \longrightarrow X$  tal que*

$$\begin{aligned} H(x, 0) &= x, & H(x, 1) &\in A, & x &\in X \\ H(a, t) &= a, & a &\in A, t &\in I. \end{aligned}$$

A homotopia  $H$  é chamada deformação retrátil.

**Proposição A.3.4.** *Se  $X$  é um espaço e  $A$  é um retrato por deformação de  $X$ , então  $A$  e  $X$  têm o mesmo tipo de homotopia.*

**Demonstração:** Existe uma homotopia  $H : X \times I \longrightarrow X$  tal que

$$\begin{aligned} H(x, 0) &= x, & H(x, 1) &\in A, & x &\in X, \\ H(a, t) &= a, & a &\in A, & t &\in I. \end{aligned}$$

Seja  $f : A \longrightarrow X$  a aplicação inclusão  $f(a) = a$ , e defina  $g : X \longrightarrow A$  por  $g(x) = H(x, 1)$ ,  $x \in X$ . Então  $g \circ f$  é a identidade sobre  $A$ , e  $H$  é uma homotopia entre  $f \circ g$  e a identidade sobre  $X$ , assim  $f$  é uma equivalência de homotopia com  $g$  como inversa homotópica. ■

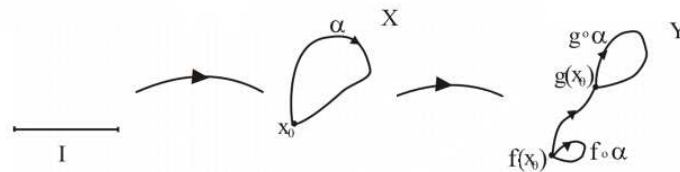
Considere agora  $X$  e  $Y$  espaços topológicos *conexos por caminhos* e sejam  $f, g : X \rightarrow Y$  aplicações contínuas tais que  $f$  é homotópica a  $g$ . Seja  $H : X \times I \rightarrow Y$  uma homotopia entre  $f$  e  $g$ . Então  $H(x, 0) = f(x)$  e  $H(x, 1) = g(x)$ ,  $\forall x \in X$  e, como vimos,  $f$  e  $g$  induzem homomorfismos  $f_{\#} : \pi_1(X, x_0) \rightarrow \pi_1(Y, f(x_0))$  e  $g_{\#} : \pi_1(X, x_0) \rightarrow \pi_1(Y, g(x_0))$ . Seja  $\gamma : I \rightarrow Y$  definido por  $\gamma(t) = H(x_0, t)$ . Temos que  $\gamma(0) = f(x_0)$  e  $\gamma(1) = g(x_0)$ . Assim,  $\gamma$  é um caminho em  $Y$  ligando  $f(x_0)$  a  $g(x_0)$ . Logo,  $\gamma$  induz um isomorfismo  $\gamma_{\#} : \pi_1(Y, f(x_0)) \rightarrow \pi_1(Y, g(x_0))$  tal que  $\gamma_{\#}([\beta]) = [\gamma^{-1} * \beta * \gamma]$ . Temos então o seguinte resultado:

**Lema A.3.1.** *Nas hipóteses acima temos que  $g_{\#} = \gamma_{\#} \circ f_{\#}$ . Isto é, o diagrama*

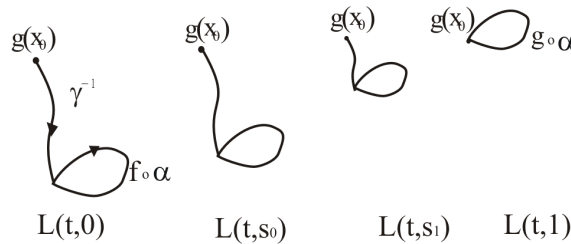
$$\begin{array}{ccc}
 \pi_1(X, x_0) & \xrightarrow{f\#} & \pi_1(Y, f(x_0)) \\
 & \searrow^{g\#} & \downarrow \gamma\# \\
 & & \pi_1(Y, g(x_0))
 \end{array}$$

é comutativo.

**Demonstração:** Seja  $[\alpha] \in \pi_1(X, x_0)$ . Queremos mostrar que  $g\#([\alpha]) = (\gamma\# \circ f\#)([\alpha])$ , isto é  $[(g \circ \alpha)] = [\gamma^{-1} * (f \circ \alpha) * \gamma]$ . Para isto temos que exibir uma homotopia  $K : I \times I \rightarrow Y$  entre  $(g \circ \alpha)$  e  $(\gamma^{-1} * (f \circ \alpha) * \gamma)$  relativamente a  $g(x_0)$ . Definimos  $K : I \times I \rightarrow Y$  por  $K(t, s) = H(\alpha(t), s)$ . Assim, temos que  $K$  satisfaz  $K(t, 0) = H(\alpha(t), 0) = (f \circ \alpha)(t)$ ,  $K(t, 1) = H(\alpha(t), 1) = (g \circ \alpha)(t)$ ,  $K(0, s) = H(\alpha(0), s) = H(x_0, s) = \gamma(s) = K(1, s)$ . Portanto,  $K(0, s) = K(1, s)$  mas não é igual a uma constante, para todo  $s$  pertencente a  $I$ .



“Deformando”  $K$  como indicado na figura seguinte poderemos exibir uma homotopia  $L$  entre  $g \circ \alpha$  e  $\gamma^{-1} * (f \circ \alpha) * \gamma$ , como desejado:



Temos que

$$(\gamma^{-1} * (f \circ \alpha) * \gamma)(t) = \begin{cases} \gamma^{-1}(2t), & \text{se } 0 \leq t \leq \frac{1}{2} \\ f \circ \alpha(4t - 2), & \text{se } \frac{1}{2} \leq t \leq \frac{3}{4} \\ \gamma(4t - 3), & \text{se } \frac{3}{4} \leq t \leq 1 \end{cases}$$

Seja  $s \in [0, 1]$ . Para  $t \in [0, \frac{(1-s)}{2}]$  a homotopia  $L$  parte de  $\gamma^{-1}(0) = \gamma(1) = g(x_0)$  e vai até  $\gamma^{-1}(1-s) = \gamma(s)$ . Para  $t \in [\frac{(1-s)}{2}, \frac{(s+3)}{4}]$  temos a

composição:

$$\begin{aligned} \left[\frac{(1-s)}{2}, \frac{(s+3)}{4}\right] &\longrightarrow [0, 1] \longrightarrow Y \\ t &\longrightarrow \frac{(4t+2s-2)}{(3s+1)} \longrightarrow K\left(\frac{(4t+2s-2)}{(3s+1)}, s\right) \end{aligned}$$

Para  $t \in \left[\frac{(s+3)}{4}, 1\right]$  a homotopia  $L$  parte de  $\gamma(s)$  e vai até  $g(x_0)$ .

Logo, a homotopia  $L$  é dada por

$$L(t, s) = \begin{cases} \gamma^{-1}(2t), & \text{se } 0 \leq t \leq \frac{1-s}{2} \\ K\left(\frac{4t+2s-2}{3s+1}, s\right), & \text{se } \frac{1-s}{2} \leq t \leq \frac{s+3}{4} \\ \gamma(4t-3), & \text{se } \frac{s+3}{4} \leq t \leq 1. \end{cases}$$

Note que, para  $0 \leq t \leq 1$ ,

$$L(t, 0) = \begin{cases} \gamma^{-1}(2t), & \text{se } 0 \leq t \leq \frac{1}{2} \\ K(4t-2, 0), & \text{se } \frac{1}{2} \leq t \leq \frac{3}{4} \\ \gamma(4t-3), & \text{se } \frac{3}{4} \leq t \leq 1 \end{cases} = (\gamma^{-1} * (f \circ \alpha) * \gamma)(t),$$

$$L(t, 1) = K(t, 1) = (g \circ \alpha)(t), \text{ e } L(0, s) = L(1, s) = g(x_0). \quad \blacksquare$$

**Teorema A.3.1.** *Sejam  $X$  e  $Y$  espaços topológicos conexos por caminhos. Se  $X$  e  $Y$  têm o mesmo tipo de homotopia, então  $\pi_1(X)$  é isomorfo a  $\pi_1(Y)$ , mais precisamente, se  $f : X \rightarrow Y$  é uma equivalência de homotopia, então  $f_{\#} : \pi_1(X, x_0) \rightarrow \pi_1(Y, f(x_0))$  é um isomorfismo.*

**Demonstração:** Considere  $f : X \rightarrow Y$  uma equivalência de homotopia. Então existe  $g : Y \rightarrow X$  (a inversa homotópica) tal que  $f \circ g \sim id_Y$  e  $g \circ f \sim id_X$ . Sejam  $y_0 \in Y$  e  $x_0 = g(y_0)$ . Vamos mostrar que  $f_{\#} : \pi_1(X, x_0) \rightarrow \pi_1(Y, f(x_0))$  é um isomorfismo. Temos  $g_{\#} : \pi_1(Y, f(x_0)) \rightarrow \pi_1(X, g(f(x_0)))$ . Além disso, pelo lema,  $(f \circ g)_{\#} = \gamma_{\#} \circ (id_Y)_{\#}$  e  $(g \circ f)_{\#} = \sigma_{\#} \circ (id_X)_{\#}$ , onde  $\gamma$  é um caminho ligando  $y_0$  a  $f(x_0)$  e  $\sigma$  é um caminho ligando  $x_0$  a  $g(f(x_0))$ .

Mas,  $(f \circ g)_{\#} = f_{\#} \circ g_{\#}$ ,  $(g \circ f)_{\#} = g_{\#} \circ f_{\#}$ ,  $(id_Y)_{\#} = id_{\pi_1(Y, y_0)}$  e,  $(id_X)_{\#} = id_{\pi_1(X, x_0)}$ .

$$\begin{array}{ccccc} & & (g \circ f)_{\#} & & \\ & & \curvearrowright & & \\ \pi_1(X, x_0) & \xrightarrow{f_{\#}} & \pi_1(Y, f(x_0)) & \xrightarrow{g_{\#}} & \pi_1(X, g(f(x_0))) \\ & \searrow (id_X)_{\#} & & \nearrow \sigma_{\#} & \\ & & \pi_1(X, x_0) & & \end{array}$$

$$\begin{array}{ccccc}
 & & (f \circ g)_\# & & \\
 & \swarrow & \curvearrowright & \searrow & \\
 \pi_1(Y, y_0) & \xrightarrow{g_\#} & \pi_1(X, x_0) & \xrightarrow{f_\#} & \pi_1(Y, f(x_0)) \\
 & \searrow & & \swarrow & \\
 & & \pi_1(Y, y_0) & & 
 \end{array}$$

$(id_Y)_\#$  (downward arrow from  $\pi_1(Y, y_0)$  to  $\pi_1(Y, y_0)$ )  
 $\gamma_\#$  (upward arrow from  $\pi_1(Y, y_0)$  to  $\pi_1(Y, f(x_0))$ )

Assim,

$$g_\# \circ f_\# = \sigma_\# \circ id_{\pi_1(X, x_0)} \quad (1)$$

$$f_\# \circ g_\# = \gamma_\# \circ id_{\pi_1(Y, y_0)} \quad (2)$$

De (1), concluímos que  $f_\#$  é injetora e de (2) obtemos que  $f_\#$  é sobrejetora. Logo,  $f_\#$  é um isomorfismo entre  $\pi_1(X, x_0)$  e  $\pi_1(Y, f(x_0))$ . Como  $X$  e  $Y$  são conexos por caminhos, o isomorfismo independe do ponto base. ■

Como uma primeira consequência obtemos a invariância topológica já mencionada.

**Corolário A.3.1.** *Se  $X$  e  $Y$  são espaços topológicos conexos por caminhos com  $X$  homeomorfo a  $Y$  então  $\pi_1(X) \simeq \pi_1(Y)$ .*

**Demonstração:** Segue do Exemplo A.3.1. ■

**Corolário A.3.2.** *Se  $A$  é um retrato por deformação de um espaço  $X$  e  $x_0$  é um ponto de  $A$  então a aplicação de  $\pi_1(X, x_0)$  em  $\pi_1(A, x_0)$  induzida da inclusão é um isomorfismo.*

**Demonstração:** Segue do teorema anterior e da Proposição A.3.4. ■

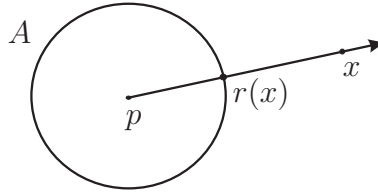
**Definição A.3.6.** *Um espaço  $X$  conexo por caminhos é simplesmente conexo quando  $\pi_1(X)$  é o grupo trivial.*

**Corolário A.3.3.** *Todo espaço contráctil é simplesmente conexo.*

**Demonstração:** Segue do fato que o espaço contráctil tem o mesmo tipo de homotopia de um ponto e do teorema anterior. ■

## A.4 Exemplos de Grupos Fundamentais e o Teorema de Van Kampen

**Exemplo A.4.1.** *Considere o plano  $\mathbb{R}^2 \setminus \{p\}$  consistindo de todos os pontos em  $\mathbb{R}^2$  exceto um ponto particular  $p$ . Seja  $A$  um círculo com centro  $p$ , como na figura:*



Para  $x \in \mathbb{R}^2 \setminus \{p\}$ , a linha que vai de  $p$  até  $x$  intersepta o círculo  $A$  no ponto  $r(x)$ . Esta aplicação  $r$  é claramente uma retração de  $\mathbb{R}^2 \setminus \{p\}$  em  $A$ . Defina uma homotopia  $H : (\mathbb{R}^2 \setminus \{p\}) \times I \longrightarrow \mathbb{R}^2 \setminus \{p\}$  por

$$H(x, t) = t \cdot r(x) + (1 - t) \cdot x, \quad x \in \mathbb{R}^2 \setminus \{p\}, \quad t \in I.$$

É fácil ver que  $H$  é uma deformação retrátil e então  $A$  é um retrato por deformação de  $\mathbb{R}^2 \setminus \{p\}$ . Assim,  $\pi_1(\mathbb{R}^2 \setminus \{p\}) \simeq \pi_1(A) \simeq \mathbb{Z}$ .

**Exemplo A.4.2.** Considere um anel  $X$  no plano. Tanto o círculo interior como o círculo exterior de  $X$  são retratos por deformação de  $S^1$ , então  $\pi_1(X)$  é o grupo dos inteiros.

**Exemplo A.4.3.** Cada um dos seguintes espaços são contráteis, então cada um deles tem grupo fundamental trivial: um ponto; um intervalo na reta; a reta; o  $n$ -espaço Euclidiano  $\mathbb{R}^n$ ; todo conjunto convexo em  $\mathbb{R}^n$ .

Outros exemplos de grupo fundamental podem ser obtidos a partir do resultado seguinte.

**Proposição A.4.1.** Sejam  $X$  e  $Y$  espaços com  $x_0$  em  $X$  e  $y_0$  em  $Y$ . Então

$$\pi_1(X \times Y, (x_0, y_0)) \simeq \pi_1(X, x_0) \oplus \pi_1(Y, y_0).$$

**Demonstração:** É similar à apresentada para grupos de homotopia de ordem superior (ver Proposição 1.2.1).

**Exemplo A.4.4.** O toro  $T^2$  é homeomorfo ao produto  $S^1 \times S^1$ . Então  $\pi_1(T^2) \simeq \pi_1(S^1 \times S^1) \simeq \pi_1(S^1) \oplus \pi_1(S^1) \simeq \mathbb{Z} \oplus \mathbb{Z}$ .

**Exemplo A.4.5.** Um toro  $n$ -dimensional  $T^n$  é o espaço obtido como o produto cartesiano de  $n$  círculos unitários. Então  $\pi_1(T^n)$  é isomorfo à soma direta de  $n$  cópias do grupo dos inteiros,  $\pi_1(T^n) \simeq \underbrace{\mathbb{Z} \oplus \cdots \oplus \mathbb{Z}}_{n \text{ vezes}}$ .



**Exemplo A.4.6.** Um cilindro fechado  $C$  é o produto de um círculo  $S^1$  e um intervalo fechado  $[a, b]$ . Então  $\pi_1(C) \simeq \pi_1(S^1) \oplus \pi_1([a, b]) \simeq \mathbb{Z} \oplus \{0\} \simeq \mathbb{Z}$ .

Um resultado muito útil para calcular o grupo fundamental de certos espaços é o Teorema de Van Kampen ([7], IV. Teoremas 2.1 e 2.2, ou [5] Teorema 1.20). Apresentamos aqui a versão segundo Hatcher [5]. A versão dada em [7] envolve propriedades do diagrama universal. Ressaltamos no entanto que pode-se verificar que as duas versões são equivalentes considerando a definição de produto livre via diagramas.

**Teorema A.4.1. (Teorema de Van Kampen)** *Seja  $X$  a união de espaços abertos conexos por caminhos  $A_\alpha$ , cada um contendo o ponto base  $x_0 \in X$ ,  $j_\alpha : \pi_1(A_\alpha) \rightarrow \pi_1(X)$ , os homomorfismos induzidos das inclusões  $A_\alpha$  em  $X$ , e  $\Phi : *_{\alpha} \pi_1(A_\alpha) \rightarrow \pi_1(X)$  o homomorfismo estendido no produto livre. Se cada intersecção  $A_\alpha \cap A_\beta$  é conexa por caminhos, então o homomorfismo  $\Phi : *_{\alpha} \pi_1(A_\alpha) \rightarrow \pi_1(X)$  é sobrejetor. Ainda, se cada intersecção  $A_\alpha \cap A_\beta \cap A_\gamma$  é conexa por caminhos, então o kernel de  $\Phi$  é o subgrupo normal  $N$  gerado pelos elementos da forma  $i_{\alpha\beta}(\omega)i_{\beta\alpha}(\omega)^{-1}$  (onde  $i_{\alpha\beta} : \pi_1(A_\alpha \cap A_\beta) \rightarrow \pi_1(A_\alpha)$  é o homomorfismo induzido da inclusão) e assim  $\Phi$  induz um isomorfismo  $\pi_1(X) \simeq *_{\alpha} \pi_1(A_\alpha)/N$ .*

**Demonstração:** ([5], Teorema 1.20, p. 43). ■

Considerando o caso particular em que  $X$  é a união de abertos  $A_1$  e  $A_2$  e que  $A_1$ ,  $A_2$  e  $A_1 \cap A_2$  são conexos por caminhos, então do teorema anterior obtém-se as seguintes conseqüências:

**Corolário A.4.1.** *Se  $A_1 \cap A_2$  é simplesmente conexo, então  $\pi_1(X)$  é o produto livre dos grupos  $\pi_1(A_1)$  e  $\pi_1(A_2)$  com respeito aos homomorfismos induzidos das inclusões  $j_1 : \pi_1(A_1) \rightarrow \pi_1(X)$  e  $j_2 : \pi_1(A_2) \rightarrow \pi_1(X)$ .*

**Demonstração:** ([7], Teorema 3.1, p. 122). ■

**Corolário A.4.2.** *Assuma que  $A_2$  é simplesmente conexo. Então  $j_1 : \pi_1(A_1) \rightarrow \pi_1(X)$  é um epimorfismo, e seu kernel é o menor subgrupo normal de  $\pi_1(A_1)$  contendo a imagem  $k_1(\pi_1(A_1 \cap A_2))$ , onde  $k_1$  é o homomorfismo induzido da inclusão  $k_1 : \pi_1(A_1 \cap A_2) \rightarrow \pi_1(A_1)$ . Assim,  $\pi_1(X) \simeq \pi_1(A_1)/N$ , onde  $N$  é o subgrupo normal de  $\pi_1(A_1)$  gerado por  $k_1 : \pi_1(A_1 \cap A_2) \rightarrow \pi_1(A_1)$ .*

**Demonstração:** ([7], Teorema 4.1, p. 127). ■

**Exemplo A.4.7.** Seja  $X$  a reunião de dois círculos tangentes num ponto  $x_0$  ( $X = S_1^1 \vee S_2^1$ ). Então  $\pi_1(X) \simeq \mathbb{Z} * \mathbb{Z}$ . Com efeito, sejam  $\alpha_i = [c_i]$  onde  $c_i : I \rightarrow X$  é o caminho com ponto base  $x_0$  e que dá uma única volta em torno de  $S_i^1$ , para  $i = 1, 2$ . Tome dois pontos  $a$  e  $b$ , distintos, de  $X$  com  $a \in S_1^1$  e  $b \in S_2^1$ . Considere  $U = X - \{a\}$  e  $V = X - \{b\}$ . Então  $U$  e  $V$  são abertos,  $U \cap V$  é conexo por caminhos e é simplesmente conexo pois é contráctil. Pelo corolário A.4.1 temos que  $\pi_1(X) \simeq \pi_1(U) * \pi_1(V)$ . Mas  $U$  e  $V$  têm o mesmo tipo de homotopia de  $S^1$ , logo  $\pi_1(U) \simeq \mathbb{Z}$  e  $\pi_1(V) \simeq \mathbb{Z}$ . Portanto  $\pi_1(X) \simeq \mathbb{Z} * \mathbb{Z} \simeq \langle \alpha_1 \rangle * \langle \alpha_2 \rangle$ .

**Exemplo A.4.8.** Se  $X$  é a reunião de  $n$  círculos tangentes num ponto  $x_0$  ( $X = \bigvee_{i=1}^n S_i^1$ ). Então  $\pi_1(X) \simeq \underbrace{\mathbb{Z} * \cdots * \mathbb{Z}}_{n \text{ vezes}}$ . Para ver isso considere agora  $\alpha_i = [c_i]$  onde  $c_i : I \rightarrow X$  é o caminho com ponto base  $x_0$  e que dá uma única volta em torno de  $S_i^1$ , para  $i = 1, \dots, n$ . Mostremos por indução sobre  $n$ . Tome pontos  $a_i \in S_i^1$  (distintos de  $x_0$ )  $i = 1, \dots, n$ . Considere  $U = X - \{a_n\}$  e  $V = X - \{a_1, \dots, a_{n-1}\}$ , então  $U$  e  $V$  são abertos,  $U \cap V$  é conexo por caminhos e é simplesmente conexo pois é contráctil. Pelo corolário A.4.1 temos que  $\pi_1(X) \simeq \pi_1(U) * \pi_1(V)$ . Mas  $U$  têm o mesmo tipo de homotopia de  $\bigvee_{i=1}^{n-1} S_i^1$  e  $V$  têm o mesmo tipo de homotopia de  $S^1$ , logo  $\pi_1(U) \simeq \underbrace{\mathbb{Z} * \cdots * \mathbb{Z}}_{n-1 \text{ vezes}}$  (por hipótese de indução) e  $\pi_1(V) \simeq \mathbb{Z}$ . Portanto  $\pi_1(X) \simeq \underbrace{\mathbb{Z} * \cdots * \mathbb{Z}}_{n \text{ vezes}}$ .

Mais geralmente, temos:

**Exemplo A.4.9.** O grupo fundamental do bouquet de círculos  $\pi_1(\bigvee_{\alpha \in \mathbf{A}} S_\alpha^1)$ , indexados em um conjunto  $\mathbf{A}$ , é isomorfo a  $F$  onde  $F$  é o grupo livre gerado por  $\mathbf{A}$ . De fato, considere para cada  $\alpha$ , um ponto  $x_\alpha$  em  $S_\alpha^1$ , diferente de  $x_0$  e a vizinhança aberta  $U_\alpha := S_\alpha^1 - \{x_\alpha\}$  de  $x_0$  em  $S_\alpha^1$ . Então  $x_0$  é um retrato por deformação de  $U_\alpha$  em  $S_\alpha^1$ , e  $S_\alpha^1$  é um retrato por deformação de  $A_\alpha := S_\alpha^1 \bigvee_{\beta \neq \alpha} U_\beta$ . A intersecção de dois ou mais  $A'_\alpha$ s distintos é  $\bigvee_{\alpha} U_\alpha$  que é conexa por caminhos e tem como retrato por deformação o ponto  $x_0$ . O Teorema de Van Kampen implica que  $\pi_1(X) \simeq *_\alpha \pi_1(S_\alpha^1) / N$  onde  $N$  é o subgrupo normal gerado por  $i_{\alpha\beta}(\omega) i_{\beta\alpha}(\omega)^{-1}$ . Porém  $N = \{0\}$  visto que  $A_\alpha \cap A_\beta$  é contráctil para quaisquer  $\alpha, \beta \in \mathbf{A}$  e  $\pi_1(S_\alpha^1) \simeq \mathbb{Z}$ . Logo  $\pi_1(X) \simeq *_\alpha \mathbb{Z}_\alpha \simeq F$ , como afirmado.

# Referências Bibliográficas

- [1] Brown, K. S. *Cohomology of Groups*. G. T. M. 87, New York, Springer Verlag, 1982.
- [2] Castro, F., *Cohomologia de Grupos e Algumas Aplicações*, Dissertação de Mestrado, 2006.
- [3] Croom, F. H., *Basics Concepts of Algebraic Topology*, New York: Springer-Verlag, 1978.
- [4] Garcia, A., Lequain, Y. *Álgebra: um curso de introdução*, IMPA/CNPQ (Projeto Euclides), 1988.
- [5] Hatcher, A., *Algebraic Topology*, Cambridge: Cambridge University Press, 2001.
- [6] Hilton, P.J., Wylie, S., *An Introduction to Algebraic Topology* , Cambridge: Cambridge University Press, 1960.
- [7] Massey, W.S., *Algebraic Topology: An Introduction*, Springer-Verlag, New York, 1977.
- [8] Munkres, J.R., *Elements of Algebraic Topology*, New York: Addison-Wesley Publishing Company, 1984.
- [9] Robinson, D. J. S. ; *A course in the Theory of Groups*, Springer-Verlag, New York, 1982.
- [10] Schubert, H., *Topology*, McDonald Technical & Scientific, 1968.
- [11] Spanier, E. H., *Algebraic Topology*, McGraw-Hill , 1967.
- [12] Whitehead, G.W., *Elements of Homotopy Theory*, New York: Springer-Verlag, 1978.

- [13] Whitehead, G.W., *Homotopy Theory*, The Massachusetts Institute of Technology Press, 1966.
- [14] S. Eilenberg and S. MacLane (1947), Cohomology theory in abstracts groups. II Groups extensions with a non-abelian kernel, *Annals of Mathematics* (2) 48 (1947), p. 326-341.
- [15] S. Eilenberg and S. MacLane (1945), Relations between homology and homotopy groups and spaces, *Annals of Mathematics* (2) 46 (1945), p. 480-509.
- [16] J. H. C. Whitehead (1948), On the realizability of homotopy groups, *Annals of Mathematics* (2) 50 (1949), p. 261-263.